

ISSN 0389-4010  
UDC 681.31

# 航空宇宙技術研究所報告

TECHNICAL REPORT OF NATIONAL AEROSPACE LABORATORY

TR-986

航空宇宙技術研究所汎用プログラムの高速化

中村絹代・吉田正廣・福田正大

1988年7月

航空宇宙技術研究所  
NATIONAL AEROSPACE LABORATORY

# 航空宇宙技術研究所汎用プログラムの高速化\*

中村絹代\*\* 吉田正廣\*\* 福田正大\*\*

## High Speed Implementation of NAL Application Software Packages

Kinuyo NAKAMURA, Masahiro YOSHIDA  
and Masahiro FUKUDA

### ABSTRACT

The Numerical Simulator system (NS system), installed in the National Aerospace Laboratory (NAL) in February 1987, is composed of FACOM VP400, VP200, and M780 computers. The first two are vector-processor-type supercomputers and the last is a scalar computer.

To extract full performance from supercomputers, it is necessary to give consideration to solution algorithms, programs and data structure, program coding, etc. to match individual supercomputers.

NAL has various application software programmed for a scalar computer. They are not necessarily matched for the VP400 and VP200, therefore we tuned them up to facilitate high speed processing on those supercomputers.

This paper reports the relative performance of the VP400, VP200 and M780, by comparing computing time of the original and the tuned programs on each computer. Also, methods of effective FORTRAN programming to increase vectorization rate and high speed computation with FORTRAN programs on the machines are described.

### 1. まえがき

昭和62年2月に航空宇宙技術研究所（以下、航技研という）でFACOM M780, VP200およびVP400より成る数値シミュレータシステムが稼動開始となった。M780は汎用計算機、VP200およびVP400はベクトル計算機と呼ばれるスーパーコンピュータである。

航技研に我が国で初めてのベクトル計算機FACOM 230-75APシステムが導入された昭和53年に比較して、現在では多くのスーパーコンピュ

ータが開発され、普及している。

汎用計算機と違って科学技術計算専用機であるスーパーコンピュータは、それを活かした利用法を行わなければ大きな効果を挙げることが出来ないが、『汎用』スーパーコンピュータとして普及した理由の一つとして利用の容易さが格段に改善されたことが挙げられる。

例えば、コンパイラによる自動ベクトル化機能がある。これはFORTRAN言語で書かれたプログラムの高速処理可能な部分をコンパイラが自動的に抽出し、高速処理実行命令を用いたオブジェクトを作成する機能である。この機能によりFORTRAN言語で書かれたプログラムをそのま

\* 昭和63年4月7日受付

\*\* 数理解析部

まスーパーコンピュータで実行することが出来る。

一世代前のスーパーコンピュータと比較すると、230-75APではAP-FORTRANという擬似FORTRAN言語でプログラムを書いたため、若干の利用上の不便さがあり、またFORTRANプログラムの互換性を保つことが出来なかった。一方230-75APと同時期のSTAR-100やCyber 203/205等の計算機では自動ベクトル化機能を持っていたが、現在のものと比較して機能・性能ともに不十分であった（注1）。

しかし、どのように利用してもスーパーコンピュータを用いれば汎用計算機の何十倍もの処理速度が得られると考えるのは早計である。プログラム／データ構造、コーディング方法、さらには計算スキーム／アルゴリズム等によりこの自動ベクトル化機能が十分に活用されない場合も多々あり、汎用計算機の処理速度と同程度にしかならないこともある。この場合には、スーパーコンピュータの性能を引き出すようにプログラム変更、計算スキーム／アルゴリズムの変更を行うことが必要になる。このうち主として前者の変更をプログラムチューニングという。

プログラムチューニングを行うことによって何十倍にも高速化されたプログラムの実行は大変効率が良いので、様々な条件下で数値シミュレーションを実行する時に得られる計算時間の短縮は測り知れないものとなる。高速化の必要性はこの点にあり、数値シミュレーションそのものおよびそれを利用した研究・開発の生産性向上に役立つ。

本報告は航技研数理解析部に登録されている汎用プログラム12本のプログラムチューニングを行い、これら汎用プログラムの各種計算機での実行時間の比較及び検討、高速化手法について述べたものである。

以下2章では汎用計算機とベクトル計算機の相違点について簡単に説明し、3章ではチューニングプログラムの各種計算機での実行時間についての比較及び検討、4章では高速化手法について述

べる。

## 2. 数値シミュレータシステムの概要

航技研数理解析部に設置されている数値シミュレータシステムは、FACOM M780をフロントエンド計算機とし、スーパーコンピュータであるFACOM VP200およびVP400を計算エンジンとするものである。そのハードウェア構成を図2.1に示す。また表2.1にM780、VP200/400およびM380（注2）の性能を示す。

VP200/400はそれが採用している高速演算処理方式からベクトル計算機といわれることもある。またこれに対応して汎用計算機はスカラ計算機といわれる（ベクトル、スカラの意味について次に述べる）。VP200/400はベクトル計算機であるが、これをスカラ計算機として使用する場合にはM380と同等である。表2.1において倍率1および倍率2は、性能2を基に算出したものである。

### 2.1 ベクトル計算機の概要

計算機がデータに施す演算の仕方として、ⅰ) 単一データ単一演算、ⅱ) 多数データ単一演算、ⅲ) 多数データ異種演算が考えられる。このうちの処理を行うのがスカラユニット、スカラプロセッサ、スカラ計算機である。ⅱ) の処理を行うのがベクトルユニットであり、これを有している計算機がベクトル計算機あるいはベクトルプロセッサである<sup>1)</sup>。当然のことではあるがベクトル計算機といえどもスカラ処理をする必要があるのでスカラユニットは備えている。VP200/400をスカラ計算機として使用するということは、それが持っているベクトルユニットを全く使用せず、スカラユニットのみを使用するということである。

多数のデータに单一の演算を施す方式も種々考えられるが、VP200/400が採用しているのはパイプライン方式である。この方式でベクトル処理命令を実行する場合、パイプライン1段当たり処理時間（1ピッチ）はマシンサイクルに相当し、パイプラインの中がn重化されればこのマシン

注1) たとえば、IF文やリストベクトルはFORTRANの自動ベクトル化の対象ではなかった。

注2) M380の性能は参考として示す。

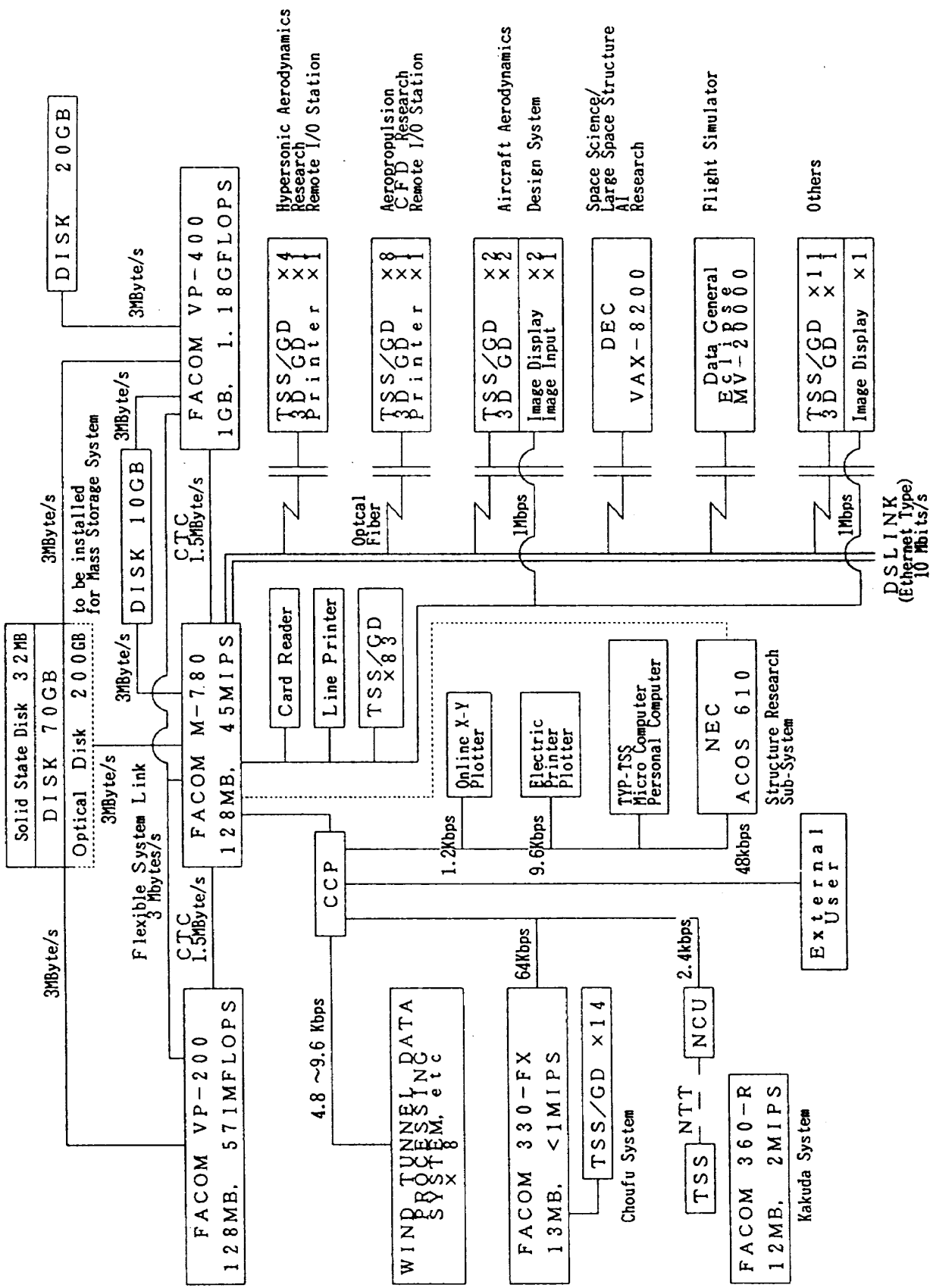


図 2.1 航技研数値シミュレータシステム

表 2.1 計算機性能比較

システム	性能 1	性能 2	倍率 1	倍率 2
M380	20 MIPS	8 MFLOPS	1	—
M780	45 MIPS	18 MFLOPS	2.25	1
VP200	—	571 MFLOPS	71.4	31.7
VP400	—	1185 MFLOPS	148.1	65.8

MIPS = million instructions per second

MFLOPS = mega floating operations per second

サイクル毎に n 個の演算結果が得られる<sup>2)</sup>。また最近のパイプライン方式のスーパーコンピュータは異なる演算パイプラインが同時に動作するようになっており、これは部分的に前述の iii) の処理方式を実現していると見ることも可能である。このような観点からパイプライン方式のスーパーコンピュータを分類すれば、

- (1) 多重パイプライン単一プロセッサ方式—パイプラインを多重化する。

例, FACOM VP<sup>2)</sup>

- (2) 多重プロセッサ方式—パイプラインプロセッサを共通主記憶上で多重化する。

例, CRAY XMP<sup>3)</sup>

- (3) 多重パイプライン多重プロセッサ方式—(1)および(2)の方式を併用する。

例, ETA ETA 10<sup>4)</sup>

となる。

以下に FACOM VP の概要を示す。図 2.2 は VP のハードウェア構成を、表 2.2 は性能諸元を示す。VP の本体系装置はベクトル処理装置、主記憶装置、チャネル装置およびサービスプロセッサから成る。ベクトル処理装置はベクトルユニットおよびスカラユニットより成る。前者には、

- (1) 加算 / 論理演算パイプライン (1 本)
- (2) 乗算パイプライン (1 本)
- (3) 除算パイプライン (1 本)
- (4) マスクパイプライン (1 本)

(5) ロード / ストアパイプライン (2 本) の 5 種類 6 本のパイプラインが備えられている。これらパイプラインのうち、(1)～(3)の 3 本中の 2 本、(4)の 1 本、(5)の 2 本の合計 5 本のパイプラインが並列動作可能である。このうち表 2.1 のピーク演算処理速度に関係するのは(1)～(3)のパイプラインだけである。

以上のことから VP 200 のピーク演算処理速度を求めるとき、ベクトルユニットのマシンサイクル 7 ns、1 つのパイプラインの中は 2 重化、並列動作可能な演算パイプラインが 2 本なので、

$$1/(7 \times 10^{-9} \text{ s}/2 \text{ FLOP}) \times 2 = 571 \text{ MFLOPS}$$

となる。

一方 VP 400 は各々のパイプラインの中が 4 重化されており、パイプライン 1 本の処理能力は VP 200 の 2 倍になっている。また並列動作可能な演算パイプラインも 2 本のままであるが、航技研に設置されている VP 400 のベクトルユニットのマシンサイクルは 6.75 ns に強化されている。この結果、航技研 VP 400 のピーク演算処理速度は、

$$1/(6.75 \times 10^{-9} \text{ s}/4 \text{ FLOP}) \times 2 = 1185 \text{ MFLOPS}$$

となる。ここで注意すべきは VP 400 は VP 200 の 2 倍の性能のロード / ストアパイプラインを 1 本しか持っていないことである。従って、ピークロード / ストア性能のデータ供給能力は VP 400 は VP 200 と同等である。計算機で扱われるベクトルデータ

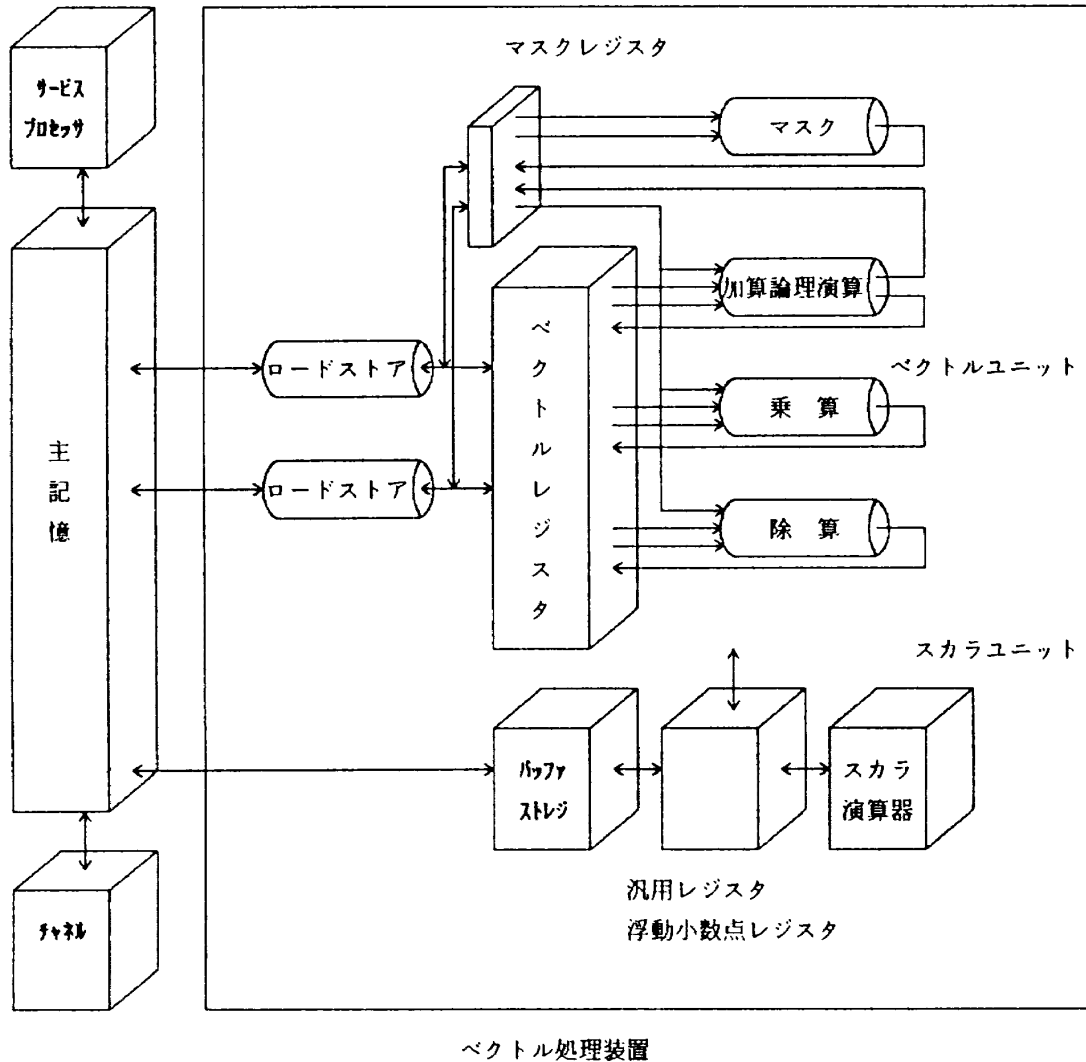


図 2.2 FACOM VP システムのハードウェア構成図

は連続ベクトルデータ、ストライド付きベクトルデータおよびリストベクトルデータの三つに分類できる<sup>5)</sup>。これらのうち、連続ベクトルデータの供給が最高速で処理される。ストライド付きベクトルデータの場合、距離間隔 2 (1 個飛びデータ) のデータの供給能力は連続ベクトルデータの供給能力の 1/2 であり、距離間隔 4 のデータの場合は 1/4 であり、距離間隔 8 のデータの場合は 1/8 となる (倍精度データ、メモリ・バンクの競合は考えないとする)。これは VP400 も VP200 も同じである。リストベクトルデータの場合、VP400 のデータ供給能力は VP200 より劣る。

表 2.2 の演算パイプラインの項から明らかのように VP200 のロード / ストアパイプラインは他の演算パイプラインの 2 倍の量である。VP400 の

ロード / ストアパイプラインの量は他の演算パイプラインと同量である。このため VP400 は VP200 に比して相対的に演算処理能力に対するデータ供給能力が劣る。従って、VP400 を有効に使うためには、ベクトル処理される DO ループ内の演算量をロード / ストア (主記憶装置とベクトルレジスタ間のデータ転送) に比べて多くする、即ち、不必要的ロード / ストアは避けることが重要である。例えば、

DO 10 I=1, N

A(I)=B(I)\*C(I)

D(I)=A(I)+E(I)

10 CONTINUE

のプログラムにおいて、配列 A(I) は後で使用されないデータであれば、

表 2.2 ハードウェアの主要諸元

項目	機種	VP-200		VP-400	
		VP-200	VP-400	VP-200	VP-400
ベクトル処理装置	命令数	83ベクトル命令 195 スカラ命令			
	汎用レジスタ	16 (32ビット)			
	浮動小数点レジスタ	8 (64ビット)			
	制御レジスタ	16 (32ビット)			
	ベクトルレジスタ	64Kバイト		128Kバイト	
	マスクレジスタ	1Kバイト		2Kバイト	
	ベクトル命令 論理 固定小数点 浮動小数点	1, 32,	64ビット 32ビット 64ビット		
	データ形式 スカラ命令 論理 固定小数点 浮動小数点 10進	8, 16, 32, 64,	32, 32ビット 128ビット 8ビット		
	ベクトル浮動小数点	64ビット			
	演算パイプライン 加算/論理 乗算 除算 マスク ロード/ストア	2×1 2×1 2×1 2×1 2×2		4×1 4×1 4×1 4×1 4×1	
主記憶装置	並列動作可能 パイプライン数	5		4	
	容量	64, 128, 256Mバイト			
チャネル処理装置	インターフェース数	128, 256, 256			
	CHP接続台数	1			
	チャネル接続台数	最大32			

DO 10 I=1, N

A=B(I) \* C(I)

D(I)=A+E(I)

### 10 CONTINUE

のように配列 A(I)を WORK 变数 A として用いる方がよい。

この他にベクトル処理時間に影響を及ぼすものとしてベクトル演算の要素数(ベクトル長)がある。これは、1マシンサイクル毎に n 個の結果が得られるようになるまでには前処理時間(立ち上がり), 後処理時間が必要となり, これはベクトル長に依存しない。従ってベクトル長が長ければ 1要素当たりのこれらの時間が短くなることによる。しかし現今のスーパーコンピュータでは演算チェイニングと称される処理を行っているので必ずしも単純な議論ですまないこともある。

図 2.3 は次の DO ループで書かれたプログラム

DO 10 I=1, N

:

:

D(I)=A(I) \* B(I)+K \* C(I)

:

:

### 10 CONTINUE

が VP200およびVP400のベクトルユニットで処理される様子を視覚的に示したものである。ある時刻 t の断面でロードパイプライン, 乗算パイプライン, 加算パイプラインが並列に動作していることがわかる。また, VP200とVP400ではロード/ストアパイプラインの数が違うので配列のロード方法が異っている。

## 2.2 相対処理速度

ベクトルプロセッサとスカラプロセッサでの実行時間の比である相対処理速度 P (アムダールの式)は次の式で表される<sup>6)</sup>。

$$P = 1 / [(1 - V) + V / \alpha]$$

V ; ベクトル化率

プログラム全体の汎用計算機における計算時間のうちベクトル命令で実行可能な計算時間の割合

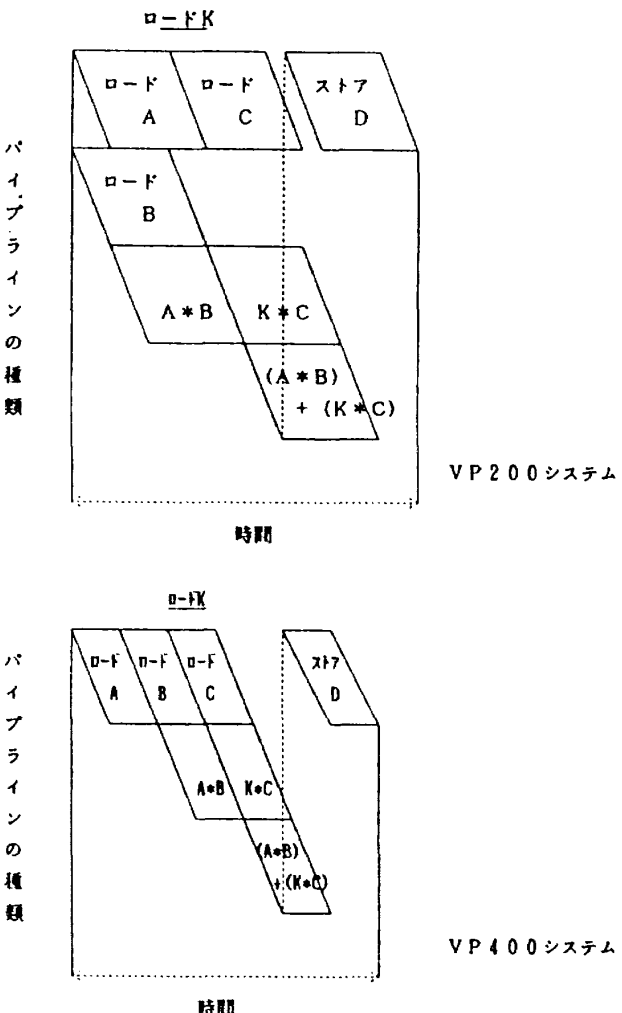


図 2.3 ベクトル命令の実行

$\alpha$  ; ベクトル / スカラ速度比

ベクトル命令の導入可能な部分における、汎用計算機の計算速度に対するベクトル命令を利用した場合の相対速度のプログラム内平均値

Pを大きくするには、Vおよび $\alpha$ を大きくすればよい。

Vを大きくするということは、ベクトルユニットで処理される部分を多くするということであり、ベクトル命令とスカラ命令で処理される速度が格段に違うことから当然である。これはまたプログラム全体を高速処理しているかどうかの量的判断基準といえる。図 2.4 に相対処理速度 P とベクトル化率 V の関係を示す。ここで注意すべきは、 $\alpha$ を無限大即ち無限大的処理速度をもつベクトル計算機を仮定しても、ベクトル化率が 50% であれば 2倍の、90% であっても 10倍の処理速度向上が得

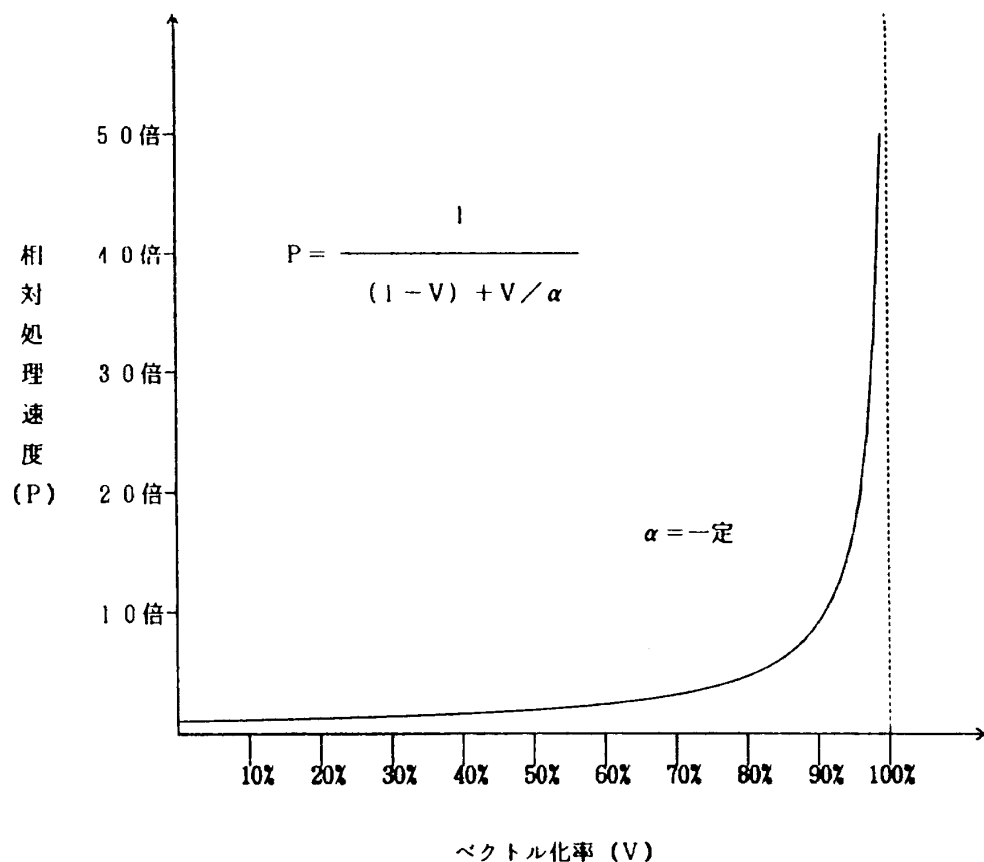


図 2.4 相対処理速度とベクトル化率

られるに過ぎないことがある。従ってベクトル化率を可能な限り大きくすることが重要であり、99%以上を目指すべきである。

一方 $\alpha$ を大きくすることは、ベクトル化された部分のベクトル処理速度を大きくするということであり、これはまたベクトル化の質を測るものといえる。例えば100%のベクトル化率が達成されたとしても、 $\alpha$ が1であれば即ちベクトル/スカラ速度比が1であれば処理速度の向上は得られない。また極端な例としてベクトル計算のためのオーバーヘッドが大きいことのみがきいてくる条件の場合では100%のベクトル化率であってもベクトル計算機での実行時間の方が遅くなることもある。たとえば、DOループが完全にベクトル化されたとしてもベクトル長が5とか6など大変小さい値であれば、そのDOループをベクトル化するための準備に実行時間が費やされるので、ベクトル化のためのオーバーヘッドがかかることになる。 $\alpha$ を大きくするためには、並列動作可能なパイプラインの数を増やすこと、ベクトル長を

長くすること、ロード/ストアを出来るだけ減少させ効率の良いロード/ストアを行うこと等である。これらの実際的な面については4章で述べる。

### 3. 汎用プログラムの高速化

#### 3.1 高速化対象汎用プログラムの概要

表3.1に高速化対象とした汎用プログラムの内容、次元、方程式、手法および計算法を示す。A～Fは2次元流を対象としたプログラム、G～Lは3次元流を対象としたプログラムである。

表3.1に示したプログラムを表3.2に示す条件で高速化し、実行時間の計測を行った。これら計算条件の中には、実際の計算条件のものもあれば、長時間かかるプログラムについては回数制限で短時間化したものもある。実行時間については次節で比較および検討を行う。

尚、汎用プログラムのチューニング作業は、短いもので1ヶ月、長いもので3～4ヶ月の期間を要した。

表 3.1 高速化汎用コードの概要

コード	目的	次元、方程式名	手法	計算法
A	二次元遷音速流解析	二次元、フルボテンシャル	差分法	SLOR
B	二次元遷音速流解析	二次元、フルボテンシャル	差分法	SLOR
C	二次元遷音速翼設計	二次元、フルボテンシャル	差分法	SLOR
D	二次元遷音速微小擾乱解析	二次元、TSD	差分法	SLOR
E	遷音速翼型解析のための格子形成	二次元、ポアソン	差分法	SLOR
F	二次元遷音速翼型解析	二次元、ナビエストークス	差分法	IAF
G	三次元遷音速翼解析	三次元、フルボテンシャル	差分法	SLOR
H	翼胴結合体適格子形成	三次元	等角写像	
I	翼胴結合体まわり完全ボテンシャル流の数値解析	三次元、フルボテンシャル	差分法	SLOR
J	全機形態のまわりの流れ解析(対称)	三次元、ラプラス	境界要素法	直接法
K	全機形態のまわりの流れ解析(非対称)	三次元、ラプラス	境界要素法	直接法
L	ピッキング振動する三次元翼まわりのNS解析	三次元、ナビエストークス	差分法	ADI

TSD : Transonic Small Disturbance 法

SLOR: Successive Line Over Relaxation 法

IAF : Implicit Approximate Factorization 法

ADI : Alternating Direction Implicit 法

### 3.2 汎用プログラムの各計算機での実行時間の比較

表 3.3(a)および表 3.3(b)は高速化対象となった汎用プログラムのオリジナルコードとチューニングコード(プログラムチューニングした汎用プログラム)を M 780, VP 200, VP 400で実行した場合の実行時間(GO ジョブステップの実行時間)の一覧表である。

表 3.3(c)および表 3.3(d)は、表 3.3(a)および表 3.3(b)のオリジナルコードの M 780での実行時間を 1とした場合の各計算機でのオリジナルコードおよびチューニングコードの比率の一覧表である。

表 3.3(c)および表 3.3(d)において 1より小さい値は M 780でのオリジナルコードの実行時間より多くの実行時間を必要としたことを意味し、また 1

より大きい値は M 780でのオリジナルコードの実行時間より少ない実行時間で済むことを意味している。

オリジナルコードで比較すると E, G および L を除く 9本のプログラムで、汎用計算機 M 780の方が実行時間が短くて済んでいる。ベクトル計算機での実行時間の方が短くなっている E, G および L にあってもその処理速度向上は、大きい場合でも 4倍弱である。この値は表 2.1 のピーク演算処理速度の倍率、65倍に比べて貧弱であり、ベクトル計算機の性能を活用しているとは言い難い。即ちプログラムチューニングが必要であると言える。

チューニングコードの VP とオリジナルコードの M 780での実行時間の比は、0.56~19.32 と幅

表 3.2 高速化汎用コード実行条件

コード	格子	反復回数	備考
A	COARSE $80 \times 15$	ポアソンソルバ SLOR      1 } 3 } 20回	
	FINE $160 \times 30$	ポアソンソルバ SLOR      1 } 3 } 10回	
B	COARSE $80 \times 15$	ポアソンソルバ SLOR      1 } 3 } 20回	
	FINE $160 \times 30$	ポアソンソルバ SLOR      1 } 3 } 10回	
C	$160 \times 30$	直接ステップ ポアソンスイープ      1 } SLORスイープ      6 } 70回	直接ステップ 逆ステップ 3回繰り返す
		逆ステップ SLORスイープ      6 } 20回	
		ポアソンスイープ      1 } SLORスイープ      6 } 70回	
D	COARSE $20 \times 14$	125	
	MEDIUM $39 \times 28$	130	
	FINE $77 \times 56$	260	
E	$103 \times 51$	ラプラス      876 ポアソン      449	
F	$125 \times 51$	1000	
G	COARSE $48 \times 6 \times 8$	100	
	MEDIUM $96 \times 12 \times 16$	100	
	FINE $192 \times 24 \times 32$	100	
H	$176 \times 24 \times 32$		
I	COARSE $44 \times 6 \times 8$	200	
	MEDIUM $88 \times 12 \times 16$	200	
	FINE $176 \times 24 \times 32$	100	
J	560パネル		
K	560パネル		
L	$161 \times 29 \times 35$	100	

SLOR: Successive Line Over Relaxation 法

表 3.3(a) 高速化汎用コード(2次元)の各システムの  
GO ジョブスティップ実行時間

表 3.3(b) 高速化汎用コード(3次元)の各システムの  
GO ジョブスティップ実行時間

	コ - F	VP400 (秒)	VP200 (秒)	M780 (秒)
A	O	4. 35	4. 62	2. 12
	T	3. 44	3. 78	2. 14
B	O	3. 98	4. 24	2. 20
	T	3. 50	3. 80	2. 22
C	O	49. 39	52. 11	27. 73
	T	20. 50	22. 46	31. 60
D	O	4. 57	4. 83	3. 99
	T	2. 09	2. 27	4. 58
E	O	16. 59	17. 85	29. 16
	T	4. 48	4. 91	19. 89
F	O	811. 52	859. 79	726. 76
	T	99. 26	113. 57	923. 70

O:オリジナルコード  
T:チューニングコード

	コ - F	VP400 (秒)	VP200 (秒)	M780 (秒)
G	O		51. 82	
	T		41. 14	
H	O		231. 66	
	T		241. 49	
I	O		1239. 85	
	T		329. 72	
J	O		30. 40	
	T		1. 25	
K	O		71. 82	
	T		2. 58	
L	O		625. 14	
	T		193. 05	

O:オリジナルコード  
T:チューニングコード

表 3.3(c) 高速化汎用コード(2次元)の各システムの  
GO ジョブステップ実行時間の比率

コ - F		VP400		VP200		M780	
A	O	0. 49	0. 46	1		0	3. 51
	T	0. 62	0. 56	0. 99			
B	O	0. 55	0. 52	1		0	0. 77
	T	0. 63	0. 58	0. 99			
C	O	0. 56	0. 53	1		0	0. 53
	T	1. 35	1. 23	0. 88			
D	O	0. 87	0. 83	1		0	0. 58
	T	1. 91	1. 76	0. 87			
E	O	1. 76	1. 63	1		0	0. 69
	T	6. 51	5. 94	1. 47			
F	O	0. 90	0. 85	1		0	3. 89
	T	7. 32	6. 40	0. 79			

O:オリジナルコード  
T:チューニングコード

表 3.3(d) 高速化汎用コード(3次元)の各システムの  
GO ジョブステップ実行時間の比率

コ - F		VP400		VP200		M780	
G	O	3. 51		2. 95		1	
	T	4. 43		3. 64		1. 18	
H	O	0. 77		0. 74		1	
	T	0. 83		0. 80		1. 04	
I	O	0. 53		0. 49		1	
	T	2. 00		1. 93		1. 10	
J	O	0. 58		0. 56		1	
	T	14. 11		9. 54		1. 25	
K	O	0. 69		0. 67		1	
	T	19. 32		13. 36		0. 91	
L	O	3. 89		3. 59		1	
	T	12. 58		10. 03		1. 04	

O:オリジナルコード  
T:チューニングコード

表 3.4(a) 高速化汎用コード(2次元)の各システムの  
GO ジョブステップ実行時間

コ - F		VP400 (B)						VP200 (B)															
V	U	S	U	C	P	U	V	U	S	U	C	P	U	V	U	S	U	C	P	U			
A	O	0. 97	3. 38	4. 35	1. 01	3. 61	4. 62	C	O	10. 09	41. 73	51. 82	18. 28	43. 52	61. 80	G	O	10. 09	41. 73	51. 82	18. 28	43. 52	61. 80
	T	0. 78	2. 66	3. 44	0. 92	2. 86	3. 78		T	17. 31	23. 83	41. 14	24. 52	25. 58	50. 10								
B	O	0. 87	3. 11	3. 98	0. 91	3. 33	4. 24	H	O	0. 13	231. 53	231. 66	0. 16	241. 33	241. 49	H	T	6. 01	208. 99	215. 00	6. 31	217. 38	223. 69
	T	0. 82	2. 68	3. 50	0. 92	2. 88	3. 80		T	6. 01	208. 99	215. 00	6. 31	217. 38	223. 69								
C	O	13. 34	36. 05	49. 39	13. 73	38. 38	52. 11	I	O	253. 80	986. 05	1239. 85	321. 71	1038. 48	1360. 19	I	T	131. 58	198. 14	329. 72	139. 25	203. 69	342. 94
	T	5. 67	14. 83	20. 50	6. 43	16. 03	22. 46		T	131. 58	198. 14	329. 72	139. 25	203. 69	342. 94								
D	O	0. 47	4. 10	4. 57	0. 51	4. 32	4. 83	J	O	2. 91	27. 49	30. 40	3. 04	28. 69	31. 73	J	T	1. 09	0. 16	1. 25	1. 54	0. 31	1. 85
	T	0. 62	1. 47	2. 09	0. 69	1. 58	2. 27		T	1. 09	0. 16	1. 25	1. 54	0. 31	1. 85								
E	O	1. 63	14. 96	16. 59	2. 23	15. 62	17. 85	K	O	9. 64	62. 18	71. 82	10. 06	64. 69	74. 75	K	T	2. 31	0. 27	2. 58	3. 28	0. 45	3. 73
	T	2. 45	2. 03	4. 48	2. 78	2. 13	4. 91		T	2. 31	0. 27	2. 58	3. 28	0. 45	3. 73								
F	O	288. 90	522. 62	811. 52	310. 31	549. 48	859. 79	L	O	224. 53	400. 61	625. 14	260. 02	417. 37	677. 39	L	T	172. 96	20. 09	193. 05	220. 13	21. 96	242. 09
	T	76. 05	23. 21	99. 26	87. 52	26. 05	113. 57		T	172. 96	20. 09	193. 05	220. 13	21. 96	242. 09								

VU : ベクトルユニット実行時間  
SU : スカラユニット実行時間  
CPU: 実行時間

表 3.4(b) 高速化汎用コード(3次元)の各システムの  
GO ジョブステップ実行時間

コ - F		VP400 (B)						VP200 (B)															
V	U	S	U	C	P	U	V	U	S	U	C	P	U	V	U	S	U	C	P	U			
A	O	0. 97	3. 38	4. 35	1. 01	3. 61	4. 62	C	O	10. 09	41. 73	51. 82	18. 28	43. 52	61. 80	G	O	10. 09	41. 73	51. 82	18. 28	43. 52	61. 80
	T	0. 78	2. 66	3. 44	0. 92	2. 86	3. 78		T	17. 31	23. 83	41. 14	24. 52	25. 58	50. 10								
B	O	0. 87	3. 11	3. 98	0. 91	3. 33	4. 24	H	O	0. 13	231. 53	231. 66	0. 16	241. 33	241. 49	H	T	6. 01	208. 99	215. 00	6. 31	217. 38	223. 69
	T	0. 82	2. 68	3. 50	0. 92	2. 88	3. 80		T	6. 01	208. 99	215. 00	6. 31	217. 38	223. 69								
C	O	13. 34	36. 05	49. 39	13. 73	38. 38	52. 11	I	O	253. 80	986. 05	1239. 85	321. 71	1038. 48	1360. 19	I	T	131. 58	198. 14	329. 72	139. 25	203. 69	342. 94
	T	5. 67	14. 83	20. 50	6. 43	16. 03	22. 46		T	131. 58	198. 14	329. 72	139. 25	203. 69	342. 94								
D	O	0. 47	4. 10	4. 57	0. 51	4. 32	4. 83	J	O	2. 91	27. 49	30. 40	3. 04	28. 69	31. 73	J	T	1. 09	0. 16	1. 25	1. 54	0. 31	1. 85
	T	0. 62	1. 47	2. 09	0. 69	1. 58	2. 27		T	1. 09	0. 16	1. 25	1. 54	0. 31	1. 85								
E	O	1. 63	14. 96	16. 59	2. 23	15. 62	17. 85	K	O	9. 64	62. 18	71. 82	10. 06	64. 69	74. 75	K	T	2. 31	0. 27	2. 58	3. 28	0. 45	3. 73
	T	2. 45	2. 03	4. 48	2. 78	2. 13	4. 91		T	2. 31	0. 27	2. 58	3. 28	0. 45	3. 73								
F	O	288. 90	522. 62	811. 52	310. 31	549. 48	859. 79	L	O	224. 53	400. 61	625. 14	260. 02	417. 37	677. 39								
	T	76. 05	23. 21	99. 26	87. 52	26. 05	113. 57		T	172. 96	20. 09	193. 05	220. 13	21. 96	242. 09								

VU : ベクトルユニット実行時間  
SU : スカラユニット実行時間  
CPU: 実行時間

広い高速化倍率の分布を示している。A, B および H では M 780 より遅くなっているが、これらのプログラムがベクトル計算機向きでないことを意味している（これらを高速処理するには計算スキーム、アルゴリズムに戻って考える必要がある）。残りのプログラムについては改善が見られ、M 780 より遅かったものは M 780 より速くなり、もともと M 780 より速かったものもさらに速くなっている。

オリジナルコードとチューニングコードの M 780 での実行時間を比べてみると 1 を境にして 2 種類に分けることができる。1 より大きい E, G, H, I, J および L は、チューニングコードの方がオリジナルコードよりも速くなっていることを意味し、プログラムチューニングが汎用計算機にとっても有効な内容を含むことを示している。一方 1 より小さい A, B, C, D, F および K は、チューニングコードの方がオリジナルコードよりも遅くなっていることを意味し、汎用計算機での計算時間が増えるようなプログラムチューニングであってもベクトル計算機での実行時間が短くなる場合が

あることを示している。

表 3.4 はオリジナルコードとチューニングコードの VP 200 および VP 400 での実行時間(cpu), ベクトルユニット使用時間(vu), スカラユニット使用時間( $su = cpu - vu$ )を示したものである。但し、 $su$  はベクトルユニット走行中のスカラユニット走行時間を含まない。

表 3.3 および表 3.4 のデータを基に相対実行時間を視覚化したのが図 3.1(1)～(3)である。ここでは、オリジナルコードの M 780 での実行時間を 100 とした時のオリジナルコードおよびチューニングコードの VP 400 での実行時間を示す。図中、 $s$  は  $su$  を  $v$  は  $vu$  を表す。M 780 と M 380 の性能比は 2.25 (表 2.1) であるのでオリジナルコードを M 380 で実行した場合の相対実行時間を最右端の縦線で示す。これはオリジナルコードを VP 400 でスカラ実行した場合の実行時間と考えてよい。

図 3.1 の見方を F を例に説明するため、これを図 3.2 として再掲する。オリジナルコードの M 380 での実行時間を  $a$ , M 780 での実行時間を  $b$ , VP 400 での実行時間を  $c$ , チューニングコードの VP

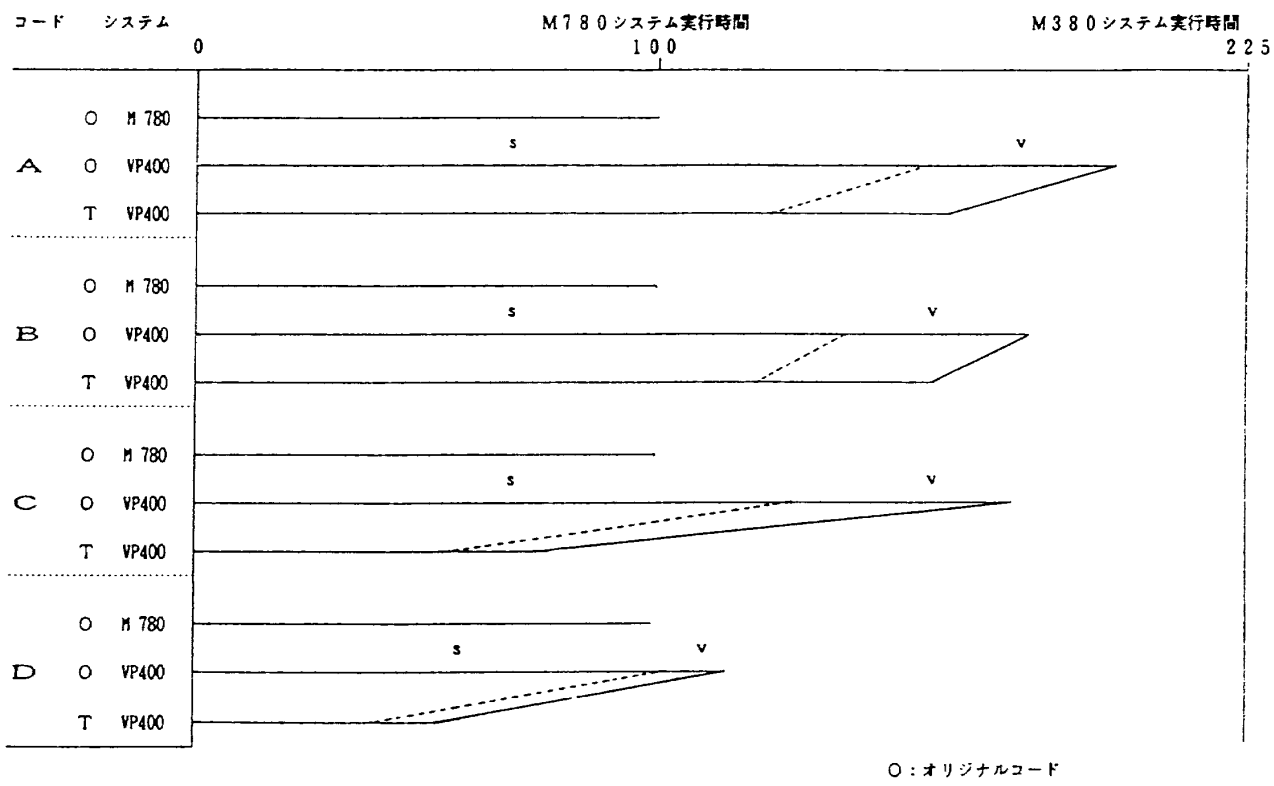


図 3.1 汎用プログラムの各種システムの実行時間(1)

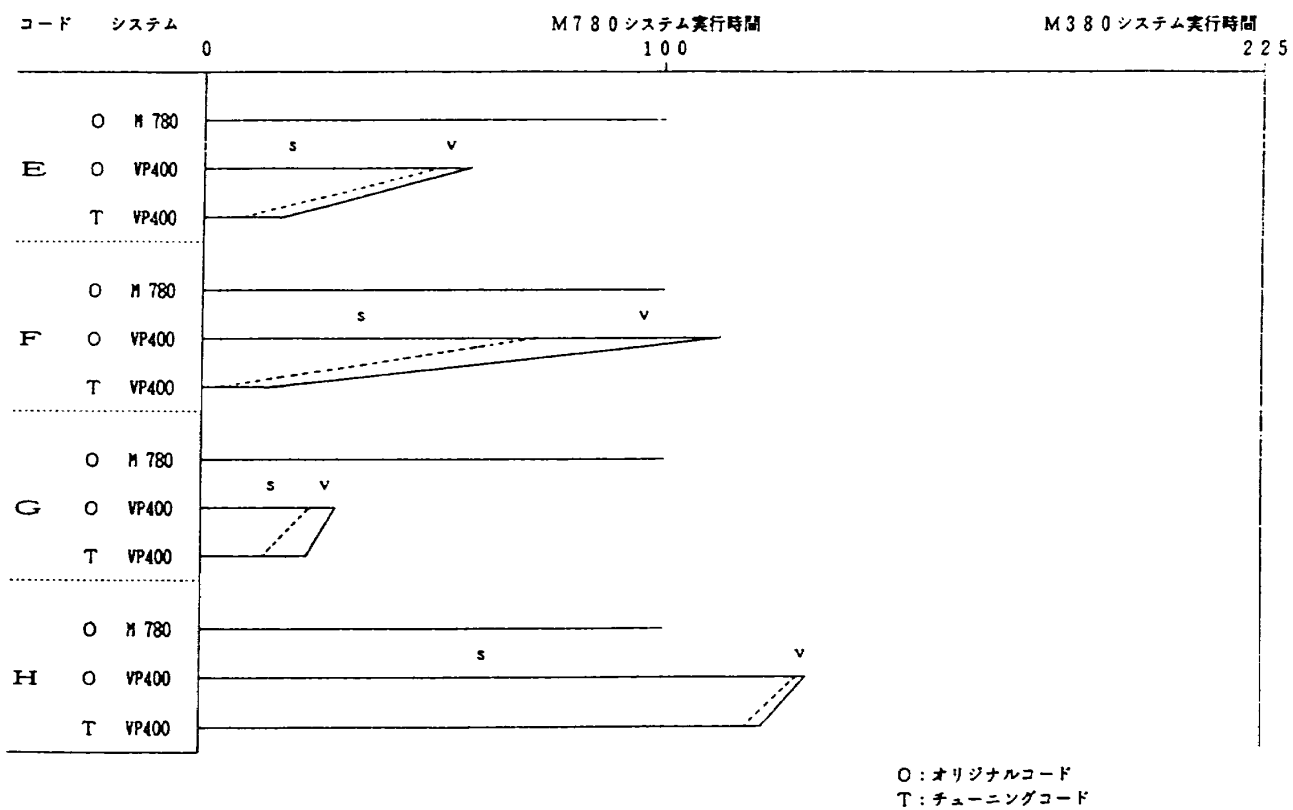


図3.1 汎用プログラムの各種システムの実行時間(2)

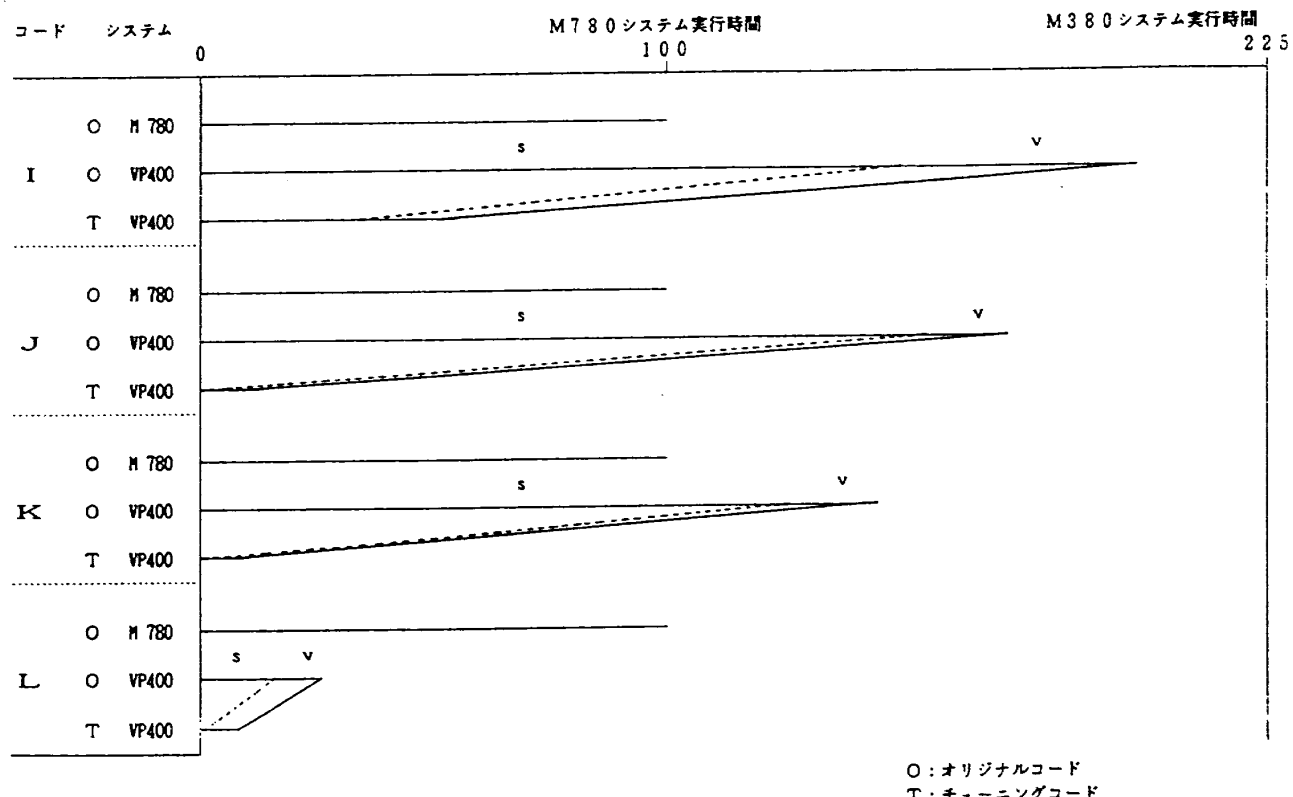


図3.1 汎用プログラムの各種システムの実行時間(3)

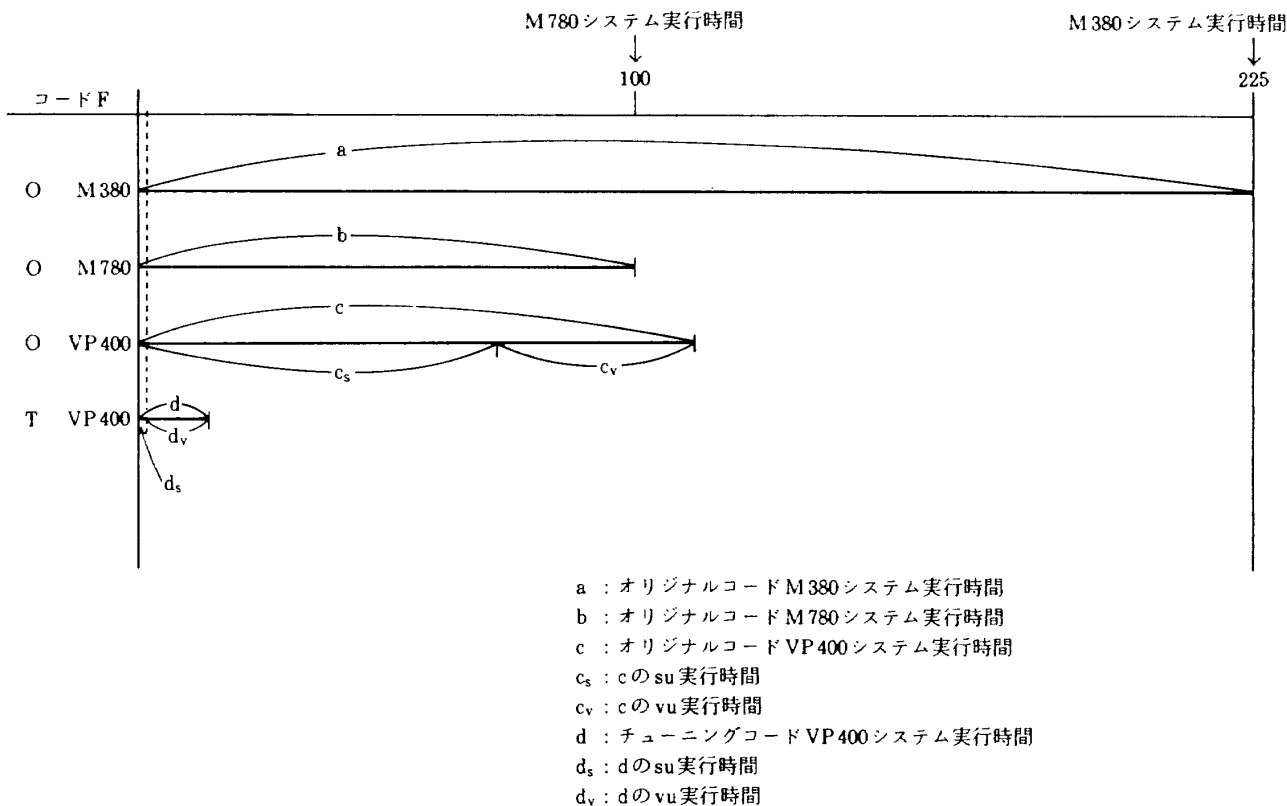


図 3.2 プログラム F の例

400での実行時間をdとする。またcおよびdのsu, vuをそれぞれc<sub>s</sub>, d<sub>s</sub>, c<sub>v</sub>およびd<sub>v</sub>で表わす。

$a > c > b$ であることより、オリジナルコードに何も手を加えなくても VP をスカラ計算機として使用するよりは速いが、汎用計算機 M780よりは遅いことがわかる。 $d < c$ によりプログラムチューニングすることにより高速化されたことがわかる。このように定性的なことがらはこの図からすぐに読み取れる。

定量的な評価は 2.2 で定義したVと $\alpha$ を

$$V = (a - d_s)/a$$

$$\alpha = (a - d_v)/d_v$$

によって計算すればよい。この場合には  $V=0.986$ ,  $\alpha=21.2$ となり、Fではプログラムの大部分がベクトルユニットで処理され、しかもスカラ速度比は21倍にもなっている(この場合、スカラ速度比は M380に対するものであるので表 2.1 のピーク演算処理速度の倍率は 148 倍に対応するものである)。

表 3.5 は各プログラムのVおよび $\alpha$ の値の一覧表である。高速化倍率の悪いプログラム A, B お

よび H のうち A と B は V,  $\alpha$  共に値が小さくこれらの高速化のためには多方面からの検討が必要と考えられる。1 ケースの計算は数秒で終了するが、境界層補正を行うこともできるので、その場合には約10倍の計算時間が必要である。それが頻繁に使用されるのであれば高速化の必要性がある。しかし、境界層補正を行う計算が少なければ高速化倍率が低くてもさほど影響はないので高速化の必要性はないと考えられる。一方プログラム Hについては、 $\alpha$  が大きいので V を大きくできるかどうかの検討が必要になる。このプログラムは 3 次元翼胴結合体廻りに計算格子を生成するもので、対象を変えて何度も計算する場合には高速化を図る必要があるが、一度格子を生成すればそれをデータとして何度も流れ場を計算するというのであれば比較的高速化の必要性は小さくなる。このプログラムの高速化には、形状操作の部分等プログラム構成を変更したりあるいは等角写像という方法を変更する必要があると考えられる。

一方高速化倍率の高いプログラム J, K および L にあっては、ベクトル化率 V は 99% を越えてお

表 3.5 高速化汎用コードのベクトル化率およびベクトル／スカラ速度比

コード	ベクトル化率 (V × 100 %)	ベクトル／スカラ速度比 ( $\alpha$ 倍)	高速化倍率*
A	44.2%	2.7倍	0.62
B	45.9%	2.8倍	0.63
C	76.2%	8.4倍	1.35
D	83.6%	12.1倍	1.91
E	96.9%	26.0倍	6.51
F	98.6%	21.2倍	7.32
G	94.2%	22.3倍	4.43
H	47.9%	32.0倍	0.83
I	86.7%	9.8倍	2.00
J	99.6%	36.3倍	14.11
K	99.8%	48.4倍	19.32
L	99.6%	31.5倍	12.58

\*高速化倍率 = M780 システム実行時間 / VP400 システム実行時間

り、その高速化倍率の相違は  $\alpha$  の大小によっているのがわかる。この表の結果から大雑把にいって、高速化倍率を上げるには『まずベクトル化率 V を大きくする。しかる後ベクトル／スカラ比  $\alpha$  を大きくすることを考える』という手順になる。

次にチューニングコードの VP200 と VP400 の実行時間の比較を行う。図 3.3 にチューニングコードの VP200 での実行時間を 1 とした場合の VP400 での実行時間を示す。図中 s は su, v は vu を表し、各計算機での実行時間の先端を実線で、su を点線で結んである。また表 2.1 のピーク演算処理速度から VP400 は VP200 の約 2 倍の性能があることになるが、現実的な処理条件下では 1.7 倍程度が一つの努力目標値と思われる。そのため図中ほぼ中央の縦線で VP200 での実行時間を 1 と

して、VP400 がその 1.7 倍の性能が出た場合の実行時間を示してある。

図 3.3 では各コードのグラフの先端を結んだ角度が鋭い程、また中央縦線に近い程 VP200 と VP400 での実行時間に差があることを示し、VP400 の特徴を活かしたプログラムチューニングになっているといえる。これらをかなりの程度満足しているのは 3 次元を対象としているプログラム J および K だけであり、同じく 3 次元のプログラム G および L がこれに続く。同じ 3 次元のプログラム でありますながら H および I では数 % の短縮にしかなっていない。2 次元のプログラム (A～F) ではプログラムの区別なく 10% 前後の短縮となっている。

また点線で結ばれた su を VP200 と VP400 で比

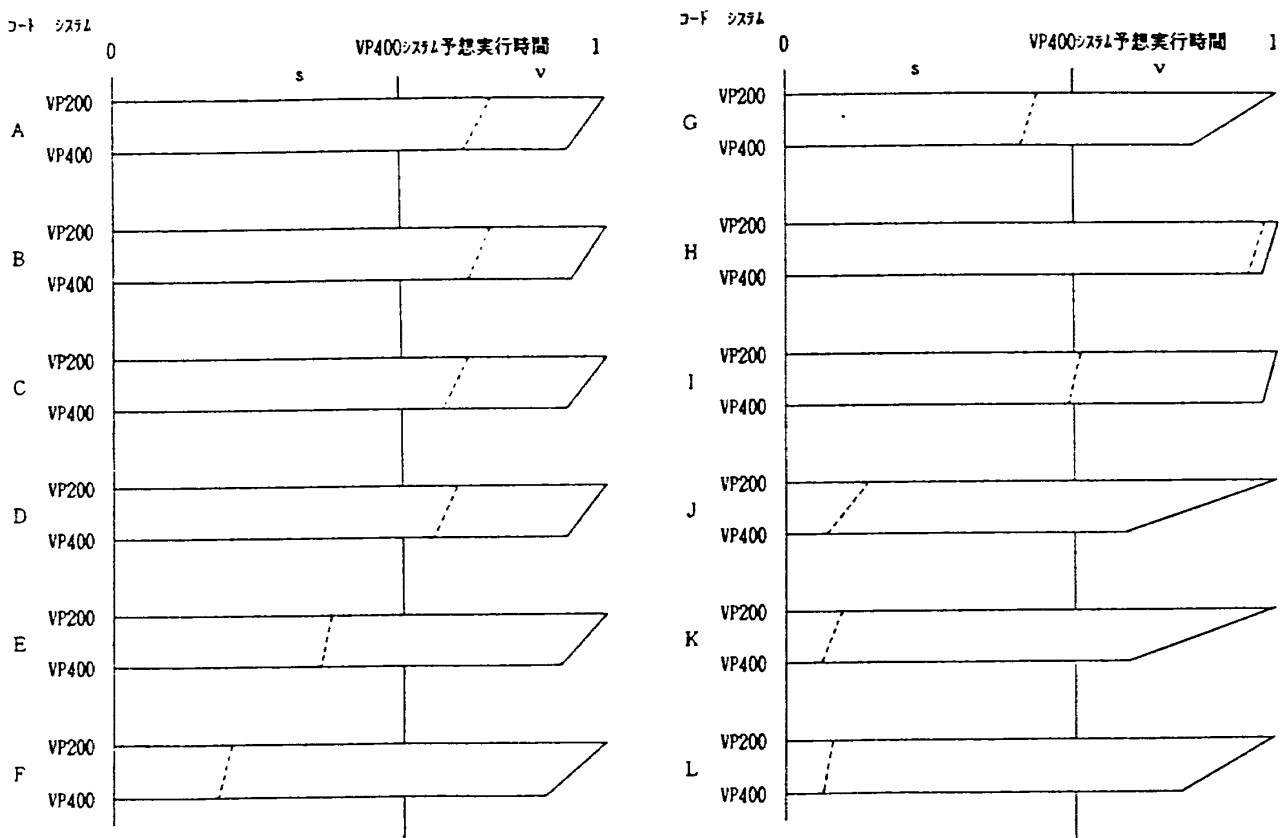


図 3.3 チューニングコードの VP200 システムおよび VP400 システム実行時間

較するとすべて VP400 の方が小さい。これは一部には VP200 と VP400 のマシンサイクルの違いもあるが、コンパイラが生成するオブジェクトの違いが大きいと考えられる。

これまでの議論は高速化の相対的数値に基づいてきたが、多くの計算時間を必要とするプログラムにあっては、たとえ高速化倍率が小さくても(1 よりは大きくて)得られる絶対的時間短縮は大きいものとなる。即ち実行時間の長いプログラムほど努力の必要性がある。

#### 4. 高速化手法<sup>5), 6)</sup>

航技研の汎用プログラムをスーパーコンピュータ向きに高速化するための作業は大きく次の三つに分類される。

- 1) FORTRAN 77 レベルへの移行
- 2) プログラム構造の整理
- 3) 高速化のためのチューニング

1) は ENCODE 文の修正等、2) はプログラムの計算部と入出力部の分離や配列の大きさを可変に

するという内容であり、すべての汎用プログラムについて行われたものでないことと高速化とは直接関係がないことから本章では、1) および 2) については記述せず、3) について述べる。

全汎用プログラムについて高速化手法をまとめ手法別に述べることが最も理解しやすい形式になると思えたが、実際に分類を行うとベクトル化されない理由が様々であることや高速化の一方法が様々な手法を含むことなどの理由により分類が困難である。また、無理に分類をして手法説明を行うと整いすぎて実際のコーディングと多少異なり、マニュアル説明と同様のものになったり全チューニングを載せられなかったりする。また、整理されたコーディングは実際にユーザが書いたコーディングと離れてしまって理解しにくくなる可能性がある。

これらの理由によりチューニング説明はプログラム別に行うこととした。しかし、同一プログラムにおいて同一のチューニングが何度も適用されている場合には、繁雑さを避けるため最初に一度

説明することとした。また、同様のチューニングが他のプログラムでも施されている場合にはチューニング説明は除き、どのチューニングが施されたかを述べるにとどめる。説明方法は、まずチューニング内容の説明を行い、それを行う理由や効果について述べる。プログラムを示す際にはオリジナルコードの部分プログラム、または理解しやすい例を用いて説明する。

本章に載せた手法は50を越える。これらは、プログラムコーディング、ベクトル化不可の原因、チューニング法およびチューニング目的の組み合わせにより多くの数となった。簡単なチューニングもあればプログラムの大改造を必要とするチューニングもある。また、同じテクニックを用いてプログラム全体にわたり修正したものもある。したがって、チューニングに要する時間と効果にそれほど相関はない。

チューニングは回帰演算や配列の定義・参照の矛盾によりベクトル化されないDOループをベクトル化されるように修正したもの、すなわち、ベクトル化の促進を目的にしたものが多い。そして、その過程で効率的なベクトル化や省力化を行っている。

高速化手法の効果についてはほとんど触れなかった。それは、その手法が適用されるプログラムのステートメントの実行回数や演算命令の種類および数、ベクトル長等に左右されるからである。したがって、同一のチューニング法でもプログラムXには効果があり、プログラムYには効果がない場合があり得る。なお、プログラムの高速化に最も寄与したチューニング内容のものがある場合には各節の最後に述べることとする。

また、図が多いので煩雑さを避けるため、4章の図のみ巻末に載せる。図の表題は、たとえばプログラムAのチューニング1の変更前のプログラムは、

#### A-1 変更前のプログラム

というように、汎用プログラムの記号およびチューニング番号を示すものとする。

### 4.1 プログラムAの高速化

#### (1) チューニング1

部分ベクトル化されているDOループ内の単変数を配列にしてDOループを完全ベクトル化した。理解を容易にするため図4.1.1に例を示す。

図4.1.1(a)においてDOループ中の変数X1およびX2は前回の反復における値を参照しているので、変数の定義・参照が逆になることから回帰演算となる。そのためDOループは完全にベクトル化されない。変数を配列にすることにより回帰的関係が解除されるのでDOループは完全にベクトル化される。チューニング後のコーディングを図4.1.1(b)に示す。

プログラムの高速化のためにはVPシステムのベクトルユニットで走行する部分をできるだけ多くすることが基本である。すなわち、FORTRANプログラムにおいてベクトル化される部分ができるだけ多い方がよい。ベクトル化の対象はDOループで書かれる部分であるのでDOループのベクトル化をできるだけ図り、ベクトル処理部を拡大する必要がある。

DOループがスカラ処理される場合(ベクトル化されない場合)，原則としてベクトルユニットは使用されない。また、部分ベクトル化されたDOループはスカラ処理部分とベクトル処理部分の混在によるオーバーヘッドがかかる。完全にベクトル化されたDOループにはそれがないので効率よく実行される。

本チューニングはプログラムのベクトル処理部の拡大を目的とするものである。

#### (2) チューニング2

頻繁に呼び出されるサブルーチンを呼び出し元に展開した。理解を容易にするため図4.1.2に例を示す。

サブルーチンの1回の呼び出しに要するオーバーヘッドは小さいが100万回も呼び出される場合、そのオーバーヘッドは秒のオーダとなる(本プログラムで最も呼び出し回数の多いサブルーチンは約1万回である)。引数が多い程オーバーヘッドも大きい。M380システムにおいて引数なし、呼び出し回数100万回実行の場合、サブルーチン呼び出

しに対するオーバーヘッドは約1.5秒である。また、引数がある場合その引数の数に応じて（1個当たり0.1～0.2秒程度）CPU時間は増加する。

サブルーチンを呼び出し元に展開することにより呼び出しのためのオーバーヘッドがなくなり実行時間は短縮される。

CALL文はベクトル化非対象のFORTRAN文である。従って、DOループ内にCALL文が存在するとそのDOループはベクトル化されない。DOループのベクトル化されない理由がCALL文のみにある場合にはこれを解除することによりDOループがベクトル化される可能性があり、その場合にはベクトル化の促進が行える。本プログラムにおけるチューニングでは展開によりDOループのベクトル化までには至らなかった。

#### 4.2 プログラムBの高速化

4.1のチューニング1およびチューニング2と同様の修正を行った。

#### 4.3 プログラムCの高速化

##### (1) チューニング1

ベクトル化されないDOループ内での要素位置（インデックス）計算をDOループ外で予め行い、DOループを二つに分割した。また、ベクトル長の長いインデックスでDOループを作成した。オリジナルおよびチューニング後のコーディングを図4.3.1に示す。

図4.3.1(a)においてDOループ中に現れる配列のインデックスをDOループ内で求めてその位置の配列要素を参照している。そして規則的間隔で積算している。そのためIQが参照・定義という順になり回帰的になっていることなど、複雑なコーディングとなっていることによりベクトル化されない。DOループがベクトル化されるように、要素位置を予め、別のDOループで計算して求めておき、積算を行う時にはそのインデックスを用いて、しかも、NS\*NDというより長いベクトル長のDOループを作成した。

本チューニングによりベクトル化の促進およびベクトル長の拡大による高速化効果が得られる。

本チューニングを施したサブルーチンのベクトル化率は8.7%から88.0%に拡大した（チューニングツールFORTUNEによる）。

##### (2) チューニング2

DOループ内へのサブルーチン展開により生じた不要のLOAD/STORE命令を削除した。オリジナルおよびチューニング後のコーディングを図4.3.2に示す。

図4.3.2(a)では変数IXXの値により配列A,B,C,D,E,RPの位置をずらしている。また、Nの値をN-1に置き換えている。三項方程式を解くサブルーチン実行後、配列AからRPの位置を元に戻し、Nの値はNに戻している。これにより、図4.3.2(a)の線で囲まれた部分のDOループをすべて削除でき、ステートメント一行について100万回実行されているLOAD/STORE命令がすべて行われなくなる。

##### (3) チューニング3

4.1(1)と同様のチューニングを行った。

##### (4) チューニング4

4.1(2)と同様のチューニングを行った。

プログラムCの高速化に寄与したチューニングはチューニング1および3である。

#### 4.4 プログラムDの高速化

##### (1) チューニング1

DOループ内にあらわれる関数で求められる値を予め計算しておき、DOループ内では関数を呼ぶのではなく配列参照の形式にして、DOループをベクトル化した。図4.4.1にオリジナルおよびチューニング後のコーディングを示す。

図4.4.1(a)の下線のついたPXは関数でありベクトル化非対象であるためDOループはベクトル化されない。関数PXはIの値によりPXの計算方法を変えている。Iが変化する度に関数PXが呼ばれ、IF判定が行われ、PXが計算される。このDOループをベクトル化するために新しくサブルーチンPXCOMを作成し、その中でPXをまとめて計算し、DOループ内では計算された値を参照するようにした。これにより、DOループはベクトル化された。サブルーチンPXCOMでは

PX が配列 PXC にストアされる。また、I が端点の場合のみ PX の計算式が異なるので、端点の判別を行うための IF 判定を除いた DO ループ計算となっている。

これらの手法を施すことにより、ベクトル化の促進、IF 判定削除および関数呼び出しによるオーバーヘッドの減少による高速化効果がある。

#### (2) チューニング 2

部分ベクトル化されている DO ループ内の IF 判定を減少させ、DO ループを分割し、それぞれの DO ループをベクトル化した。図 4.4.2 にオリジナルおよびチューニング後のコーディングを示す。

図 4.4.2(a)の④および⑤の部分は形式が同じであるので図 4.4.2(b)の⑥のようにまとめることができる。また、図 4.4.2(a)の⑦および⑧のステートメントは同じ変数 IEM を異なる IF 判定で使用しているためにこの部分は部分ベクトル化となっている。この IF 判定は配列 EMIL および EMIU に格納されている値の中で 1.3 を超えるものが 1 つでもあれば IEM=1 とする内容であるので、図 4.4.2(b)の⑨のようにコーディング変更を行った。

本チューニングはベクトル化の促進を目的とする。

#### (3) チューニング 3

DO ループ内の呼び出し元へ関数を展開し、IF-GO TO 文を IF-THEN-ENDIF 文にして DO ループをベクトル化した。さらに、プログラム構造を単純にした。図 4.4.3 にオリジナルおよびチューニング後のコーディングを示す。

図 4.4.3(a)の④および⑤の IF 判定は最大値を求めるものであるが、図 4.4.3(b)の⑥および⑦のように変更した。最大値を求めるコーディングはこの形式でベクトル化される。また、関数 PX では I の値により PX の計算式が異なるため IF 判定が行われており、オーバーヘッドがかかるので I の値によって、図 4.4.3(b)の⑧または⑨を選択する形式に変更した。

これらの手法により、ベクトル化の促進、プログラム構造の単純化によるオーバーヘッドの削減による高速化効果が得られる。

#### (4) チューニング 4

IF-GO TO 文によりベクトル化されない DO ループを IF-THEN-ENDIF 文に変更してベクトル化した。

図 4.4.4(a)は DO ループ内で ABS (RHS(J)) の最大値およびその位置を求めている。これを図 4.4.4(b)のように IF-THEN-ENDIF 文でコーディングしなおすことにより DO ループはベクトル化され、ベクトル化の促進が行える。

#### (5) チューニング 5

複数の DO ループを合併して 1 つの DO ループにした。図 4.4.5 にオリジナルおよびチューニング後のコーディングを示す。

図 4.4.5(a)の DO 30, DO 40, DO 50 ループの繰返し範囲が JBOT から JTYP まで同一であるので合併することができ、図 4.4.5(b)の⑨のように変更できる。DO 50 ループの配列 RHS は最終的には不要の配列であるので変数に変えた。

DO ループの合併による立ち上がり時間の削減、DO ループ内の演算の数と種類の増大によるパイプラインの並列走行性が高くなるという効果が得られる。また、合併により不要となった配列はテンポラリ変数とすることにより不要の LOAD/STORE 命令をなくすことができる。

#### (6) チューニング 6

部分ベクトル化のオーバーヘッドが多いため、ベクトル化されない DO ループを分割してそれぞれの DO ループをベクトル化した。

図 4.4.6(a)の④の部分を図 4.4.6(b)の⑥および⑦のように変更して、IF 判定のない形式にして、DO ループをベクトル化した。これにより、ベクトル化の促進が行えた。

#### (7) チューニング 7

DO ループの合併、配列要素の拡大等を行い、プログラム構造を単純化した。図 4.4.7 にオリジナルおよびチューニング後のコーディングを示す。

図 4.4.7(a)の④および⑤の DO ループを合併し、D の部分では配列 P の列要素数を前後に広げて J が JBOT および JTYP の場合も DO ループ内で計算可能とした。ただし、これは広げた配列の値が 0 になっていることが条件である。これらの修正

により図 4.4.7(a)の⑥の部分は削除され、図 4.4.7(b)のように構造を変えた。

DO ループの合併についてはチューニング 5 に述べた効果がある。また、構造の単純化による効果は DO 21 ループを削除できることや図 4.4.7(a)の④の部分の IF 文の削除などの余分な処理の削除をあげることができる。

#### (8) チューニング 8

ベクトル化されない DO ループ内の変数を配列化することにより DO ループをベクトル化した。図 4.4.8 にオリジナルおよびチューニング後のコーディングを示す。

図 4.4.8(a)の変数 WPX1, WPX2, WPX3 および WPX4 の参照が定義に先行する可能性があるので DO ループはベクトル化されない。DO ループをベクトル化するために変数の配列化を行って、図 4.4.8(b)のように変更した。この結果、DO ループはベクトル化され、ベクトル化の促進が行えた。

#### (9) チューニング 9

サブルーチン SYOR では配列 P(J, I)について新しい値を求めている。P を求める計算は J および I の両方向とも回帰演算となるのでベクトル化は不可能であるが、ベクトル化可能部分を抽出して最大限のベクトル化を図った。

改造前の処理フローおよび改造後の処理フローを図 4.4.9 に示す。図中、DO(i) は i 方向の DO ループであることを示す。また、図 4.4.9(a)において → ⑧ は図 4.4.9(b)の⑧の部分に移ったことを示す。図をみるとわかるように構造がかなり変更されたことがわかる。たとえば図 4.4.9(a)の④は図 4.4.9(b)の⑧, ⑨, ⑩の部分に分散した。これは④では P の新しい値および古い値の両方を使用するので、新しい値を使用する計算部は図 4.4.9(b)の点線より下の部分で計算し、P の古い値を使用する計算部は点線より上の部分で計算するように変更した。また、サブルーチン BCEND の境界条件の計算においても、P の新しい値を用いる計算部は図 4.4.9(b)の点線以下に、P の古い値を用いる計算部は新サブルーチン BCEND 2 で行う。本チューニングの概要は以上であるが、サブルーチンを載せても何頁にもわたり、複雑になってしま

るので理解しにくいと思われる。そこで具体的にどのような手法が効果を得たかを以下に説明する。

##### (イ) 配列を多次元化する。

図 4.4.10(a)はオリジナルプログラムの図 4.4.9(a)の⑥の一部である。DO ループは I でまわっているので⑥の部分はスカラ演算となる。そこで一次元配列 SUP(J) 等を二次元配列 SUP(J, I) として I でまわる DO ループをつくることによりベクトル化した。その結果、図 4.4.10(b)に示すコーディングとなり、ベクトル化の促進が行われた。

##### (ロ) IF 文を別の形の判定に置き換えて削除した。

- 1) 図 4.4.11(a)の下線部は EMU(J, I1) に VC(J)  $\geq 0$  ならば 0. を VC(J)  $< 0$  ならば VC(J) をストアすることを目的としている。これを図 4.4.11(b)の下線部のようにコーディングすることにより、EMU(J, I) に 0. または VC(J, I) の値が入るので IF 文を削除できる。

DO ループ内の IF 文の実行は他の演算命令の実行に比較して時間がかかる。IF 文を使わずにコーディングできる場合には使わない方がよい。

- 2) 図 4.4.12(a)において、FCR が真と偽であるとの違いは下線のあるステートメントのみである。これにより二重下線のついた配列 EMU の値が異なるわけであるが、これは FCR の真偽により古い値を用いるか新しい値を用いるかを決定している。そのため図 4.4.12(b)のコーディングとなり FCR の IF 判定を削除できる。効果は 1) で述べたことと同様である。

##### (ハ) DO ループの分割による高速化処理を行った。

図 4.4.11(b)において DO 1110 ループおよび DO 1210 ループは元は同一 DO ループであったがベクトル化されないため、二つの DO ループに分割してそれぞれの DO ループをベクトル化した。ベクトル化されない理由は EMU(J, I) の値が同一ループ内では保証されないからである。本チューニングによりベクトル化の促進が行えた。

- (ニ) サブルーチン内でのスカラ処理を配列処理に変更した。

図 4.4.13(a)の構造を図 4.4.13(b)のように変

更してサブルーチンの中では呼び出される度に1つずつ処理されていたのをサブルーチンの中で複数の処理を行えるようにした。その結果、サブルーチン内での処理がDOループで行えるようになりベクトル化されたのでベクトル化の促進が行えた。また、これにともなってサブルーチンの呼び出し回数の減少によりサブルーチン呼び出しのオーバーヘッドが削除できた。

#### (10) チューニング10

ベクトル化されないDOループ内に現れる関数をDOループ内に展開してDOループをベクトル化した。4.1(2)のチューニングと同様である。

#### (11) チューニング11

4.3(1)と同様のチューニングを行った。

プログラムDの高速化に寄与したチューニングはチューニング8および11である。

### 4.5 プログラムEの高速化

#### (1) チューニング1

方程式解法サブルーチンにおいて回帰計算となるためベクトル化されないDOループを、計算格子と反復計算をミックスしたDOループに構造変更し、ベクトル処理部を拡大した。

本サブルーチンは $K \times J$ の二次元格子配列について繰り返し計算を行っている。計算の順序はJ方向について三項方程式を解き、値を入れかえて、次のKに進み、全格子が終了したら、収束判定を行い、収束しない場合は繰り返し計算をする。これを図4.5.1に示す。図より明らかであるが

$$P_{j,k}^T = f(P_{j\pm 1, k\pm 1}^{T-1})$$

となり、J, K, Tとも回帰演算となる。

Jについては戻り計算があるのでこの回帰計算は回避できないが、KおよびTについては一方向性のため、KとTに斜めの方向は同時計算可能である。図4.5.2はKとTの関係を示したものである。図中の数字は計算の順序と同時計算可能なKとTの位置を示したものである。たとえば最初の繰り返し計算(T=1のとき)のK=1の時が1, K=2の時が2の順に計算され、K=3の時が3となり、この時T=2, K=1の時のPの値が計算可能

となる。このように同番号のTとTの時のPは計算可能となるので、この番号をパラメータ( $T'$ )として繰り返し計算を行うことによりK方向をベクトル化可能とできる。KとT'の関係を図4.5.3に示す。図中、 $T_n$ はオリジナルプログラムにおける繰り返し回数を示す。

このように処理構造を変更することにより本サブルーチンの処理フローは図4.5.4(a)から図4.5.4(b)のように変更された。この変更により収束判定が多少複雑になるのでそれについて説明する。

図4.5.5は収束判定説明図である。収束判定に用いている全格子の残差和および最大値は同じ $T_n$ について求め、 $K_{max}$ まで行った時点で $T_n$ の収束判定が可能である。図において、ある $T_n$ 時の値は線で囲われている部分のようになり、 $T_9$ で収束した場合、Kによっては $T_{11}$ ,  $T_{10}$ の時の値となっている。そこで線で囲われている値を保存しておき、 $T_7$ より $T_9$ まで再計算を行う。ただし、 $T_{10}$ ,  $T_{11}$ は計算しない。

#### (2) チューニング2

定数の不要計算を削除した。図4.5.6(a)の定数演算を図4.5.6(b)のように変更して演算回数の省略化を図った。

#### (3) チューニング3

4.4(5)同様DOループの合併を行った。

プログラムEの高速化に寄与したチューニングはチューニング1である。

### 4.6 プログラムFの高速化

#### (1) チューニング1

DOループの一次元化を行った。 $4 \times 4$ の二重ループをインデックスを用いてベクトル長16の一重ループにした。

多重DOループは自動ベクトル化の対象となる。すなわち、最内DOループだけでなく外側のDOループも条件さえ満たせばベクトル化される。しかし、外側のDOループまでベクトル化されるためには、配列が密であることなど、きつい条件があるため外側のDOループのベクトル化は難しい。したがって、通常は最内DOループのみベクトル化される例が多い。

本オリジナルプログラムにおいて、最内 DO ループのみベクトル化されている多重 DO ループがある。最内 DO ループはベクトル化されているが、ベクトル長が 4 である。DO ループの立ち上がり時間はそのベクトル長に関係なく、ほぼ一定であるのでベクトル長は長い方が効率がよい。そのため、ベクトル長の拡大を図るため、インデックスを用いる事により二次元配列の実行上的一次元化を行った。

図 4.6.1(a)に変更前のプログラムを、図 4.6.1(b)に変更後のプログラムを示す。

#### (2) チューニング 2

ベクトル長が短いためベクトル化のオーバーヘッドがかかるという理由により、ベクトル化されない DO ループをベクトル化されるようにした。これによりベクトル化の促進が行えた。

図 4.6.2(a)に変更前のプログラムを、図 4.6.2(b)に変更後のプログラムを示す。

#### (3) チューニング 3

DO ループ内で配列の位置を求める計算が毎回行われているので、これを予め一度計算しておき、その後は参照する形式にして、不要演算を削減した。

図 4.6.3(a)に変更前のプログラムを、図 4.6.3(b)に変更後のプログラムを示す。

#### (4) チューニング 4

同一 DO ループ内で同配列に計算結果をストアしているためベクトル化されない DO ループを二つに分割してベクトル化されるようにした。これによりベクトル化の促進が行えた。

図 4.6.4(a)に変更前のプログラムを、図 4.6.4(b)に変更後のプログラムを示す。

#### (5) チューニング 5

多重 DO ループにおいて外側の DO ループ内の処理もベクトル化されるように DO ループを分割して、それぞれの DO ループがベクトル化されるようにした。ベクトル化の促進を目的とする。

図 4.6.5(a)に変更前のプログラムを、図 4.6.5(b)に変更後のプログラムを示す。

#### (6) チューニング 6

DO ループ内の変数の定義・参照が回帰的にな

っているためベクトル化されない DO ループをアルゴリズムを変更することによりベクトル化した。ベクトル化の促進を目的とする。

図 4.6.6(a)に変更前のプログラムを、図 4.6.6(b)に変更後のプログラムを示す。

#### (7) チューニング 7

EQUIVALENCE 文により宣言された変数が不正境界となり、その変数を用いる DO ループが完全ベクトル化されないので、EQUIVALENCE 文を用いないで同じ値の格納された他の変数名を代入して DO ループをベクトル化し、ベクトル化の促進を図った。同時に、構造を変更して DO ループの合併を行った。

ベクトル化対象のデータの型は、

- (i) 4 バイトの整数型
- (ii) 実数型
- (iii) 倍精度実数型
- (iv) 複素数型
- (v) 倍精度複素数型
- (vi) 4 バイトの論理型

であり、ベクトル化されるデータは正しい境界に割り当てられていなければならない。これらのうち、(i), (ii), (vi) の正しい境界は 4 の倍数の番地であり、(iii), (v) のそれは 8 の倍数の番地である。また、(iv) の場合は 4 または 8 の倍数の番地が正しい境界である。各種の配列はその配列の割り付け時に 4 バイト整数型や倍精度実数型の混在により正しい境界に割り付けられない場合がある。これを不正境界に割り付けられるという。これは、本チューニングのようにプログラム上で修正を行っても、ジョブ制御文において境界合わせのパラメータ指定を行う方法によっても回避できる。

図 4.6.7(a)に変更前のプログラムを、図 4.6.7(b)に変更後のプログラムを示す。

#### (8) チューニング 8

多重 DO ループにおいて DO ループを入れ換えてベクトル長の最も長いループでベクトル化されるようにして、ベクトル長の拡大を図った。

図 4.6.8(a)に変更前のプログラムを、図 4.6.8(b)に変更後のプログラムを示す。

## (9) チューニング 9

二重 DO ループにおいて、ベクトル長の短い内部 DO ループを展開して、外側の大きい DO ループでベクトル化した。ベクトル長の拡大、パイプラインの同時走行種類の拡大、ベクトル化の促進が図れる。

図 4.6.9(a)に変更前のプログラムを、図 4.6.9(b)に変更後のプログラムを示す。

## (10) チューニング 10

回帰計算を回避してベクトル処理部の拡大を図った。

図 4.6.10 に示すサブルーチン FILTERX は方程式解法処理を行うサブルーチンであり、三項方程式解法ルーチン BTRI を CALL して処理を行っている。BTRI ルーチンは一方向一列を解くサブルーチンであり、その構造は回帰的でベクトル化できない。BTRI ルーチンを二次元化し、もう一方向の DO ループを設定してベクトル化した。

図 4.6.11(a)にオリジナルの処理フローを、図 4.6.11(b)にチューニング後の処理フローを示す。

## (11) チューニング 11

最適化制御行のそう入によりベクトル化されない DO ループをベクトル化した。ベクトル化の促進を目的とする。

図 4.6.12(a)は  $JJ = J$  の場合には配列 Q および S の値が保証されない。 $JJ \neq J$  が予め判っている場合には保証できるのでこの DO ループを強制的にベクトル化することが可能である。

## (12) チューニング 12

演算結果は同じであるがプログラム構造上、毎回計算が行われる場合がある。

計算格子について

$$RR = 1.0/Q( )$$

$$U( ) = Q( ) * RR$$

$$V( ) = Q( ) * RR$$

:

:

のパターンの計算が数ヶ所で繰り返されているので新サブルーチンの作成により予め計算しておいて参照する形式に変更した。目的は不要計算削除である。図 4.6.13 に新しく作成されたサブルーチ

ンを示す。図 4.6.14(a)はオリジナル、図 4.6.14(b)はチューニング後の新サブルーチンで求められた配列を用いたプログラムである。

## (13) チューニング 13

4.4(5)同様、DO ループの合併を行った。

プログラム F の高速化に寄与したチューニングはチューニング 10 である。

## 4.7 プログラム G の高速化

## (1) チューニング 1

方程式解法サブルーチンにおいて反復の度に計算される係数部の計算結果は反復が異なっても変わらない。そのため、解法サブルーチンの実行前に予め一度計算し、反復時にはそれを参照する形式にして不要演算の削除、計算の省略化を図った。拡大利用可能となったメモリの活用でもある。本チューニングは 4.6.12 と同様にメモリを活用して計算の省力化を行うものであるが、後者は反復毎に再計算されるのに対し、前者は一度の計算で求められる値を反復毎に使用する。

## (2) チューニング 2

最適化制御行を用いてベクトル化されない DO ループをベクトル化して、ベクトル化の促進を図った。

## 図 4.7.1(a)の DO ループの直前に

\* VOCL LOOP, KTE2. LT. N, KTE2.

LT. K2

をそう入することにより DO 32 ループをベクトル化した。この DO ループは N と KTE2, KTE2 と K 2 の大小関係がわからぬいためベクトル化されなかったので、コンパイラにそれを知らせることによりベクトル化された。

## (3) チューニング 3

ベクトル化されない DO ループをベクトル化される部分とされない部分に分割した。

図 4.7.2(a)の DO 22 ループは配列 LINE が CHARACTER 宣言されていること、K が回帰的参照関係をとることおよびベクトル化非対象文 WRITE 文を含むことによりベクトル化されない。そのため、ベクトル化非対象文を含むステートメントとそうでないステートメントを分けて DO ルー

プを分割した。後者の DO ループはさらに、変数 K を配列にすることにより DO ループをベクトル化した。

DO ループ中にベクトル化非対象のFORTRAN 文を含んでいるため DO ループがベクトル化されない場合、ベクトル化非対象文を含むステートメントと他のステートメントを分けて DO ループを作成することにより、一方はベクトル化される DO ループとすることができます。このように、ベクトル化されない DO ループ、または、部分ベクトル化される DO ループは、スカラ部分とベクトル部分を分けて別々の DO ループにする方が、DO ループ内のスカラ処理部分とベクトル処理部分の混在によるオーバーヘッドをなくすことができる。

プログラム G の高速化に最も寄与したチューニングはチューニング 1 である。

#### 4.8 プログラム H の高速化

##### (1) チューニング 1

無条件に呼び出されるサブルーチンを条件付きで呼び出すようにして呼び出し回数を減少させた。

図 4.8.1(a) にオリジナル、図 4.8.1(b) にチューニング後のコーディングを示す。

##### (2) チューニング 2

定数除算を予めデータ文で与えて乗算に変更した。

除算に要する時間は乗算に要する時間より多く、命令実行時間で約 8 倍遅い。従って、除算はできるだけ削減する方がよい。予め、除算を行い、からは乗算で実行可能にできるものはその形式にした方がよい。

##### (3) チューニング 3

頻繁にあらわれる定数計算を予め計算しておき、以後、参照の形式にした。

図 4.8.2(a)において、-PTA-PTB および PTB-PTA は頻繁にあらわれる計算式であるので、それらの値を予め計算しておいて、-PTA PTB および PTB PTA をつくり置き換えた。目的は計算の省力化である。

##### (4) チューニング 4

4.4(4) と同様に、IF-GO TO 文を含む DO ルー

プをベクトル化した。

##### (5) チューニング 5

4.7(1) と同様のチューニングを行い、不要演算を削除した。

##### (6) チューニング 6

4.7(3) と同様に、DO ループの分割による高速化を行った。

#### 4.9 プログラム I の高速化

##### (1) チューニング 1

ベクトル化非対象文(WRITE 文、CALL 文)があること、WRITE 文中に配列があることおよび回帰的参照形式をとる変数があることの理由によりベクトル化されない DO ループを、ベクトル化非対象文を除き、DO ループを分割することにより IF 文を削除した。

図 4.9.1(a) はオリジナルのループ構造図である。CALL 文はチェック用のものなので点線で囲われた部分を取り除いた。また、J は

$J=1, 2, 3, \dots, J_1, J_1+1, J_1+2, \dots, N$  について処理し、 $J \leq J_1, J = J_1+1, J \geq J_1+2$  の三つの場合に分けられる。DO ループ内で行われているこの判定を DO ループ外に派出して、DO ループ処理を行うようにした。その結果、DO ループ構造図は図 4.9.1(b) のようになる。

これにより二つの DO ループができるがそれぞれの DO ループがベクトル化されるのでベクトル化の促進が行える。また、DO ループ内の IF 判定を削除することにより効率的に処理されるようになった。

##### (2) チューニング 2

配列の位置を DO ループ中で求めるためベクトル化されないステートメントのある DO ループを二つに分割して原因を取り除き、二つの DO ループをベクトル化した。その結果、ベクトル化の促進および IF 文の一部削除がなされた。

図 4.9.2 にオリジナルの DO ループ構造を示す。L が DO ループ内で求められているので、L を含むステートメントはベクトル化されない。これを、チューニング 1 と同様に、J は

$J=1, 2, 3, \dots, J_1-1, J_1, J_1+1, \dots, N$

となっているので、 $J \leq J1-1$ ,  $J=J1$ ,  $J \geq J1+1$  の三つの場合に分けて DO ループを作成し、ベクトル化した。

#### (3) チューニング 3

配列の位置の決定が DO ループ内で行われていることおよび変数の参照がその定義に先行しているとの理由でベクトル化されない DO ループを分割してベクトル化されるようにした。目的は DO ループのベクトル化の促進および IF 文の削減である。

図 4.9.3(a)にオリジナルプログラムを、図 4.9.3(b)にチューニングプログラムを示す。

#### (4) チューニング 4

部分ベクトル化されている DO ループの構造変更を行ってベクトル化されるようにし、DO ループ中で判定する必要のない IF 文を削除した。

図 4.9.4(a)はオリジナルの DO ループである。KY が配列 PD の回帰性の原因となっていることおよび JTPP と KY の関係が不明のため DO ループは部分ベクトル化となっている。また、IF 文は DO ループ外で判定可能であるので DO ループ外に排出して、その条件により配列 PD の計算を行う DO ループを選択する構造に変更した。これによりベクトル化の促進、IF 文の削除によるオーバーヘッドの削減が行われた。

#### (5) チューニング 5

4.7(2)と同様に、最適化制御行 (NOVREC) の利用により DO ループのベクトル化を図った。

#### (6) チューニング 6

4.8(2)と同様に、定数除算を乗算に変更した。

### 4.10 プログラム J の高速化

#### (1) チューニング 1

ベクトル化非対象文 (DO WHILE文)があるためにベクトル化されない DO ループを、DO WHILE 文を含む DO ループと含まない DO ループに分割して後者をベクトル化した。これにともない、両方の DO ループで使われる変数を配列にした。目的はベクトル化の促進である。

図 4.10.1(a)にオリジナルプログラムを、図 4.10.1(b)にチューニングプログラムを示す。

#### (2) チューニング 2

配列の添字の順序を変えてメモリアクセスの高速化を図った。

図 4.10.1(a)の下線のある配列 RE は  $RE(1, 1, N)$  となっているが、DO ループは N でベクトル化されているので飛びのある配列参照となっている。それを  $RE(N, 1, 1)$  と順序を入れ換えることにより、N で連続的に参照されるので最も効率の良いデータアクセスが行える。

#### (3) チューニング 3

サブルーチンのプログラム構造を組みかえてモジュール化をはかり、ベクトル化の促進と冗長計算部分の除去を行った。

図 4.10.2(a)はオリジナルのプログラム構造である。サブルーチン SBCH はほとんどスカラ計算でありベクトル化率が低く、DO ループでベクトル化されている場合もベクトル長 3 ~ 4 と大変短いものである。また、サブルーチン SBCH は二種類のデータを計算する機能をもつために、データ A を求めるために必要な計算、データ B を求めるために必要な計算およびデータ A と B を求めるために必要な共通計算の三つに分けられる。したがって、Aだけを求めたい場合にも A の計算には不要な B の計算を行うプログラム構造となっている。ベクトル長 NCS2 の二重ループになっているため、不要計算部が多い場合には余分な計算に時間を費すことになる（本ルーチンでは共通計算がステートメントにして半分以上占めている）。これらの処理を目的毎に一括配列処理を行う構造にかえて、ベクトル化の促進および不要計算のできるだけの除去を図った。

#### (4) チューニング 4

配列データの定義・引用が回帰的参照であるためベクトル化されない DO ループを原因となる配列を単変数におきかえることによりベクトル化した。

図 4.10.3(a)のオリジナルプログラムの下線部の配列を図 4.10.3(b)の下線部の単変数にした。目的はベクトル化の促進である。

#### (5) チューニング 5

配列の大きさを設定しなおしてメモリアクセス

を効率の良いものにした。目的はバンク競合の回避である。

たとえば配列 A(600, 30)であれば

A : 単精度  $\Rightarrow$  A(602, 30)

A : 倍精度  $\Rightarrow$  A(601, 30)

とすればよい。

#### (6) チューニング 6

4.1(2)と同様に DO ループ内で呼び出されるサブルーチンを呼び出し元に展開した。

#### (7) チューニング 7

4.6(9)と同様にベクトル長の短い DO ループを展開して外側の長いベクトル長でベクトル化されるようにした（この場合は配列の次元の拡大をともなった）。

#### (8) チューニング 8

4.8(2)と同様に、定数除算を DO ループ外で予め計算して DO ループ内では乗算に変更した。

プログラム J の高速化に最も寄与したチューニングはチューニング 3 である。

### 4.11 プログラム K の高速化

#### (1) チューニング 1

DO ループ内のサブルーチンから SSL II ライブライリ DLAX（連立一次方程式解法ルーチン）が呼ばれていたが、これを用いずにその場で解法計算を行うことにより DO ループをベクトル化した。

DO ループ内にベクトル非対象文（CALL文）が存在すると DO ループはベクトル化されない。通常は SSL II ライブライリを展開することは考えられない。ここでは三元三列の連立一次方程式の解法であるのでクラーメルの公式を用いて DO ループ内で直接求めるようにした。オリジナルの場合には約 7 万 5 千回、DLAX が呼ばれていたが、本修正により CALL 文の削除、DO ループのベクトル化の促進が行えた。

図4.11.1 にオリジナルおよびチューニング後の簡単な DO ループ構成を示す。

#### (2) チューニング 2

4.1(2)と同様に、DO ループ内で呼び出されるサブルーチンを呼び出し元に展開した。

#### (3) チューニング 3

4.6(9)と同様に、ベクトル長の短い DO ループを展開して外側の長いベクトル長でベクトル化されるようにした。

#### (4) チューニング 4

4.10(2)と同様に、配列の添字の順序を変えてメモリアクセスの高速化を図った。

#### (5) チューニング 5

4.10(3)と同様に、サブルーチンの構造を変更してベクトル化を図った。

#### (6) チューニング 6

4.10(8)と同様に、定数除算を DO ループ外で予め計算して DO ループ内では乗算に変更した。

プログラム K の高速化に最も寄与したチューニングはチューニング 5 である。

### 4.12 プログラム L の高速化

#### (1) チューニング 1

変数の参照がその定義に先行しているためベクトル化されない DO ループをコーディング変更してベクトル化した。

図4.12.1(a)の RESMX の引用が定義に先行しているためベクトル化されないので図4.12.1(b)のコーディングにして DO ループをベクトル化した。この結果 4 つの IF 判定を 1 つに減らすことができより効率的に処理されることになった。

#### (2) チューニング 2

二重 DO ループの内側の DO ループのベクトル長がその DO ループ内で使用される配列の大きさと等しいことをコンパイラに認識させて、外側の DO ループのベクトル化まで図った。これはコーディング変更による DO ループの一重化と同じであるが、変更が簡単なわりに効果の大きい高速化方法である。三重 DO ループの場合も同様の方法で一重化可能である。これによりベクトル長が拡大できる。図4.12.2 にオリジナルプログラムおよびチューニングプログラムを示す。

#### (3) チューニング 3

二重 DO ループの内側のベクトル長の短い DO ループでベクトル化されている DO ループを、外側のベクトル長の長い DO ループでベクトル化さ

れるようにした。

これにより、ベクトル長の拡大が行われ、さらに J 方向でベクトル化するために配列の参照が連続的に行われるようになりメモリアクセスも効率的に行われるようになる。図 4.12.3 にオリジナルおよびチューニング後のプログラムを示す。

#### (4) チューニング 4

最外 DO ループのベクトル長は短くベクトル化されていないので、それを内側の DO ループに展開してベクトル化される演算を増やし、スカラ処理部分を減少させた。

これにより、DO ループ内のベクトル演算の増大およびオーバーヘッドの削減が行われた。図 4.12.4 にオリジナルおよびチューニング後のコーディングを示す。

#### (5) チューニング 5

4.4(5)と同様に、DO ループの統合を行った。

#### (6) チューニング 6

4.7(2)と同様に、最適化制御行 (NOVREC) を用いてベクトル化の促進を行った。

#### (7) チューニング 7

4.10(4)と同様に、DO ループ内で回帰的定義参照関係となっている配列を単変数にして DO ループをベクトル化した。

プログラム L の高速化に寄与したチューニングはチューニング 2 である。

### 4.13 まとめ

4.1～4.12 節のチューニングの種類が多いので、5 倍以上の高速化倍率を得たプログラムを対象に最も寄与したチューニング内容および効果を表 4.1 にまとめる。

表 4.1 各プログラムの高速化に寄与したチューニング内容

コード	チューニング内容	目的、効果	高速化倍率*
E	方程式解法サブルーチンにおいて回帰計算となるためベクトル化されない DO ループを、計算格子と反復計算をミックスした DO ループに構造変更した。(チューニング 1)	回帰計算の回避によるベクトル処理部の拡大	6.51
F	方程式解法処理を行うサブルーチンにおいて呼び出される三項方程式解法ルーチンは一方向一列を解くサブルーチンであり、その構造は繰り返的でベクトル化できないので、三項方程式解法ルーチンを二次元化し、もう一方の DO ループを設定した。(チューニング 10)	回帰計算の回避によるベクトル処理部の拡大	7.32
J	オリジナルのプログラム構造を組み換えてモジュール化を図った。(チューニング 3)	ベクトル化の促進および冗長計算部の除去	14.11
K	オリジナルのプログラム構造を組み換えてモジュール化を図った。(チューニング 5)	ベクトル化の促進および冗長計算部の除去	19.32
L	多重 DO ループの内側の DO ループのベクトル長がその DO ループ内で使用される配列の大きさと等しいことをコンパイラに認識させ、外側の DO ループのベクトル化まで図り、DO ループの一重化を行った。(チューニング 2)	ベクトル長の拡大	12.58

\* 高速化倍率 = M780 システム実行時間 / V P400 システム実行時間

## 5. むすび

航技研の汎用プログラム12本の高速化を図り、その結果、以下のことが得られた。

オリジナルコードの VP 200/400 での実行において M 780 での実行時間より短縮されたプログラムは 3 本であり、他の 9 本のプログラムでは逆に M 780 での実行時間より長くなっている。実行時間の短縮された 3 本のプログラムについてもその処理速度向上は、大きい場合でも 4 倍弱であり、ピーク演算処理速度の倍率、65 倍に比較して、ベクトル計算機を活用している倍率とは言い難く、プログラムチューニングを行い実行時間の短縮を図ることの必要性が確認された。

プログラムチューニングを行った結果、9 本のプログラムについては M 780 での実行時間の 1.35 ~ 19.32 倍の高速化を得た。チューニングを行っても M 780 での実行時間より短くならなかったプログラムは 3 本であった。

高速化倍率の特に高い 3 本のプログラムのベクトル化率は 99% 以上であり、ベクトル / スカラ速度比は 31~48 倍である。これらの倍率はピーク演算処理速度の倍率、148 倍に対応するものであり、最高でも 48 倍にしか達していないという感を持たれるかもしれない。しかし、148 倍というのはメモリ競合などが起こらない理想の環境でのピーク演算処理速度であり、実際の環境ではメモリバンク競合やパイプラインの並列走行がのぞめない場合が多くあり、このような環境で 48 倍の高速化倍率を得ることはかなりの高速化が達成されたと考えてよい。

一方、プログラムチューニングを行っても高速化倍率が 1 以下の改善されなかったプログラムのうち、2 本は  $V$  も  $\alpha$  も共に小さく、もう 1 本は  $V$  が小さいが  $\alpha$  は大きい。

これらのプログラムの有効利用のためには、多方面からの検討が必要であると考えられる。しかし、実行時間が数秒で終了する小規模ジョブであったり、数分程度の実行時間を必要とするが、実行される度合が少ない場合など、他に影響を及ぼす可能性の少ない場合には、それほど高速化の必

要性はないと考えられる。しかし、長時間ジョブの場合には高速化倍率が低くても絶対時間の短縮は大きい。このように、高速化の必要性は個々のプログラムの使われ方にも依存するが、大規模ジョブを何ケースも実行する場合が多い現在、プログラムの高速化は避けては通れない。

一般的に、プログラムの処理内容は前処理、数値計算および後処理の 3 つの部分に分けられるが、数値計算の処理に最も実行時間が費やされる。前後処理は入出力が多いが、実行時間は数値計算の処理に比べれば小さい。これらはプログラム構造を単純にする上からも分けた方が良い。本報告において高速化倍率の高いプログラムは前後処理は切り離されており、これからも、この分離傾向は強くなり、前後処理は TSS 処理となってゆくであろう。

また、汎用プログラムはどのような条件の場合でも計算可能にするため入力パラメータが多く、プログラム上ではそのための IF 判定が多くなり、プログラム構造が複雑になる。複雑なプログラムは高速化のためのチューニングにおいても手を入れにくいので、プログラム構造はできるだけ単純である方が良い。また、IF 文は他の演算命令に比較して実行時間がかかるので、DO ループ中での使用はできるだけ避けるべきである。このように、汎用プログラムであるからといって一つのプログラムで IF 文を多用した過度の汎用化は避けて数種のプログラムを作成して、IF 文を減らすことを考えることも必要である。

高速化のためのチューニング内容は回帰演算や配列の定義・参照の矛盾によりベクトル化されない部分をベクトル化されるようにチューニングしたものが多く、高速化の基本であるベクトル化の促進が行われている。そして、ベクトル化の促進のチューニング過程で効率的なベクトル化や省力化も合わせて配慮されている。また、汎用計算機にも有効な内容のチューニングもある。

VP 200/400 の実行時間の差が大きいベクトル化率の高い 3 次元のプログラム 2 本が、VP 400 の特徴を活かしたチューニングとなっている。

以上に述べたように、プログラムの高速実行は

既成の自動ベクトル化機能等を用いるだけでは得られない。ベクトル計算機を活かすようにプログラム設計やプログラム作成に工夫を必要とする。

既に作成されている汎用プログラムは手を入れて高速化するより方法がなく、その高速化倍率には本報告によって得られた率のように限度がある。したがって、これから作成されるプログラムは開発の段階でスーパーコンピュータを活用する設計および作成法を行うようにすべきである。本報告がそれに対して参考になれば幸いである。

最後に、汎用プログラムのチューニング作業を担当されたシステムズ・デザイン株式会社の山本秀秋氏、大興電子通信株式会社の出口良二氏、株式会社システム総合研究所の関光彦氏に感謝の意を表する。

## 参考文献

- 1) 渡辺 貢; スーパーコンピュータの高速化技術, 第3回航空機計算空気力学シンポジウム論文集, 1985年11月
- 2) 平栗俊男, 田畠 晃, 橋本隆光, 田口尚三; マシンサイクル7.5nsを達成した並列処理パイプライン処理方式のスーパーコンピュータ FACOM VP, 日経エレクトロニクス, 1983. 4. 11
- 3) The CRAY X-MP Series of Computer Systems, 日本クレイ株式会社パンフレット, 1987年10月
- 4) 8CPU構成で10GFLOPSの最大性能をもつスーパーコンピュータ ETA 10, 日経データプロ・EDP速報版, 1987年7月
- 5) 中村絹代, 吉田正廣, 峯尾真一; プログラム高速化技術とスーパーコンピュータ SX システムによる検証, 航空宇宙技術研究所報告 TR-909, 1986年7月
- 6) 吉田正廣, 中村絹代, 内田啓一郎, 棚倉由行; スーパーコンピュータ VP システムによるプログラムの高速化技術, 航空宇宙技術研究所報告 TR-915, 1986年10月

```

      :
      X1 = B (I+1, 1) - B (I-1, 1)
      X2 = B (I+1, 2) - B (I-1, 2)
      DO 100 J=2, N
      A1 = X1
      X1 = B (I+1, J+1) - B (I-1, J+1)
      C (J) = X1 - X2 + D (J+1) - D (J-1)
      X2 = A1
      CONTINUE
      :

```

図 4.1.1(a) A-1 変更前のプログラム

```

DIMENSION X1 (N), X2 (N)
      :
      X1 (1) = B (I+1, 1) - B (I-1, 1)
      X2 (1) = B (I+1, 2) - B (I-1, 2)
      DO 100 J=2, N
      A1 (J) = X1 (J-1)
      X1 (J) = B (I+1, J+1) - B (I-1, J+1)
      C (J) = X1 (J) - X2 (J-1) + D (J+1) - D (J-1)
      X2 (J) = A1 (J)
      CONTINUE
      :

```

図 4.1.1(b) A-1 変更後のプログラム

```

DO 100 I=1, N
      :
      CALL SUB (A, B)
      :
100  CONTINUE
      :

```

```

SUBROUTINE SUB (A, B)
A = B ** 2
RETURN
END

```

```

      ↓
DO 100 I=1, N
      :
      A = B ** 2
      :
100  CONTINUE

```

図 4.1.2 A-2 変更例

```

21 ND=NQ/K
  NS=NS*K
  NR=K
  IQ=0
  ID=0
  DO 22 I=1,NS
  DO 24 J=1,ND
    L=IQ+J
    LP=L+ND
    M=ID
    W=F(L)+F(LP)*CMPLX(CN(M+1),SN(M+1))
    IF(NR.EQ.2) GO TO 24
    L=LP
    DO 26 K=3,NR
      L=L+ND
      M=M+ID
      IF(M.GE.N) M=M-N
  26 W=W+F(L)*CMPLX(CN(M+1),SN(M+1))
  24 X(ID+J)=W
  ID=ID+ND
  IQ=IQ+NQ
  IF(IQ.GE.N) IQ=IQ-N
22 CONTINUE

```

図 4.3.1(a) C-1 変更前のプログラム

```

DO 22 I = 1, NS
  MMS = ND * ( I - 1 )
  LLS = MOD( NQ * ( I - 1 ) , N )
  II = ND * ( I - 1 )
  DO 22 J = 1, ND
    MM( II + J ) = MMS
    LL( II + J ) = LLS + J
22 CONTINUE
C
  DO 23 I = 1, NS * ND
    X( I ) = F( LL( I ) )
23 CONTINUE
C
  DO 24 K = 2, NR
    KND = ND * ( K - 1 )
    DO 24 I = 1, NS*ND
      MMS = MOD( MM(I)*(K-1), N ) + 1
      X(I) = X(I) + F( LL(I)+KND ) * CMPLX( CN(MMS), SN(MMS) )
24 CONTINUE

```

} インデックスの計算

} インデックス化したループ

} インデックス化したループ

図 4.3.1(b) C-1 変更後のプログラム

```

C      SOLVE THE TRIDIAGONAL SYSTEM
IF(IXX,EQ,0) GO TO 80
V      DO 70 L=2,N
V      A(L-1)=A(L)
V      B(L-1)=B(L)
V      C(L-1)=C(L)
V      D(L-1)=D(L)
V      E(L-1)=E(L)
V      RP(L-1)=RP(L)
V      70 CONTINUE
V      NN=N
V      N=N-1
80 CONTINUE
CV
XX=1./A(1)
RP(1)=E(1)
E(1)=XX*D(1)
C DO ELIMINATION
S      DO 110 J=2,N
S      C(J-1)=C(J-1)*XX
S      XX=1./(A(J)-B(J)*C(J-1))
S      RP(J)=E(J)
S      110 E(J)=(D(J)-B(J)*E(J-1))/XX
C DO BACK SUBSTITUTION
EMX=ABS(E(N))
M      DO 20 J=2,N
M      L=NN-J
S      E(L)=E(L)-C(L)*E(L+1)
V      20 EMX=AMAX1(EMX,ABS(E(L)))
C FIND THE LOCATION OF THE MAXIMUM RESIDUAL
CXX IF(EMX,LE,ABS(YR)) RETURN
CXX IF(EMX,GT,ABS(YR)) THEN
IK=1
V      DO 770 J=1,N
V      IF(ABS(E(J)),EQ,EMX) GO TO 74
V      770 CONTINUE
74 JK=J
YR=E(JK)
CXX RETURN
CXX END
ENDIF
IF(IXX,EQ,0) RETURN
N=NN
NN=NN+1
V      DO 90 L=2,N
V      J=NN-L+1
V      A(J)=A(J-1)
V      B(J)=B(J-1)
V      C(J)=C(J-1)
V      D(J)=D(J-1)
V      E(J)=E(J-1)
V      RP(J)=RP(J-1)
V      90 CONTINUE

```

置き換え

2~N,	N
↓	↓
1~N-1	N-1

TRIDの処理

2~N

(サブルーチン展開部)

置き換え

1~N-1,	N
↓	↓
2~N,	N+1

図 4.3.2(a) C-2 変更前のプログラム

```

CXX 1. SOLVE_N_DIMENSIONAL_TRIDIAGONAL_SYSTEM_OF_EQUATIONS
CV
  IF( IX .EQ. 0 ) THEN
  CV
    XX=1./A(1)
    RP(1)=E(1)
    E(1)=XX*D(1)
    C DO ELIMINATION
    S DO 110 J=2,N
    S   C(J-1)=C(J-1)*XX
    S   XX=1./(A(J)-B(J)*C(J-1))
    S   RP(J)=E(J)
    S 110 E(J)=(D(J)-B(J)*E(J-1))*XX
    C DO BACK SUBSTITUTION
    EMX=ABS(E(N))
    M DO 20 J=2,N
    L=NN-J
    S   E(L)=E(L)-C(L)*E(L+1)
    V 20 EMX=AMAX1(EMX,ABS(E(L)))
    C FIND THE LOCATION OF THE MAXIMUM RESIDUAL
    CXX IF(EMX.LE.ABS(YR)) RETURN
    IF(EMX.GT.ABS(YR)) THEN
      IK=1
    V DO 770 J=1,N
    V IF(ABS(E(J)).EQ.EMX) GO TO 74
    V 770 CONTINUE
    74 JK=J
    YR=E(JK)
    CXX RETURN
    CXX END
    ENDIF
  CV
  ELSE
  CV
    XX=1./A(2)
    RP(2)=E(2)
    E(2)=XX*D(2)
    C DO ELIMINATION
    S DO 111 J=3,N
    S   C(J-1)=C(J-1)*XX
    S   XX=1./(A(J)-B(J)*C(J-1))
    S   RP(J)=E(J)
    S 111 E(J)=(D(J)-B(J)*E(J-1))*XX
    C DO BACK SUBSTITUTION
    EMX=ABS(E(N-1))
    M DO 21 J=2,N-1
    L=NN-J
    S   E(L)=E(L)-C(L)*E(L+1)
    V 21 EMX=AMAX1(EMX,ABS(E(L)))
    C FIND THE LOCATION OF THE MAXIMUM RESIDUAL
    CXX IF(EMX.LE.ABS(YR)) RETURN
    IF(EMX.GT.ABS(YR)) THEN
      IK=1
    V DO 771 J=2,N
    V IF(ABS(E(J)).EQ.EMX) GO TO 75
    V 771 CONTINUE
    75 JK=J-1
    YR=E(J)
    CXX RETURN
    CXX END
    ENDIF
  CX
  ENDIF
  CX

```

'TRID' の処理  
2~N

'TRID' の処理  
3~N

図 4.3.2(b) C-2 変更後のプログラム

```

CJ02 = Y(JUP) / (Y(JUP) - Y(JLOW))
DO 10 I = IMIN , IMAX
WPX1 = PX(I , JLOW)
WPX2 = PX(I , JLOW-1)
WPX3 = PX(I , JUP)
WPX4 = PX(I , JUP+1)
UL = CJLOW * WPX1 - CJLOW1 * WPX2

```

図 4.4.1(a) D-1 変更前のプログラム

```

CJ02 = Y(JUP) / (Y(JUP) - Y(JLOW))
*VNCL LOOP,NOVREC
DO 10 I = IMIN , IMAX
WPX1 = PXC(JLOW , I)
WPX2 = PXC(JLOW-1 , I)
WPX3 = PXC(JUP , I)
WPX4 = PXC(JUP+1 , I)
UL = CJLOW * WPX1 - CJLOW1 * WPX2

```

図 4.4.1(b) D-1 変更後のプログラム

```

REAL FUNCTION PX * 4 (I,J)
C
C *** REAL FUNCTION PX * 8 (I,J)
C
C      FUNCTION PX COMPUTES U = DP/DX AT POINT I,J
C      CALLED BY - CDCOLE, DRAG, FINDSK, MACHMP, MILINE,
C                  NEWISK, PRINT1, PRTFLD, PRTWAL , PLWALL
C
C      GENERIC
COMMON          P(102,101) , X(100) , Y(100)
COMMON / COM1/ IMIN      , IMAX      , IUP      , IDOWN    , ILE      ,
1           ITE       , JMIN      , JMAX      , JUP      , JLOW      ,
2           JTOP      , JBUT
COMMON / COM5/ XDIFF(100) , YDIFF(100)
C
C                      TEST TO LOCATE END POINTS
IF(I .EQ. IMIN) GO TO 10
IF(I .EQ. IMAX) GO TO 20
C
C                      INTERIOR MESH POINT
PJI = P(J,I)
PX = .5 * (XDIFF(I+1) * (P(J , I+1) - PJI) +
*                   + XDIFF(I) * (PJI - P(J , I-1)))
RETURN
10 CONTINUE
C
C                      UPSTREAM BOUNDARY
PX = 1.5 * XDIFF(I+1) * (P(J , I+1) - P(J , I)) -
1   0.5 * XDIFF(I+2) * (P(J , I+2) - P(J , I+1))
RETURN
20 CONTINUE
C
C                      DOWNSTREAM BOUNDARY
PX = 1.5 * XDIFF(I) * (P(J , I) - P(J , I-1))
1   -0.5 * XDIFF(I-1) * (P(J , I-1) - P(J , I-2))
RETURN
END

```

図 4.4.1(c) D-1 変更前の関数 PX

```

SUBROUTINE PXC0M
CV
CV
CV
COMMON      P(102,101), X(100), Y(100)
COMMON / COM1/ IMIN   , IMAx   , IUP   , IDOWN  , ILE   ,
1          ITE    , JMIN   , JMAX   , JUP    , JLOW  ,
2          JT0P   , JB0T
COMMON / COM5/ XDIFF(100), YDIFF(100)
COMMON / VPPX/ PXC(102,101)
C
C                                     IMIN < I < IMAx   POINT
S  DO 10 I = IMIN+1 , IMAx-1
V    DO 20 J = 1 , 102
V      PXC(J,I) = .5 * ( XDIFF(I+1) * (P(J,I+1) - P(J,I))
*                               + XDIFF(I) * (P(J,I) - P(J,I-1)) )
V 20    CONTINUE
S 10    CONTINUE
C                                     I = IMIN   POINT
V    I = IMIN
DO 30 J = 1 , 102
V      PXC(J,I) = 1.5 * XDIFF(I+1) * ( P(J,I+1) - P(J,I) )
*                               - 0.5 * XDIFF(I+2) * ( P(J,I+2) - P(J,I+1) )
V 30    CONTINUE
C                                     I = IMAx   POINT
V    I = IMAx
DO 40 J = 1 , 102
V      PXC(J,I) = 1.5 * XDIFF(I) * ( P(J,I) - P(J,I-1) )
*                               - 0.5 * XDIFF(I-1) * ( P(J,I-1) - P(J,I-2) )
V 40    CONTINUE
RETURN
END

```

図 4.4.1(d) D-1 変更後の新サブルーチン PXC0M

```

*VOCL LOOP,NOVREC
M      DO 10 I = IMIN, IMAX
V      WPX1 = PXC(JLOW , I)
V      WPX2 = PXC(JLOW-1 , I)
V      WPX3 = PXC(JUP , I)
V      WPX4 = PXC(JUP+1 , I)
V      UL = CJLOW * WPX1 - CJLOW1 * WPX2
V      IF(I .GT. ITE) UL=CJ01 * WPX3 + CJ02 * WPX1
V      IF(I .LT. ILE) UL=CJ01 * WPX3 + CJ02 * WPX1
V      CPL(I) = -2.0 * UL * CPFFACT
C      EM1L(I) = EMACH1(UL)
V      AK1 = AK - GAM1 * UL
V      IF(.NOT.PHYS) EM1L(I) = AK1
V      IF(PHYS) THEN
V          ARG = DELRT2 * AK1
V          IF(SIMDEF .EQ. 2) ARG = ARG * EMROOT * EMROOT
V          IF(SIMDEF .EQ. 3) ARG = ARG * EMACH
V          ARG = 1. -ARG
V          EM1L(I) = 0.
V          IF(ARG .GT. 0.) EM1L(I) = SQRT(ARG)
ENDIF
C
M      IF (EM1L(I) .GT. 1.3) IEM = 1
V      UU = CJUP*WPX3 - CJUP1*WPX4
V      IF (I .GT. ITE) UU = UL
V      IF (I .LT. ILE) UU = UL
V      CPU(I) = -2.0 * UU * CPFFACT
C      EM1U(I) = EMACH1(UU)
V      AK1 = AK - GAM1 * UU
V      IF(.NOT.PHYS) EM1U(I) = AK1
V      IF(PHYS) THEN
V          ARG = DELRT2 * AK1
V          IF(SIMDEF .EQ. 2) ARG = ARG * EMROOT * EMROOT
V          IF(SIMDEF .EQ. 3) ARG = ARG * EMACH
V          ARG = 1. -ARG
V          EM1U(I) = 0.
V          IF(ARG .GT. 0.) EM1U(I) = SQRT(ARG)
ENDIF
C
M      IF (EM1U(I) .GT. 1.3) IEM = 1
V      CPMAX = MAX(CPMAX , CPU(I) , CPL(I))
V      CPMIN = MIN(CPMIN , CPU(I) , CPL(I))
V      10 CONTINUE
CPLARG = MAX(CPMAX , ABS(CPMIN))
UNPCOL = CPLARG / 29.

```

図 4.4.2(a) D-2 変更前のプログラム

```

*YUCL_LOOP, NOVREC
V DO 10 I = IMIN , IMAX
V   WPX1 = PXC(JLOW , I)
V   WPX2 = PXC(JLOW-1 , I)
V   WPX3 = PXC(JUP , I)
V   WPX4 = PXC(JUP+1 , I)
V   UL = CJLOW + WPX1 - CJLOW1 + WPX2
V   UU = CJUP + WPX3 - CJUP1 + WPX4
V   IF(I .GT. ITE .OR. I .LT. ILE) THEN
V     UL = CJ01 + WPX3 + CJ02 + WPX1
V     UU = UL
V   ENDIF
V   CPL(I) = -2.0 * UL * CPFACT
V   CPU(I) = -2.0 * UU * CPFACT
CV   EM1L(I) = EMACH1(UL)
CV   EM1U(I) = EMACH1(UU)
V   AK1UL = AK - GAM1 * UL
V   AK1UU = AK - GAM1 * UU
V   IF(.NOT.PHYS) THEN
V     EM1L(I) = AK1UL
V     EM1U(I) = AK1UU
V   ENDIF
V   IF(PHYS) THEN
V     ARGUL = DELRT2 * AK1UL
V     ARGUU = DELRT2 * AK1UU
V     IF(SIMDEF .EQ. 2) THEN
V       ARGUL = ARGUL + EMROUT + EMROUT
V       ARGUU = ARGUU + EMROUT + EMROUT
V     ENDIF
V     IF(SIMDEF .EQ. 3) THEN
V       ARGUL = ARGUL + EMACH
V       ARGUU = ARGUU + EMACH
V     ENDIF
V     ARGUL = 1. - ARGUL
V     ARGUU = 1. - ARGUU
V     EM1L(I) = 0.
V     EM1U(I) = 0.
V     IF(ARGUL .GT. 0.) EM1L(I) = SQRT(ARGUL)
V     IF(ARGUU .GT. 0.) EM1U(I) = SQRT(ARGUU)
V   ENDIF
C
V   CPMAX = MAX(CPMAX , CPU(I) , CPL(I))
V   CPMIN = MIN(CPMIN , CPU(I) , CPL(I))
V   10 CONTINUE
CV
IENX = 0
V   DO 20 I = IMIN , IMAX
V     IF(EM1L(I) .GT. 1.3) IENX = IENX + 1
V   20 CONTINUE
V   DO 21 I = IMIN , IMAX
V     IF(EM1U(I) .GT. 1.3) IENX = IENX + 1
V   21 CONTINUE
V     IF(IENX .GT. 0) IEN = 1
C
CPLARG = MAX(CPMAX , ABS(CPMIN))
UNPCOL = CPLARG / 29.

```

(e)
(f)

図4.4.2(b) D-2 変更後のプログラム

```

DO 14 I = ILE, ITE
WPX1 = PX(I, JLLOW)
WPX2 = PX(I, JLLOW-1)
UL = CJLOW * WPX1 - CJLOW1 * WPX2
CPOLD = CPL(I)
CPL(I) = -2.0 * UL * CPFACT
CPERR = ABS(CPL(I) - CPOLD)
IF (CPERR .LE. CMAXL) GO TO 12
CPMAXL = CPERR
IERRL = 1
12 WPX3 = PX(I, JUP)
WPX4 = PX(I, JUP+1)
UU = CJUP * WPX3 - CJUP1 * WPX4
CPOLD = CPU(I)
CPU(I) = -2.0 * UU * CPFACT
CPERR = ABS(CPU(I) - CPOLD)
IF (CPERR .LE. CMAXU) GO TO 14
CPMAXU = CPERR
IERRU = 1
14 CONTINUE

```

(a)

(b)

図 4.4.3(a) D-3 変更前のプログラム

```

CV
      IF (ILE.EQ.IMIN.OR. ITE.EQ.IMAX) GO TO 20
CV
V   DO 14 I = ILE, ITE
CV   WPX1 = PX(I, JLLOW)
CV   WPX2 = PX(I, JLLOW-1)
CV   WPX3 = PX(I, JUP)
CV   WPX4 = PX(I, JUP+1)
V   WPX1 = .5 * ( XDIFF(I+1) * (P(JLOW,I+1) - P(JLOW,I))
V   * + XDIFF(I) * (P(JLOW,I) - P(JLOW,I-1)) ) P
V   WPX2 = .5 * ( XDIFF(I+1) * (P(JLOW-1,I+1) - P(JLOW-1,I)) )
V   * + XDIFF(I) * (P(JLOW-1,I) - P(JLOW-1,I-1)) ) X
V   WPX3 = .5 * ( XDIFF(I+1) * (P(JUP,I+1) - P(JUP,I))
V   * + XDIFF(I) * (P(JUP,I) - P(JUP,I-1)) ) 展
V   WPX4 = .5 * ( XDIFF(I+1) * (P(JUP+1,I+1) - P(JUP+1,I))
V   * + XDIFF(I) * (P(JUP+1,I) - P(JUP+1,I-1)) ) 開
C
V   UL = CJLOW * WPX1 - CJLOW1 * WPX2
V   CPOLD = CPL(I)
V   CPL(I) = -2.0 * UL * CPFACT
V   CPERR = ABS(CPL(I) - CPOLD)
CV
V   IF (CPERR .GT. CMAXL) THEN
V       CMAXL = CPERR
V       IERRL = 1
ENDIF
C
V   UU = CJUP * WPX3 - CJUP1 * WPX4
V   CPOLD = CPU(I)
V   CPU(I) = -2.0 * UU * CPFACT
V   CPERR = ABS(CPU(I) - CPOLD)
CV
V   IF (CPERR .GT. CMAXU) THEN
V       CMAXU = CPERR
V       IERRU = 1
V   ENDIF
V   14 CONTINUE
GO TO 21
CV
20 CONTINUE

```

(c)

(d)

図 4.4.3(b)-1 D-3 変更後のプログラム

```

N      DO 15 I = ILE , ITE
CV     WPX1 = PX(I , JLLOW)
CV     WPX2 = PX(I , JLLOW-1)
CV     WPX3 = PX(I , JUP)
CV     WPX4 = PX(I , JUP+1)
V      IF (I.EQ.IMIN .AND. I.NE.IMAX) THEN
M      WPX1 = .5 * ( XDIFF(I+1) * (P(JLOW,I+1) - P(JLOW,I))
*           + XDIFF(I) * (P(JLOW,I) - P(JLOW,I-1)) )
M      WPX2 = .5 * ( XDIFF(I+1) * (P(JLOW-1,I+1) - P(JLOW-1,I))
*           + XDIFF(I) * (P(JLOW-1,I) - P(JLOW-1,I-1)) )
M      WPX3 = .5 * ( XDIFF(I+1) * (P(JUP,I+1) - P(JUP,I))
*           + XDIFF(I) * (P(JUP,I) - P(JUP,I-1)) )
M      WPX4 = .5 * ( XDIFF(I+1) * (P(JUP+1,I+1) - P(JUP+1,I))
*           + XDIFF(I) * (P(JUP+1,I) - P(JUP+1,I-1)) )
M      ENDIF
V      IF (I.EQ.IMIN) THEN
M      WPX1 = 1.5 * XDIFF(I+1) * (P(JLOW,I+1) - P(JLOW,I))
*           - 0.5 * XDIFF(I+2) * (P(JLOW,I+2) - P(JLOW,I+1))
M      WPX2 = 1.5 * XDIFF(I+1) * (P(JLOW-1,I+1) - P(JLOW-1,I))
*           - 0.5 * XDIFF(I+2) * (P(JLOW-1,I+2) - P(JLOW-1,I+1))
M      WPX3 = 1.5 * XDIFF(I+1) * (P(JUP,I+1) - P(JUP,I))
*           - 0.5 * XDIFF(I+2) * (P(JUP,I+2) - P(JUP,I+1))
M      WPX4 = 1.5 * XDIFF(I+1) * (P(JUP+1,I+1) - P(JUP+1,I))
*           - 0.5 * XDIFF(I+2) * (P(JUP+1,I+2) - P(JUP+1,I+1))
M      ENDIF
V      IF (I.EQ.1MAX) THEN
M      WPX1 = 1.5 * XDIFF(I) * (P(JLOW,I) - P(JLOW,I-1))
*           - 0.5 * XDIFF(I-1) * (P(JLOW,I-1) - P(JLOW,I-2))
M      WPX2 = 1.5 * XDIFF(I) * (P(JLOW-1,I) - P(JLOW-1,I-1))
*           - 0.5 * XDIFF(I-1) * (P(JLOW-1,I-1) - P(JLOW-1,I-2))
M      WPX3 = 1.5 * XDIFF(I) * (P(JUP,I) - P(JUP,I-1))
*           - 0.5 * XDIFF(I-1) * (P(JUP,I-1) - P(JUP,I-2))
M      WPX4 = 1.5 * XDIFF(I) * (P(JUP+1,I) - P(JUP+1,I-1))
*           - 0.5 * XDIFF(I-1) * (P(JUP+1,I-1) - P(JUP+1,I-2))
M      ENDIF
C
M      UL    = CJLOW * WPX1 - CJLOW1 * WPX2
V      CPOLD = CPL(I)
V      CPL(I) = -2.0 * UL * CPFACT
V      CPERR = ABS(CPL(I) - CPOLD)
CV
V      IF (CPERR.GT.CPMAXL) THEN
V          CPHAXL = CPERR
V          IERRL = I
ENDIF
C
M      UU    = CJUP * WPX3 - CJUP1 * WPX4
V      CPULD = CPU(I)
V      CPU(I) = -2.0 * UU * CPFACT
V      CPERR = ABS(CPU(I) - CPULD)
CV
V      IF (CPERR.GT.CPMAXU) THEN
V          CPHAXU = CPERR
V          IERRU = I
V      ENDIF
V      15 CONTINUE
CV
21 CONTINUE
C

```

P  
X を 展 開  
(f)

図 4.4.3(b)-2 D-3 変更後のプログラム

```

S      IF ( .NOT. OUTERR) GO TO 110
S      DO 100 J=JBOT,JTOP
S          ARHS = ABS(RHS(J))
S          IF (ARHS .GT. BIGRL) GO TO 90
S          GO TO 100
S  90 CONTINUE
S          BIGRL = ARHS
S          IRL = I
S          JRL = J
100 CONTINUE
110 CONTINUE

```

図 4.4.4(a) D-4 変更前のプログラム

```

S      IF ( .NOT. OUTERR) GO TO 110
CV
V      DO 100 J=JBOT,JTOP
V          ARHS = ABS(RHS(J))
V          IF (ARHS .GT. BIGRL) THEN
V              BIGRL = ARHS
V              IRL = I
V              JRL = J
V          ENDIF
V      100 CONTINUE
110 CONTINUE

```

図 4.4.4(b) D-4 変更後のプログラム

```

S      DO 10 J = JBOT , JTOP
S          VC(J) = C1(I) - (CXL(I) * POLD(J , I2) + CXC(I) * P(J , I))
S          1           + CXR(I) * P(J , I+1)
S          EMU(J , I1) = 0.0
S          POLD(J , I1) = P(J , I)
S  10 CONTINUE
S      DO 20 J = JBOT , JTOP
S          IF (VC(J) .LT. 0.0) EMU(J , I1) = VC(J)
S  20 CONTINUE
S          IF (FCR ) GO TO 22
S      DO 21 J = JBOT , JTOP
S          EMU(J , I2) = EMU(J , I1)
S  21 CONTINUE
S  22 CONTINUE
C
C          COMPUTE ELEMENTS OF MATRIX
C
S      DO 30 J = JBOT , JTOP
S          DIAG(J) = (EMU(J , I1) - VC(J)) * CXXC(I) * WI
S          1           + EMU(J , I2) * CXXR(I-1) - CYYC(J)
S          SUP(J) = CYYD(J)
S          SUB(J) = CYYU(J)
S  30 CONTINUE

```

(a)

(b)

(c)

```

C
C          COMPUTE RESIDUAL
C
S      DO 40 J = JBOT , JTOP
S          RHS(J) = -(VC(J) - EMU(J , I1)) +
S          1           (CXXL(I)*P(J,I-1) - CXXC(I)*P(J,I) + CXXR(I)*P(J,I+1))
S  40 CONTINUE
M      DO 50 J = JBOT , JTOP
M          RHS(J) = RHS(J) - (EMU(J , I2) * (CXXL(I-1) * P(J , IM2)
M          1           - CXXC(I-1)*P(J,I-1) + CXXR(I-1)*P(J,I)))
S  50 CONTINUE
S          JA = JBOT + 1
S          JR = JTOP - 1
V          DO 60 J = JA , JB
V          RHS(J) = RHS(J) - (CYYD(J) * P(J-1 , I) - CYYC(J) * P(J , I)
V          1           + CYYU(J) * P(J+1 , I))
V  60 CONTINUE
S          RHS(JBOT) = RHS(JBOT) - (-CYYC(JBOT) * P(JBOT , I)
S          1           + CYYU(JBOT) * P(JBOT+1 , I))
S          IF (JBOT .EQ. JMIN) GO TO 61
S          RHS(JBOT) = RHS(JBOT) - CYYD(JBOT) * P(JBOT-1 , I)
S  61 CONTINUE
S          RHS(JTOP) = RHS(JTOP) - (CYYD(JTOP) * P(JTOP-1 , I)
S          1           - CYYC(JTOP) * P(JTOP , I))
S          IF (JTOP .EQ. JMAX) GO TO 62
S          RHS(JTOP) = RHS(JTOP) - CYYU(JTOP) * P(JTOP+1 , I)
S  62 CONTINUE

```

(d)

(e)

図 4.4.5(a) D-5 変更前のプログラム

```

S      DO 10 J = JBOT , JTOP
S      VC(J) = C1(I) - (CXL(I) * POLD(J , I2) + CXC(I) * P(J , I)
S           + CXR(I) * P(J , I+1))
S      EMU(J , I1) = 0.0
S      POLD(J , I1) = P(J , I)
S      IF (VC(J) .LT. 0.0) EMU(J , I1) = VC(J)
S      10 CONTINUE
C
S      IF ( FCR ) GO TO 22
S      DO 21 J = JBOT , JTOP
S      EMU(J , I2) = EMU(J , I1)
S      21 CONTINUE
S      22 CONTINUE
C
C          COMPUTE ELEMENTS OF MATRIX
C
C          COMPUTE RESIDUAL
CV
S      DO 30 J = JBOT , JTOP
S      DIAG(J) = (EMU(J , I1) - VC(J)) * CXXC(I) * WI
S           + EMU(J , I2) * CXXR(I-1) - CYYC(J)
S           1
S      SUP(J) = CYYD(J)
S      SUB(J) = CYYU(J)
S      RHSXJX = -(VC(J) - EMU(J , I1)) *
S           1
S           (CXXL(I)*P(J,I-1) - CXXC(I)*P(J,I) + CXXR(I)*P(J,I+1))
S      RHS(J) = RHSXJX - (EMU(J , I2) * (CXXL(I-1) * P(J , IM2)
S           1
S           - CXXC(I-1)*P(J,I-1) + CXXR(I-1)*P(J,I)))
S      30 CONTINUE
C
S      JA = JBOT + 1
S      JB = JTOP - 1
V      DO 60 J = JA , JB
V      RHS(J) = RHS(J) - (CYYD(J) * P(J-1 , I) - CYYC(J) * P(J , I)
V           1
V           + CYYU(J) * P(J+1 , I))
V      60 CONTINUE
S      RHS(JBOT) = RHS(JBOT) - (-CYYC(JBOT) * P(JBOT , I)
S           1
S           + CYYU(JBOT) * P(JBOT+1 , I))
S      IF (JBOT .EQ. JMIN) GO TO 61
S      RHS(JBOT) = RHS(JBOT) - CYYD(JBOT) * P(JBOT-1 , I)
S      61 CONTINUE
S      RHS(JTOP) = RHS(JTOP) - (CYYD(JTOP) * P(JTOP-1 , I)
S           1
S           - CYYC(JTOP) * P(JTOP , I))
S      IF (JTOP .EQ. JMAX) GO TO 62
S      RHS(JTOP) = RHS(JTOP) - CYYU(JTOP) * P(JTOP+1 , I)
S      62 CONTINUE

```

図 4.4.5(b) D-5 変更後のプログラム

```

K = JMIN - KSTEP
DO 10 J = JMIN , JMAX
K = K + KSTEP
IF (J .EQ. JUP) K = K + KSTEP - 1
P(J , IMIN) = CIRCF * VUP(K) + DUB * DUP(K)
P(J , IMAX) = CIRCF * VDOWN(K) + DUB * DDOWN(K)
10 CONTINUE
IF(BCTYPE .NE. 1) GO TO 25
C UPDATE BOUNDARY CONDITIONS ON TOP AND BOTTOM
K = IMIN - KSTEP
DO 20 I = IMIN , IMAX
K = K + KSTEP
P(JMIN , I) = CIRCF * VBOT(K) + DUB * DBOT(K)
P(JMAX , I) = CIRCF * VTOP(K) + DUB * DTOP(K)
20 CONTINUE
25 RETURN
END

```

図 4.4.6(a) D-6 変更前のプログラム

```

K = JMIN - KSTEP
CV
DO 10 J = JMIN , JUP-1
K = K + KSTEP
P(J , IMIN) = CIRCF * VUP(K) + DUB * DUP(K)
P(J , IMAX) = CIRCF * VDOWN(K) + DUB * DDOWN(K)
10 CONTINUE
K = K + KSTEP - 1
DO 15 J = JUP , JMAX
K = K + KSTEP
P(J , IMIN) = CIRCF * VUP(K) + DUB * DUP(K)
P(J , IMAX) = CIRCF * VDOWN(K) + DUB * DDOWN(K)
15 CONTINUE
C
IF(BCTYPE .NE. 1) GO TO 25
C UPDATE BOUNDARY CONDITIONS ON TOP AND BOTTOM
K = IMIN - KSTEP
DO 20 I = IMIN , IMAX
K = K + KSTEP
P(JMIN , I) = CIRCF * VBOT(K) + DUB * DBOT(K)
P(JMAX , I) = CIRCF * VTOP(K) + DUB * DTOP(K)
20 CONTINUE
25 RETURN
END

```

図 4.4.6(b) D-6 変更後のプログラム

## SUBROUTINE SYOR

```

C
C          SYOR COMPUTES NEW P AT ALL MESH POINTS.
C          CALLED BY - SOLVE.
CV  GENERIC
COMMON      P(102,101) , X(100) , Y(100)
COMMON / CUM1/ IMIN   , IMAX   , IUP   , IDOWN   , ILE
           JIE   , JMIN   , JMAX   , JUP   , JLLOW   ,
1           JTOP   , JBOT
2
}

```

```

CV
S  DO 10 J = JBOT , JT0P
S    VC(J) = C1(I) - (CXL(I) * P0LD(J , I2) + CXC(I) * P(J , I))
1           + CXR(I) * P(J , I+1)
S    EMU(J , I1) = 0.0
S    P0LD(J , I1) = P(J , I)
S    IF (VC(J) .LT. 0.0) EMU(J , I1) = VC(J)
S  10 CONTINUE
C
S    IF (FCR) GO TO 22
S  DO 21 J = JBOT , JT0P
S    EMU(J , I2) = EMU(J , I1)
S  21 CONTINUE
22 CONTINUE
C
C          COMPUTE ELEMENTS OF MATRIX
C
C          COMPUTE RESIDUAL
CV
S  DO 30 J = JBOT , JT0P
S    DIAG(J) = (EMU(J , I1) - VCS(J)) * CXXC(I) * WJ
1           + EMU(J , I2) * CXXR(I-1) - CYYC(J)
S    SUP(J) = CYYD(J)
S    SUB(J) = CYYU(J)
RHSXJX = -(VCC(J) - EMU(J , I1)) *
1           (CXXL(I)*P(J,I-1) - CXXC(I)*P(J,I) + CXXR(I)*P(J,I+1))
RHS(J) = RHSXJX - (EMU(J , I2) * (CXXL(J-1)*P(J , I-1)
1           - CXXC(I-1)*P(J , I-1) + CXXR(I-1)*P(J , I)))
30 CONTINUE
C
S    JA = JBOT + 1
S    JB = JT0P - 1
V  DO 60 J = JA , JB
V    RHS(J) = RHS(J) - (CYYD(J) * P(J-1 , I) - CYYC(J) * P(J , I)
1           + CYYU(J) * P(J+1 , I))
V  60 CONTINUE
S    RHS(JBOT) = RHS(JBOT) - (-CYYC(JBOT) * P(JBOT , I)
1           + CYYU(JBOT) * P(JBOT+1 , I))
S    IF (JBOT .EQ. JMIN) GO TO 61
S    RHS(JBOT) = RHS(JBOT) - CYYD(JBOT) * P(JBOT-1 , I)
61 CONTINUE
S    RHS(JTOP) = RHS(JTOP) - (CYYD(JTOP) * P(JTOP-1 , I)
1           - CYYC(JTOP) * P(JTOP , I))
S    IF (JTOP .EQ. JMAX) GO TO 62
S    RHS(JTOP) = RHS(JTOP) - CYYU(JTOP) * P(JTOP+1 , I)
62 CONTINUE

```

(a)

(b)

(c)

(d)

図 4.4.7(a) D-7 変更前のプログラム

## SUBROUTINE SYOR

C  
C  
C  
CV      SUBROUTINE SYOR COMPUTES NEW P AT ALL MESH POINTS.  
CALLED BY - SOLVE.

C  
C  
C  
CV      GENERIC  
COMMON / CUMIN / P(0:103,101), X(100), Y(100)  
1      IMIN, IMAX, IUP, IDOWN, ILE  
2      ITE, JMIN, JMAX, JUP, JLON  
JTOP, JBOT

}

S      IF ( FCR ) THEN

(e)

S      DO 10 J = JBOT, JTOP

S      VC(J) = C1(I) - (CXL(I) \* PULD(J, I2) + CXCC(I) \* P(J, I))  
1      + CXRC(I) \* P(J, I+1))

S      EMU(J, I1) = 0.0

S      PULD(J, I1) = P(J, I)

S      IF (VC(J) .LT. 0.0) EMU(J, I1) = VC(J)

S      DIAG(J) = (EMU(J, I1) - VC(J)) \* WIV

1      + EMU(J, I2) \* CXRC(I-1) - CYYC(J)

SUP(J) = CYYD(J)

SUB(J) = CYYU(J)

RHSXJX = -(VC(J) - EMU(J, I1)) \*

1      (CXXL(I)\*P(J, I-1) - CXAC(I)\*P(J, I) + CXXR(I)\*P(J, I+1))

RHSXJX = RHSXJX - (EMU(J, I2) \* (CXXL(I-1) \* P(J, IM2)

1      - CXAC(I-1)\*P(J, I-1) + CXXR(I-1)\*P(J, I)))

RHS(J) = RHSXJX - (CYYD(J) \* P(J-1, I) - CYYC(J) \* P(J, I))

1      + CYYU(J) \* P(J+1, I))

10 CONTINUE

CV

S      ELSE

CV

S      DO 20 J = JBOT, JTOP

S      VC(J) = C1(I) - (CXL(I) \* PULD(J, I2) + CXCC(I) \* P(J, I))  
1      + CXRC(I) \* P(J, I+1))

S      EMU(J, I1) = 0.0

S      PULD(J, I1) = P(J, I)

S      IF (VC(J) .LT. 0.0) EMU(J, I1) = VC(J)

C

S      EMU(J, I2) = EMU(J, I1)

C

S      DIAG(J) = (EMU(J, I1) - VC(J)) \* WIV

1      + EMU(J, I2) \* CXRC(I-1) - CYYC(J)

SUP(J) = CYYD(J)

SUB(J) = CYYU(J)

RHSXJX = -(VC(J) - EMU(J, I1)) \*

1      (CXXL(I)\*P(J, I-1) - CXAC(I)\*P(J, I) + CXXR(I)\*P(J, I+1))

RHSXJX = RHSXJX - (EMU(J, I2) \* (CXXL(I-1) \* P(J, IM2)

1      - CXAC(I-1)\*P(J, I-1) + CXXR(I-1)\*P(J, I)))

RHS(J) = RHSXJX - (CYYD(J) \* P(J-1, I) - CYYC(J) \* P(J, I))

1      + CYYU(J) \* P(J+1, I))

20 CONTINUE

CV

ENDIF

図4.4.7(b) D-7 変更後のプログラム

```

M      DO 15 I = ILE , ITE
CV     WPX1 = PX(I , JLOW)
CV     WPX2 = PX(I , JLOW-1)
CV     WPX3 = PX(I , JUP)
CV     WPX4 = PX(I , JUP+1)
V      IF (I.NE.IMIN .AND. I.NE.IMAX) THEN
M        WPX1 = .5 * ( XDIFF(I+1) * (P(JLOW,I+1) - P(JLOW,I))
*          + XDIFF(I) * (P(JLOW,I) - P(JLOW,I-1)) )
M        WPX2 = .5 * ( XDIFF(I+1) * (P(JLOW-1,I+1) - P(JLOW-1,I))
*          + XDIFF(I) * (P(JLOW-1,I) - P(JLOW-1,I-1)) )
M        WPX3 = .5 * ( XDIFF(I+1) * (P(JUP,I+1) - P(JUP,I))
*          + XDIFF(I) * (P(JUP,I) - P(JUP,I-1)) )
M        WPX4 = .5 * ( XDIFF(I+1) * (P(JUP+1,I+1) - P(JUP+1,I))
*          + XDIFF(I) * (P(JUP+1,I) - P(JUP+1,I-1)) )
      ENDIF
V      IF (I.EQ.1MIN) THEN
M        WPX1 = 1.5 * XDIFF(I+1) * (P(JLOW,I+1) - P(JLOW,I))
*          - 0.5 * XDIFF(I+2) * (P(JLOW,I+2) - P(JLOW,I+1))
M        WPX2 = 1.5 * XDIFF(I+1) * (P(JLOW-1,I+1) - P(JLOW-1,I))
*          - 0.5 * XDIFF(I+2) * (P(JLOW-1,I+2) - P(JLOW-1,I+1))
M        WPX3 = 1.5 * XDIFF(I+1) * (P(JUP,I+1) - P(JUP,I))
*          - 0.5 * XDIFF(I+2) * (P(JUP,I+2) - P(JUP,I+1))
M        WPX4 = 1.5 * XDIFF(I+1) * (P(JUP+1,I+1) - P(JUP+1,I))
*          - 0.5 * XDIFF(I+2) * (P(JUP+1,I+2) - P(JUP+1,I+1))
      ENDIF
V      IF (I.EQ.1MAX) THEN
M        WPX1 = 1.5 * XDIFF(I) * (P(JLOW,I) - P(JLOW,I-1))
*          - 0.5 * XDIFF(I-1) * (P(JLOW,I-1) - P(JLOW,I-2))
M        WPX2 = 1.5 * XDIFF(I) * (P(JLOW-1,I) - P(JLOW-1,I-1))
*          - 0.5 * XDIFF(I-1) * (P(JLOW-1,I-1) - P(JLOW-1,I-2))
M        WPX3 = 1.5 * XDIFF(I) * (P(JUP,I) - P(JUP,I-1))
*          - 0.5 * XDIFF(I-1) * (P(JUP,I-1) - P(JUP,I-2))
M        WPX4 = 1.5 * XDIFF(I) * (P(JUP+1,I) - P(JUP+1,I-1))
*          - 0.5 * XDIFF(I-1) * (P(JUP+1,I-1) - P(JUP+1,I-2))
      ENDIF
C
M      UL    = CJLOW * WPX1 - CJLOW1 * WPX2
V      CPOLD = CPL(I)
V      CPL(I) = -2.0 * UL * CPFFACT
V      CPERR = ABS(CPL(I) - CPOLD)
CV
V      IF (CPERR .GT. CPMAXL) THEN
V        CPMAXL = CPERR
V        IERRL = I
      ENDIF
C
M      UU    = CJUP * WPX3 - CJUP1 * WPX4
V      CPOLD = CPU(I)
V      CPU(I) = -2.0 * UU * CPFFACT
V      CPERR = ABS(CPU(I) - CPOLD)
CV
V      IF (CPERR .GT. CPMAXU) THEN
V        CPMAXU = CPERR
V        IERRU = I
      ENDIF
V      15 CONTINUE

```

図 4.4.8(a) D-8 変更前のプログラム

```

V      DO 15 I = ILE , ITE
CV      WPX(I,1) = PX(I , JLOW)
CV      WPX(I,2) = PX(I , JLOW-1)
CV      WPX(I,3) = PX(I , JUP)
CV      WPX(I,4) = PX(I , JUP+1)
V      IF (I.NE.IMIN .AND. I.NE.IMAX) THEN
V          WPX(I,1) = .5 * ( XDIFF(I+1) * (P(JLOW,I+1) - P(JLOW,I))
*                      + XDIFF(I) * (P(JLOW,I) - P(JLOW,I-1)) )
V          WPX(I,2) = .5 * ( XDIFF(I+1) * (P(JLOW-1,I+1) - P(JLOW-1,I))
*                      + XDIFF(I) * (P(JLOW-1,I) - P(JLOW-1,I-1)) )
V          WPX(I,3) = .5 * ( XDIFF(I+1) * (P(JUP,I+1) - P(JUP,I))
*                      + XDIFF(I) * (P(JUP,I) - P(JUP,I-1)) )
V          WPX(I,4) = .5 * ( XDIFF(I+1) * (P(JUP+1,I+1) - P(JUP+1,I))
*                      + XDIFF(I) * (P(JUP+1,I) - P(JUP+1,I-1)) )
*          ENDIF
V          IF (I.EQ.1MIN) THEN
V              WPX(I,1) = 1.5 * XDIFF(I+1) * (P(JLOW,I+1) - P(JLOW,I))
*                  - 0.5 * XDIFF(I+2) * (P(JLOW,I+2) - P(JLOW,I+1))
V              WPX(I,2) = 1.5 * XDIFF(I+1) * (P(JLOW-1,I+1) - P(JLOW-1,I))
*                  - 0.5 * XDIFF(I+2) * (P(JLOW-1,I+2) - P(JLOW-1,I+1))
V              WPX(I,3) = 1.5 * XDIFF(I+1) * (P(JUP,I+1) - P(JUP,I))
*                  - 0.5 * XDIFF(I+2) * (P(JUP,I+2) - P(JUP,I+1))
V              WPX(I,4) = 1.5 * XDIFF(I+1) * (P(JUP+1,I+1) - P(JUP+1,I))
*                  - 0.5 * XDIFF(I+2) * (P(JUP+1,I+2) - P(JUP+1,I+1))
*          ENDIF
V          IF (I.EQ.1MAX) THEN
V              WPX(I,1) = 1.5 * XDIFF(I) * (P(JLOW,I) - P(JLOW,I-1))
*                  - 0.5 * XDIFF(I-1) * (P(JLOW,I-1) - P(JLOW,I-2))
V              WPX(I,2) = 1.5 * XDIFF(I) * (P(JLOW-1,I) - P(JLOW-1,I-1))
*                  - 0.5 * XDIFF(I-1) * (P(JLOW-1,I-1) - P(JLOW-1,I-2))
V              WPX(I,3) = 1.5 * XDIFF(I) * (P(JUP,I) - P(JUP,I-1))
*                  - 0.5 * XDIFF(I-1) * (P(JUP,I-1) - P(JUP,I-2))
V              WPX(I,4) = 1.5 * XDIFF(I) * (P(JUP+1,I) - P(JUP+1,I-1))
*                  - 0.5 * XDIFF(I-1) * (P(JUP+1,I-1) - P(JUP+1,I-2))
*          ENDIF
C
V          UL    = CJLOW * WPX(I,1) - CJLOW1 * WPX(I,2)
V          CPOLD = CPL(I)
V          CPL(I) = -2.0 * UL * CPFFACT
V          CPERR  = ABS(CPL(I) - CPOLD)
CV
V          IF (CPERR .GT. CPMAXL) THEN
V              CPMAXL = CPERR
V              IERRL  = !
ENDIF
C
V          UU    = CJUP * WPX(I,3) - CJUP1 * WPX(I,4)
V          CPOLD = CPU(I)
V          CPU(I) = -2.0 * UU * CPFFACT
V          CPERR  = ABS(CPU(I) - CPOLD)
CV
V          IF (CPERR .GT. CPMAXU) THEN
V              CPMAXU = CPERR
V              IERRU  = !
ENDIF
V      15 CONTINUE

```

図 4.4.8(b) D-8 変更後のプログラム

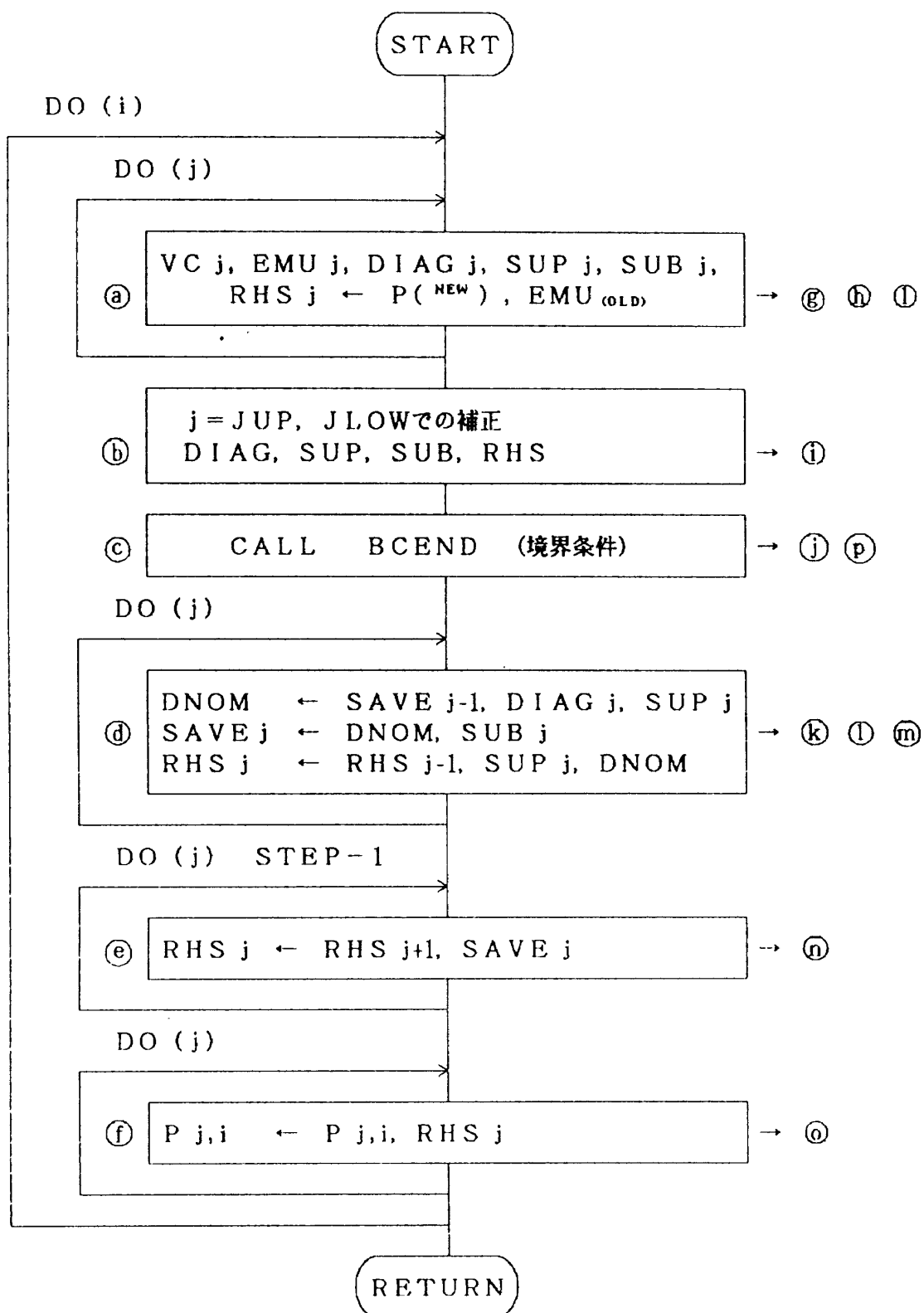


図 4.4.9(a) D-9 改造前の処理フロー

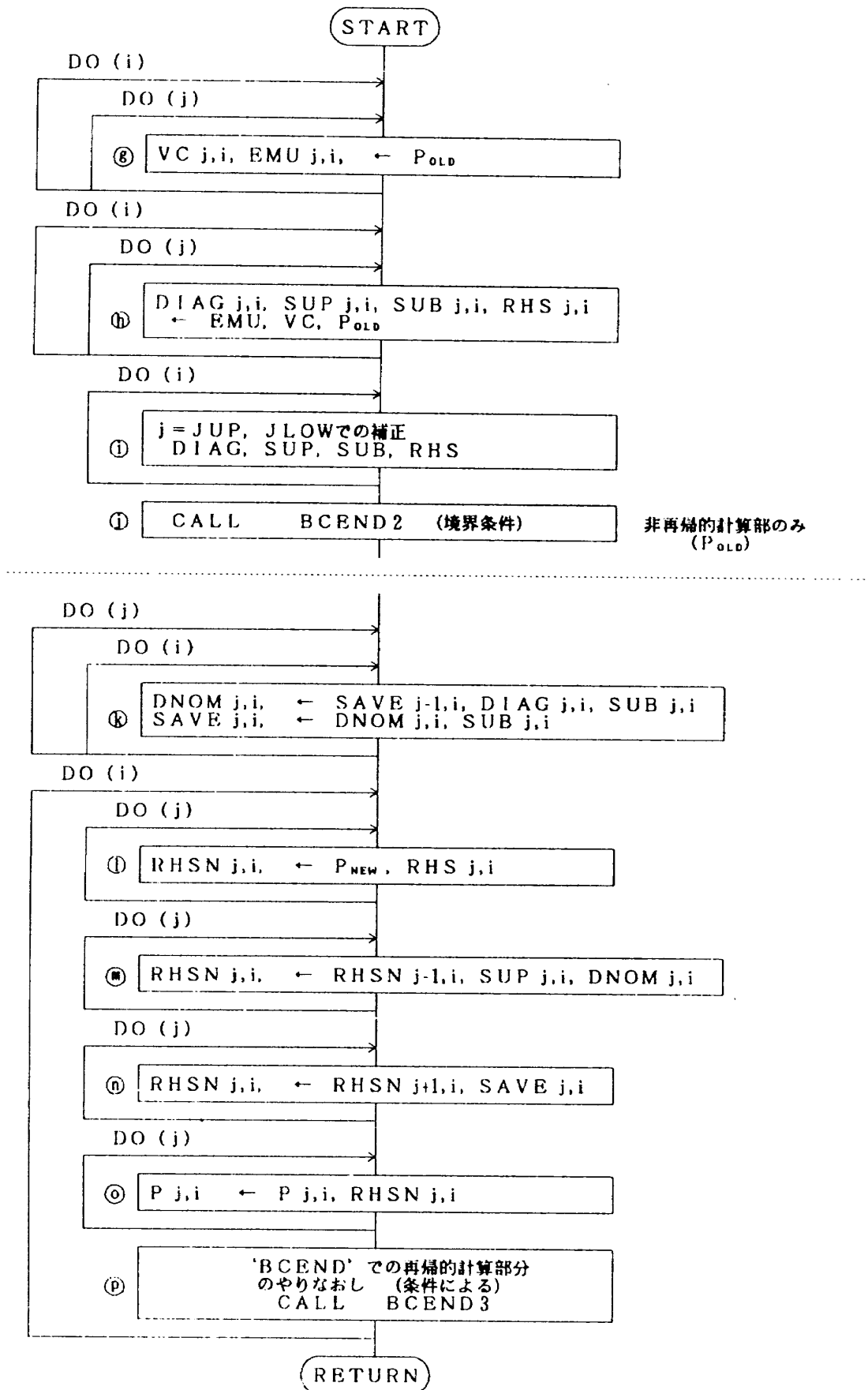


図 4.4.9(b) D-9 改造後の処理フロー

```

C
J      = JUP
S  DIAG(J) = DIAG(J) + CYYC(J) - CYYBUC
S  SUP(J)  = 0.0
S  SUB(J)  = CYYBUU
S  RHS(J)  = RHS(J) + CYYD(J) * P(J-1, I) - CYYC(J) * P(J, I)
1    + CYYU(J) * P(J+1, I)
2    - (-CYYBUC * P(J, I) + CYYBUU * P(J+1, I) + FXUBC(I))
J      = JLLOW
S  DIAG(J) = DIAG(J) + CYYC(J) - CYYBLC
S  SUP(J)  = CYYBLD
S  SUB(J)  = 0.0
S  RHS(J)  = RHS(J) + CYYD(J) * P(J-1, I)
1    - CYYC(J) * P(J, I) + CYYU(J) * P(J+1, I)
2    - (-CYYBLC * P(J, I) + CYYBLD * P(J-1, I) + FXLBC(I))
S  GO TO 80
C

```

図 4.4.10(a) D-9(I) 変更前のプログラム

```

V  C
  DO 1400 I = 1LE, 1TE
C
J      = JUP
V  DIAG( J, I ) = DIAG(J,I) + CYYC(J) - CYYBUC
V  SUP( J, I ) = 0.0
V  SUB( J, I ) = CYYBUU
V  RHS( J, I ) = RHS(J,I) + CYYD(J) * P(J-1,I) - CYYC(J) * P(J,I)
1    + CYYU(J) * P(J+1,I)
2    - (-CYYBUC * P(J,I) + CYYBUU * P(J+1,I) + FXUBC(I))
J      = JLLOW
V  DIAG( J, I ) = DIAG( J, I ) + CYYC(J) - CYYBLC
V  SUP( J, I ) = CYYBLD
V  SUB( J, I ) = 0.0
V  RHS( J, I ) = RHS(J,I) + CYYD(J) * P(J-1,I)
1    - CYYC(J) * P(J,I) + CYYU(J) * P(J+1,I)
2    - (-CYYBLC * P(J,I) + CYYBLD * P(J-1,I) + FXLBC(I))
C
V 1400 CONTINUE
C

```

図 4.4.10(b) D-9(I) 変更後のプログラム

```

C
C
H      DO 200 I = IUP, IDOWN
C
C          COMPUTE VC = 1 - H**2
C          COMPUTE ELEMENTS OF MATRIX
C          COMPUTE RESIDUAL
CV
S      WIV = CXXC(I) * WI
C
CV
S      IF ( FCR ) THEN
CV
S      DO 10 J = JBOT , JT0P
S          VC(J) = C1(I) - (CXL(I) * POLD(J , I2) + CXC(I) * P(J , I))
1          + CXR(I) * P(J , I+1)
S          EMU(J , I1) = 0.0
S          POLD(J , I1) = P(J , I)
S          IF (VC(J) .LT. 0.0) EMU(J , I1) = VC(J)
S          DIAG(J) = (EMU(J , I1) - VC(J)) * WIV
1          + EMU(J , I2) * CXXR(I-1) - CYYC(J)
S          SUP(J) = CYYD(J)
S          SUB(J) = CYYU(J)
RHSXJX = -(VC(J) - EMU(J , I1)) *
1          (CXXL(I)*P(J,I-1) - CXXC(I)*P(J,I) + CXXR(I)*P(J,I+1))
RHSXJX = RHSXJX - (EMU(J , I2) * (CXXL(I-1) * P(J , IH2)
1          - CXXC(I-1)*P(J,I-1) + CXXR(I-1)*P(J,I)))
RHS(J) = RHSXJX - (CYYD(J) * P(J-1 , I) - CYYC(J) * P(J , I)
1          + CYYU(J) * P(J+1 , I))
10 CONTINUE
CV
S      ELSE
CV
S      DO 20 J = JBOT , JT0P
S          VC(J) = C1(I) - (CXL(I) * POLD(J , I2) + CXC(I) * P(J , I))
1          + CXR(I) * P(J , I+1)
S          EMU(J , I1) = 0.0
S          POLD(J , I1) = P(J , I)
S          IF (VC(J) .LT. 0.0) EMU(J , I1) = VC(J)
C
S          ENU(J , I2) = EMU(J , I1)
C
S          DIAG(J) = (EMU(J , I1) - VC(J)) * WIV
1          + EMU(J , I2) * CXXR(I-1) - CYYC(J)
S          SUP(J) = CYYD(J)
S          SUB(J) = CYYU(J)
RHSXJX = -(VC(J) - EMU(J , I1)) *
1          (CXXL(I)*P(J,I-1) - CXXC(I)*P(J,I) + CXXR(I)*P(J,I+1))
RHSXJX = RHSXJX - (EMU(J , I2) * (CXXL(I-1) * P(J , IH2)
1          - CXXC(I-1)*P(J,I-1) + CXXR(I-1)*P(J,I)))
RHS(J) = RHSXJX - (CYYD(J) * P(J-1 , I) - CYYC(J) * P(J , I)
1          + CYYU(J) * P(J+1 , I))
20 CONTINUE
CV
ENDIF
CV

```

図4.4.11(a) D-9(口) 変更前のプログラム

```

C
S      DO 1100 I = IUP, IDOWN
C
V      DO 1110 J = JBOT, JT0P
C
V          VC( J, I ) = C1(I) - ( CXL(I) * P(J,I-1) + CXC(I) * P(J,I)
+ CXR(I) * P(J,I+1) )
C
V          EMU( J, I ) = AMIN1( VC(J,I), 0.0 )
C
V 1110    CONTINUE
S 1100 CONTINUE
C
S      DO 1200 I = IUP, IDOWN
C
S          CXXCW1 = CXXC(I) * WI
C
V      DO 1210 J = JBOT, JT0P
C
V          DIAG( J, I ) = ( EMU(J,I) - VC(J,I) ) * CXXCW1
+ EMU(J,IDEHU(I)) * CXXR(I-1) - CYYC(J)
+ EPSX(I)
V          SUP( J, I ) = CYYD(J)
V          SUB( J, I ) = CYYU(J)
C
V          RHS( J, I ) = - ( CYYD(J) * P(J-1,I) - CYYC(J) * P(J,I)
+ CYYU(J) * P(J+1,I) )
V 1210    CONTINUE
S 1200 CONTINUE

```

図4.4.11(b) D-9(口) 変更後のプログラム

```

IF (FCR) THEN
DO 10 J=JBOT,JTOP
:
EMU(J,I1)=0.0
:
IF(VC(J).LT.0.0) EMU(J,I1)=VC(J)
DIAG(J)=(EMU(J,I1) . . . . .)*WIV
1      +EMU(J,I2)*. . . . .
:
10    CONTINUE
ELSE
DO 20 J=JBOT,JTOP
:
EMU(J,I1)=0.0
IF(VC(J).LT.0.0) EMU(J,I1)=VC(J)
EMU(J,I2)=EMU(J,I1)
DIAG(J)=(EMU(J,I1)-VC(J))*WIV
1      +EMU(J,I2)*. . . . .
:
20    CONTINUE
ENDIF

```

図 4.4.12(a) D-9(口) 変更前のプログラム

以下に図 4.4.10(b) に示すステートメントが続く

図 4.4.12(b) D-9(口) 変更後のプログラム

1000 CONTINUE

:
IDEMU(I)=I-IFCR

:
:

IDEMU(I)=I-IFCR

:
:

CONTINUE

:
:

```

SUBROUTINE SUB(A,B)
A=B**2
RETURN
END

```



図 4.4.13(a) D-9(ニ) 変更前のプログラム構造

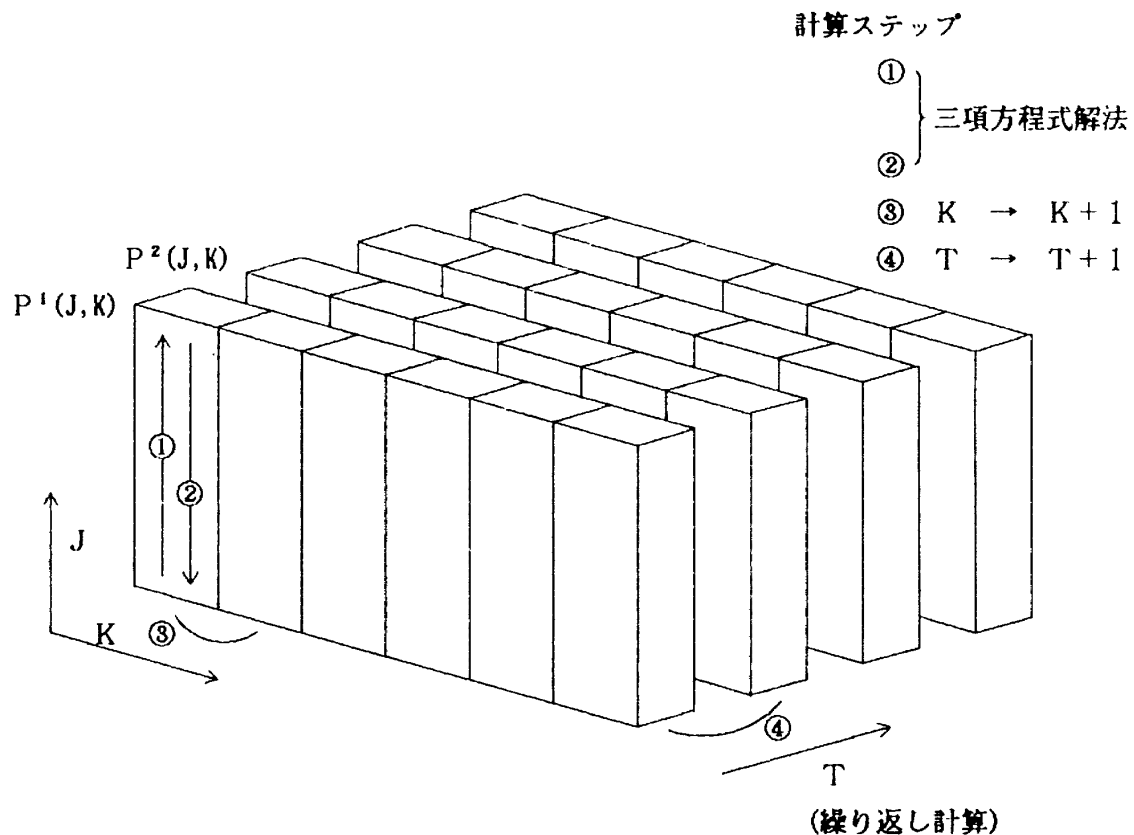


図 4.5.1 E-1 オリジナルプログラムの計算構造

→ K							
T	1	2	3	4	5	6	.....
	3	4	5	6	7	8	.....
	5	6	7	8	9	10	.....
	7	8	9	10	11	12	.....
	9	10	11	12	13	14	.....
	11	12	13	14	15	16	.....
	13	14	15	16	17	18	.....
⋮	⋮	⋮	⋮	⋮	⋮	⋮	
⋮	⋮	⋮	⋮	⋮	⋮	⋮	

図 4.5.2 E-1 K と T の関係

→ K						
T'	T <sub>1</sub>	T <sub>1</sub>	T <sub>2</sub>	T <sub>1</sub>	T <sub>2</sub>	T <sub>1</sub>
	T <sub>1</sub>	T <sub>1</sub>				
	T <sub>2</sub>	T <sub>1</sub>	T <sub>2</sub>	T <sub>1</sub>	T <sub>2</sub>	T <sub>1</sub>
	T <sub>3</sub>	T <sub>2</sub>	T <sub>1</sub>	T <sub>3</sub>	T <sub>2</sub>	T <sub>1</sub>
	T <sub>4</sub>	T <sub>3</sub>	T <sub>2</sub>	T <sub>1</sub>	T <sub>4</sub>	T <sub>3</sub>
	T <sub>5</sub>	T <sub>4</sub>	T <sub>3</sub>	T <sub>2</sub>	T <sub>5</sub>	T <sub>4</sub>

図 4.5.3 E-1 K と T' の関係

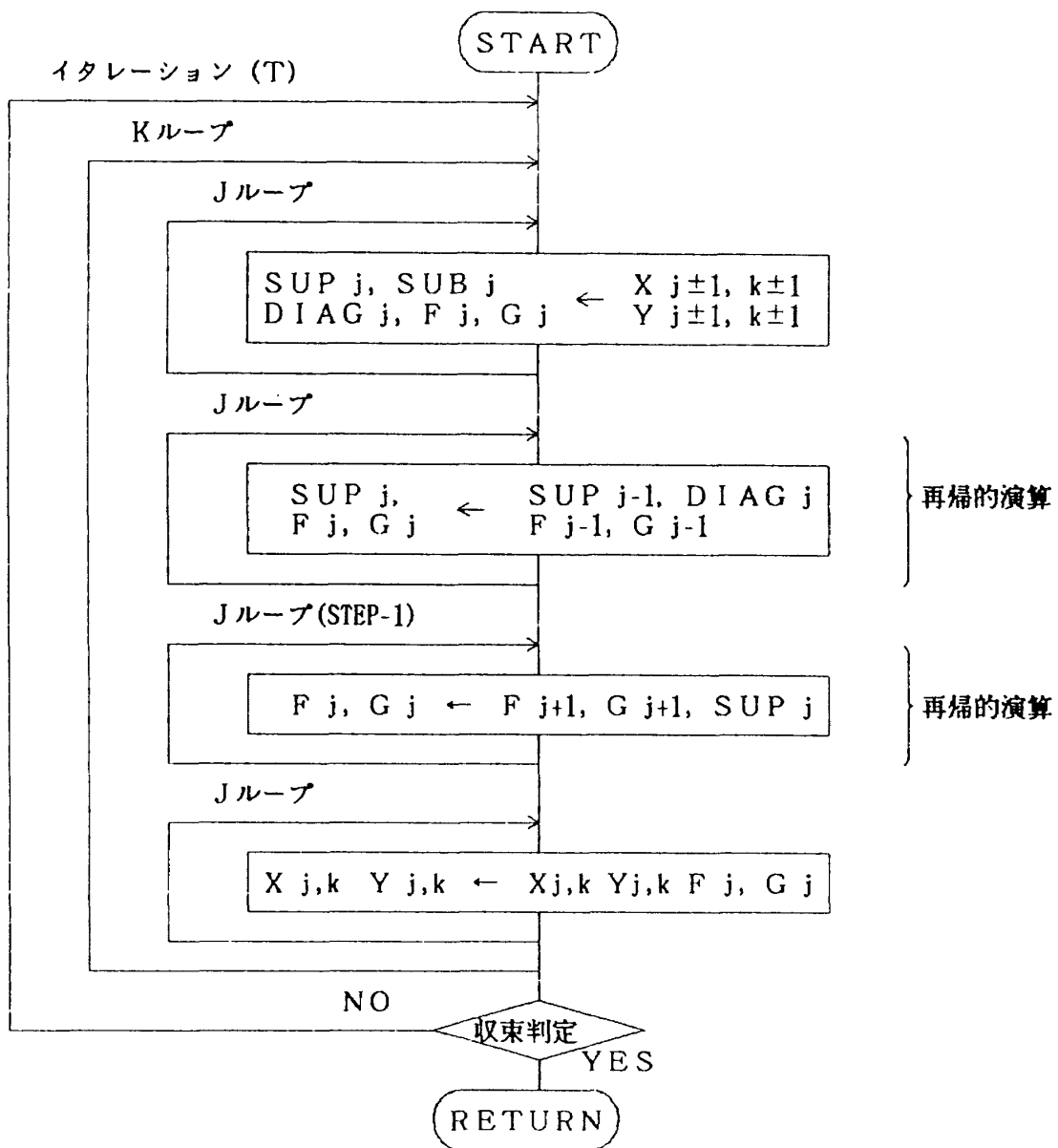


図 4.5.4(a) E-1 改造前の処理フロー

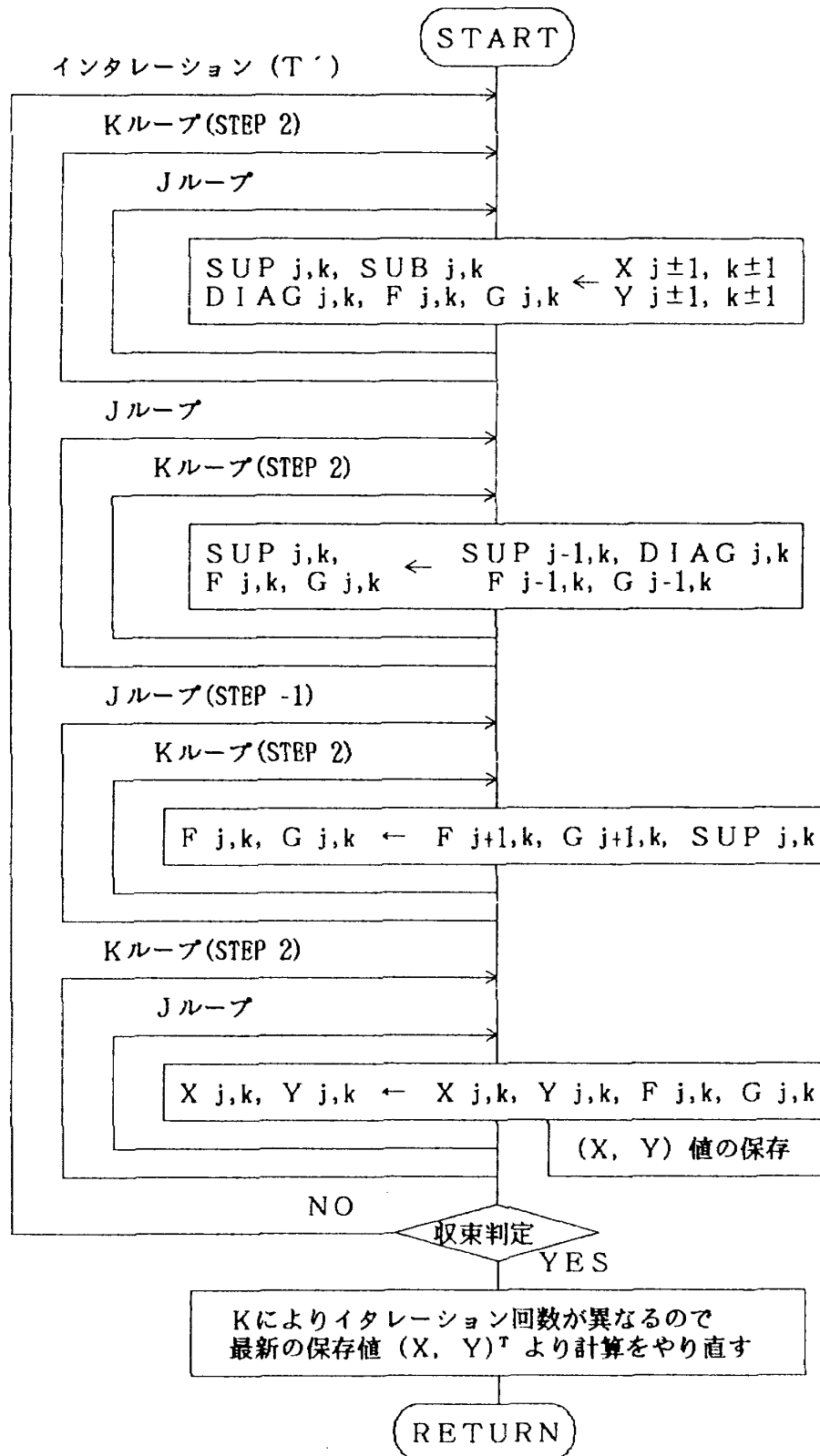


図 4.5.4(b) E-1 改造後の処理フロー

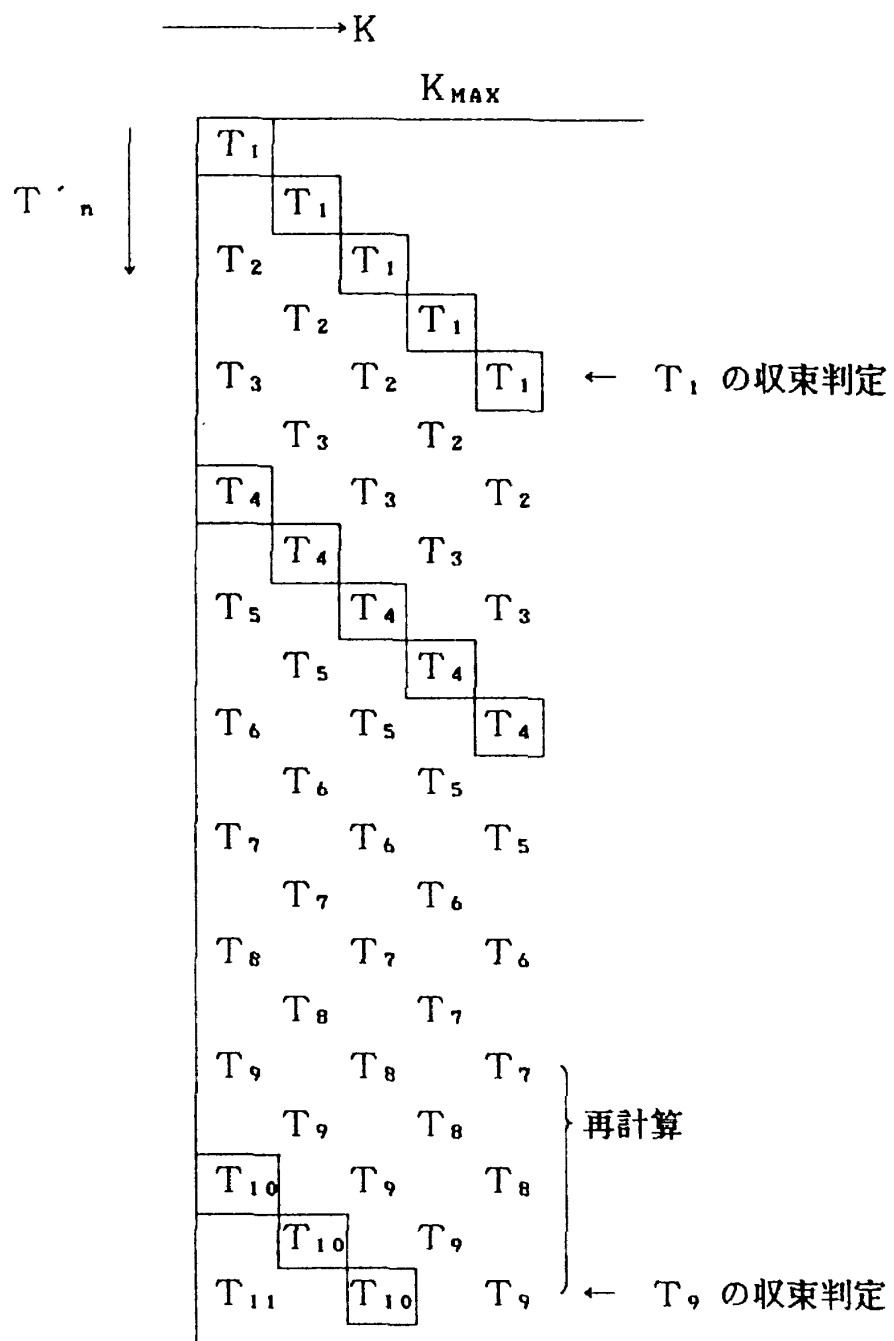


図 4.5.5 E-1 収束判定の方法

```

DO 11950 IDXJ = JS , JE
WXXI      = 0.5 * ( X (IDXJ+1,K ) - X (IDXJ-1,K ) )
WYXI      = 0.5 * ( Y (IDXJ+1,K ) - Y (IDXJ-1,K ) )
WXETA     = 0.5 * ( X (IDXJ ,K+1) - Y (IDXJ ,K-1) )
WYETA     = 0.5 * ( Y (IDXJ ,K+1) - Y (IDXJ ,K-1) )

WSUP      = WXETA * WXETA + WYETA * WYETA
SUP(IDXJ,K) = WSUP
SUB(IDXJ,K) = WSUP
WGD       = WXXI * WXXI + WYXI * WYXI
DIAG(IDXJ,K) = (-2.0) * (WSUP + WGD)
WBD       = 0.5 * ( ( X (IDXJ+1,K ) - X (IDXJ-1,K ) ) *
1          ( X (IDXJ ,K+1) - X (IDXJ ,K-1) )
2          + ( Y (IDXJ+1,K ) - Y (IDXJ-1,K ) ) *
3          ( Y (IDXJ ,K+1) - Y (IDXJ ,K-1) ) )

F(IDXJ,K) = WBD * 0.25 * ( X (IDXJ+1,K+1) - X (IDXJ+1,K-1)
1          - X (IDXJ-1,K+1) + X (IDXJ-1,K-1) )
2          - WGD * ( X (IDXJ ,K+1) + X (IDXJ ,K-1) )
G(IDXJ,K) = WBD * 0.25 * ( Y (IDXJ+1,K+1) - Y (IDXJ+1,K-1)
1          - Y (IDXJ-1,K+1) + Y (IDXJ-1,K-1) )
2          - WGD * ( Y (IDXJ ,K+1) + Y (IDXJ ,K-1) )

11950 CONTINUE

```

図 4.5.6(a) E-2 変更前のプログラム

```

DO 11950 IDXJ = JS , JE
WXETA     = X (IDXJ ,K+1) - X (IDXJ ,K-1)
WYETA     = Y (IDXJ ,K+1) - Y (IDXJ ,K-1)
WSUP      = 0.25 * ( WXETA * WXETA + WYETA * WYETA )
SUP(IDXJ,K) = WSUP
SUB(IDXJ,K) = WSUP
WXXI      = X (IDXJ+1,K ) - X (IDXJ-1,K )
WYXI      = Y (IDXJ+1,K ) - Y (IDXJ-1,K )
WGD       = 0.25 * ( WXXI * WXXI + WYXI * WYXI )
DIAG(IDXJ,K) = (-2.0) * (WSUP + WGD)
WBD       = 0.125 * ( WXXI * WXETA + WYXI * WYETA )

F(IDXJ,K) = WBD * ( X (IDXJ+1,K+1) - X (IDXJ+1,K-1)
1          - X (IDXJ-1,K+1) + X (IDXJ-1,K-1) )
2          - WGD * ( X (IDXJ ,K+1) + X (IDXJ ,K-1) )
G(IDXJ,K) = WBD * ( Y (IDXJ+1,K+1) - Y (IDXJ+1,K-1)
1          - Y (IDXJ-1,K+1) + Y (IDXJ-1,K-1) )
2          - WGD * ( Y (IDXJ ,K+1) + Y (IDXJ ,K-1) )

11950 CONTINUE

```

図 4.5.6(b) E-2 変更後のプログラム

```

C
S      DO 13 I = IL , IU
S      IF (I .EQ. IL) THEN
V          DO 11 K = 1 , 4
V          DO 11 M = 1 , 4
V          G(K,M) = B(I,K,M)
V      11  CONTINUE
S      ELSE
V          IR = I - 1
V          DO 12 K = 1 , 4
V          F(I,K) = F(I,K) - A(I,K,1) * F(IR,1) - A(I,K,2) * F(IR,2)
V          1           - A(I,K,3) * F(IR,3) - A(I,K,4) * F(IR,4)
V      12  CONTINUE
S          DO 14 M = 1 , 4
V          DO 14 K = 1 , 4
V          G(K,M) = B(I,K,M) - A(I,K,1) * B(IR,1,M) - A(I,K,2) * B(IR,2,M)
V          1           - A(I,K,3) * B(IR,3,M) - A(I,K,4) * B(IR,4,M)
V      14  CONTINUE
ENDIF
C

```

図 4.6.1(a) F-1 変更前のプログラム

```

DIMENSION      IX(16), JX(16), SUM(4)
DATA IX / 1,2,3,4,1,2,3,4,1,2,3,4,1,2,3,4   /
DATA JX / 1,1,1,1,2,2,2,2,3,3,3,3,4,4,4,4   /

C
S      DO 13 I = IL , IU
S      IF (I .EQ. IL) THEN
V          DO 11 L = 1 , 16
V          K = IX(L)
V          M = JX(L)
V          G(K,M) = B(I,K,M)
V      11  CONTINUE
S      ELSE
V          IR = I - 1
V          DO 12 K = 1 , 4
V          F(I,K) = F(I,K) - A(I,K,1) * F(IR,1) - A(I,K,2) * F(IR,2)
V          +           - A(I,K,3) * F(IR,3) - A(I,K,4) * F(IR,4)
V      12  CONTINUE
S          DO 14 L = 1 , 16
V          M = JX(L)
V          K = IX(L)
V          G(K,M) = B(I,K,M) - A(I,K,1) * B(IR,1,M) - A(I,K,2) * B(IR,2,M)
V          1           - A(I,K,3) * B(IR,3,M) - A(I,K,4) * B(IR,4,M)
V      14  CONTINUE
ENDIF
C

```

図 4.6.1(b) F-1 変更後のプログラム

```

C
S      IT = IL + IU
S      DO 21 II = IS , IU
I      I = IT - II
IP     IP = I + 1
S      DO 17 M = 1 , 4
S      F(I,M) = F(I,M) - B(I,M,1) * F(IP,1) - B(I,M,2) * F(IP,2)
1          - B(I,M,3) * F(IP,3) - B(I,M,4) * F(IP,4)
17 CONTINUE
S      21 CONTINUE
C

```

図 4.6.2(a) F-2 変更前のプログラム

```

C
V      DO 210 M = 1, 4
V      SUM(M) = B(IU-1,M,1) * F(IU,1) + B(IU-1,M,2) * F(IU,2)
+      + B(IU-1,M,3) * F(IU,3) + B(IU-1,M,4) * F(IU,4)
V      210 CONTINUE
C
IT = IL + IU
S      DO 21 II = IS , IU
I      I = IT - II
V      DO 17 M = 1 , 4
V      F(I,M) = F(I,M) - SUM(M)
V      17 CONTINUE
V      DO 170 M = 1, 4
V      SUM(M) = B(I-1,M,1) * F(I,1) + B(I-1,M,2) * F(I,2)
+      + B(I-1,M,3) * F(I,3) + B(I-1,M,4) * F(I,4)
V      170 CONTINUE
S      21 CONTINUE
C

```

図 4.6.2(b) F-2 変更後のプログラム

```

S      DO 40 M = 1 , 4
S      DO 40 N = 1 , 4
S      A(KMAX,N,M) = D(2,N,M)
V      DO 40 K = 2 , KM
I      I = KMAX + 1 - K
V      A(I,N,M) = D(K+1,N,M)
V      C(I,N,M) = -D(K-1,N,M)
V      40 CONTINUE

```

図 4.6.3(a) F-3 変更前のプログラム

```

V      DO 100 K = 2, KMAX
V      IXX(K) = KMAX + 1 - K
V      100 CONTINUE
C
S      DO 40 M = 1 , 4
S      DO 40 N = 1 , 4
S      A(KMAX,N,M) = D(2,N,M)
V      DO 40 K = 2 , KM
V      I      I = IXX(K) ← インデックス
V      A(I,N,M) = D(K+1,N,M)
V      C(I,N,M) = -D(K-1,N,M)
V      40 CONTINUE

```

図 4.6.3(b) F-3 変更後のプログラム

```

S      DO 47 K = 2 , KMAX
S      Z(K+KM) = P(JJ,K)
I      = KMAX + 1 - K
S      Z(I) = P(J,K)
S      47 CONTINUE

```

図 4.6.4(a) F-4 変更前のプログラム

```

V      DO 47 K = 2 , KMAX
V      Z(K+KM) = P(JJ,K)
V      47 CONTINUE
V      DO 48 K = 2 , KMAX
V      I      = IX(X,K)
V      Z(I) = P(J,K)
V      48 CONTINUE

```

図 4.6.4(b) F-4 変更後のプログラム

```

S      DO 20 J = 2 , JM
S      Z(J)      = SMUIM / P(J,K)
S      EA(J)     = 1.0 + EB(J-1) - EF(J)
S      EC(J)     = 1.0 - EB(J) + EF(J+1)
S      DO 20 H = 1 , 4
V      DO 20 N = 1 , 4
V      A(J,N,M)  = -EA(J) * D(J-1,N,M)
V      B(J,N,M)  = (EA(J) - EC(J)) * D(J,N,M)
V      C(J,N,M)  = EC(J) * D(J+1,N,M)
V      20 CONTINUE

```

図 4.6.5(a) F-5 変更前のプログラム

```

M      DO 20 J = 2 , JM
S      Z(J)      = SMUIM / P(J,K)
V      EA(J)     = 1.0 + EB(J-1) - EF(J)
V      EC(J)     = 1.0 - EB(J) + EF(J+1)
V      20 CONTINUE
S      DO 21 H = 1 , 4
S      DO 21 N = 1 , 4
V      DO 21 J = 2 , JM
V      A(J,N,M)  = -EA(J) * D(J-1,N,M)
V      B(J,N,M)  = (EA(J) - EC(J)) * D(J,N,M)
V      C(J,N,M)  = EC(J) * D(J+1,N,M)
V      21 CONTINUE

```

図 4.6.5(b) F-5 変更後のプログラム

```

C
IFLG = 0
S      DO 1200 J = 2 , JM
I      = JMAX1 - J
S      IF (EB(I) .LT. 0.1) THEN
IFLG = 0
S      ELSE
IFLG = IFLG + 1
S      IF (IFLG .GT. 3)   EB(I) = 0.0
S      ENDIF
S      1200 CONTINUE
C
IFLG = 0
S      DO 1300 J = 2 , JM
S      IF (EF(J) .LT. 0.1) THEN
IFLG = 0
S      ELSE
IFLG = IFLG + 1
S      IF (IFLG .GT. 3)   EF(J) = 0.0
S      ENDIF
S      1300 CONTINUE

```

図 4.6.6(a) F-6 変更前のプログラム

```

C..... VP TUNNING
V      DO 1200 J = JMAX1 - JM, JMAX1 - 2
V      IF (EB(J) .LT. 0.1) THEN
V          IFVP(J) = 0
V      ELSE
V          IFVP(J) = 1
V      ENDIF
V      1200 CONTINUE
V      DO 1201 J = JMAX1 - JM, JMAX1 - 5

```

FORTRAN 77/VP V10L20 SHCKOP DATE 87.04.22 TIME 17.12.05

```

V      IF( IFVP(J).GE.1 .AND. IFVP(J+1).GE.1
V      + .AND. IFVP(J+2).GE.1 .AND. IFVP(J+3).GE.1 )   EB(J) = 0.0
V      1201 CONTINUE
C..... VP TUNNING
V      DO 1300 J = 2 , JM
V      IF (EF(J) .LT. 0.1) THEN
V          IFVP(J) = 0
V      ELSE
V          IFVP(J) = 1
V      ENDIF
V      1300 CONTINUE
V      DO 1301 J = 5 , JM
V      IF( IFVP(J).GE.1 .AND. IFVP(J-1).GE.1
V      + .AND. IFVP(J-2).GE.1 .AND. IFVP(J-3).GE.1 )   EF(J) = 0.0
V      1301 CONTINUE

```

図 4.6.6(b) F-6 変更後のプログラム

```

COMMON / VARS/ Q(145,55,4)      , R(145,55,4)      , P(145,55)
COMMON /LARGE/ X(145,55)        , Y(145,55)        , S(145,55,4)
COMMON /PTRID/ ABC(145,48)      , D(145,4,4)      ,
1          DU(145,4,4)      , F(145,4)
DIMENSION   RR(1)      , R1(1)      , R2(1)      , U(1)      , V(1)
1          C1(1)      , C2(1)      , GR1(1)      , GR2(1)      ,
2          UR1(145)    , VR2(145)    , QS(145)    , CO(145)    , GOS(145)
EQUIVALENCE (D(1,1,1),RR(1))    , (D(1,1,2),R1(1))
1          (D(1,1,3),R2(1))    ,
2          (F(1,1),U(1))      , (F(1,2),V(1))      ,
3          (F(1,3),C1(1))    , (F(1,4),C2(1))    ,
4          (D(1,2,4),GR1(1))  , (D(1,3,4),GR2(1))

C-----  

C  

C     IF(MODE) 10 , 10 , 20
C  

10 CONTINUE
K = LL
DO 11 IDX = I1 , I2
R1(IDX) = R(IDX,K,1) * HD
R2(IDX) = R(IDX,K,2) * HD
RR(IDX) = 1.0 / Q(IDX,K,1)
U(IDX) = Q(IDX,K,2) * RH(IDX)
V(IDX) = Q(IDX,K,3) * RH(IDX)
C2(IDX) = Q(IDX,K,4) * RR(IDX) * GAMMA
11 CONTINUE
GO TO 30

20 CONTINUE
J = LL
DO 21 IDX = I1 , I2
R1(IDX) = R(J,IDX,3) * HD
R2(IDX) = R(J,IDX,4) * HD
RR(IDX) = 1.0 / Q(J,IDX,1)
U(IDX) = Q(J,IDX,2) * RR(IDX)
V(IDX) = Q(J,IDX,3) * RR(IDX)
C2(IDX) = Q(J,IDX,4) * RR(IDX) * GAMMA
21 CONTINUE

30 CONTINUE
GAMH = 0.5 * GAM1
GAM3 = 3.0 - GAMMA

DO 31 IDX = I1 , I2
C1(IDX) = GAMH * (U(IDX) ** 2 + V(IDX) ** 2)
D(IDX,1,1) = 0.0
U(IDX,1,4) = 0.0
UR1(IDX) = U(IDX) * R1(IDX)
VR2(IDX) = V(IDX) * R2(IDX)
QS(IDX) = UR1(IDX) + VR2(IDX)
GR1(IDX) = GAMH * R1(IDX)
GR2(IDX) = GAMH * R2(IDX)
D(IDX,2,1) = C1(IDX) * R1(IDX) - U(IDX) * QS(IDX)
D(IDX,2,2) = GAM3 * UR1(IDX) + VR2(IDX)
D(IDX,2,3) = -GR1(IDX) * V(IDX) + U(IDX) * R2(IDX)
D(IDX,3,1) = C1(IDX) * R2(IDX) - V(IDX) * QS(IDX)
D(IDX,3,2) = V(IDX) * R1(IDX) - GR2(IDX) * U(IDX)
D(IDX,3,3) = UR1(IDX) + GAM3 * VR2(IDX)
CO(IDX) = C2(IDX) - C1(IDX)
GOS(IDX) = GAMH * QS(IDX)
D(IDX,4,1) = (C1(IDX) - CO(IDX)) * QS(IDX)
D(IDX,4,2) = CO(IDX) * R1(IDX) - U(IDX) * GOS(IDX)
D(IDX,4,3) = CO(IDX) * R2(IDX) - V(IDX) * GOS(IDX)
D(IDX,4,4) = GAMMA * QS(IDX)

31 CONTINUE

```

図 4.6.7(a) F=7 変更前のプログラム

```

      GAMH      = 0.5 * GAM1
      GAM3      = 3.0 - GAMMA
C
C      IF(MODE) 10 , 10 , 20
C
10 CONTINUE
C
      K = LL
C
V      DO 11 IDX = 11 , 12
C
V      D(IDX,1,2) = R(IDX,K,1) * HD
V      D(IDX,1,3) = R(IDX,K,2) * HD
V      DIV      = 1.0 / @IDX,K,1)
V      F(IDX,1)   = @IDX,K,2) * DIV
V      F(IDX,2)   = @IDX,K,3) * DIV
V      F(IDX,4)   = @IDX,K,4) * DIV * GAMMA
C
V      F(IDX,3)   = GAMH * (F(IDX,1)*F(IDX,11 + F(IDX,2)*F(IDX,2))
V      D(IDX,1,1) = 0.0
V      D(IDX,1,4) = 0.0
V      UR1      = F(IDX,1) * D(IDX,1,2)
V      VR2      = F(IDX,2) * D(IDX,1,3)
V      OS       = UR1 + VR2
V      D(IDX,2,4) = GAM1 * D(IDX,1,2)
V      D(IDX,3,4) = GAM1 * D(IDX,1,3)
V      D(IDX,2,1) = F(IDX,3) * D(IDX,1,2) - F(IDX,1) * OS
V      D(IDX,2,2) = GAM3 * UR1 + VR2
V      D(IDX,2,3) = -D(IDX,2,4) * F(IDX,2) + F(IDX,1) * D(IDX,1,3)
V      D(IDX,3,1) = F(IDX,3) * D(IDX,1,3) - F(IDX,2) * OS
V      D(IDX,3,2) = F(IDX,2) * D(IDX,1,2) - D(IDX,3,4) * F(IDX,1)
V      D(IDX,3,3) = UR1 + GAM3 * VR2
V      CO       = F(IDX,4) - F(IDX,3)
V      GOS      = GAM1 * OS
V      D(IDX,4,1) = (F(IDX,3) - CO) * OS
V      D(IDX,4,2) = CO * D(IDX,1,2) - F(IDX,1) * GOS
V      D(IDX,4,3) = CO * D(IDX,1,3) - F(IDX,2) * GOS
V      D(IDX,4,4) = GAMMA * OS
C
V      11 CONTINUE
C
      GO TO 30
C
20 CONTINUE
J = LL
DO 21 IDX = 11 , 12
C
V      D(IDX,1,2) = R(J,IDX,3) * HD
V      D(IDX,1,3) = R(J,IDX,4) * HD
V      DIV      = 1.0 / @J,IDX,1)
V      F(IDX,1)   = @J,IDX,2) * DIV
V      F(IDX,2)   = @J,IDX,3) * DIV
V      F(IDX,4)   = @J,IDX,4) * DIV * GAMMA
C
V      F(IDX,3)   = GAMH * (F(IDX,1)*F(IDX,1) + F(IDX,2)*F(IDX,2))
V      D(IDX,1,1) = 0.0
V      D(IDX,1,4) = 0.0
V      UR1      = F(IDX,1) * D(IDX,1,2)
V      VR2      = F(IDX,2) * D(IDX,1,3)
V      OS       = UR1 + VR2
V      D(IDX,2,4) = GAM1 * D(IDX,1,2)
V      D(IDX,3,4) = GAM1 * D(IDX,1,3)
V      D(IDX,2,1) = F(IDX,3) * D(IDX,1,2) - F(IDX,1) * OS
V      D(IDX,2,2) = GAM3 * UR1 + VR2
V      D(IDX,2,3) = -D(IDX,2,4) * F(IDX,2) + F(IDX,1) * D(IDX,1,3)
V      D(IDX,3,1) = F(IDX,3) * D(IDX,1,3) - F(IDX,2) * OS
V      D(IDX,3,2) = F(IDX,2) * D(IDX,1,2) - D(IDX,3,4) * F(IDX,1)
V      D(IDX,3,3) = UR1 + GAM3 * VR2
V      CO       = F(IDX,4) - F(IDX,3)
V      GOS      = GAM1 * OS
V      D(IDX,4,1) = (F(IDX,3) - CO) * OS
V      D(IDX,4,2) = CO * D(IDX,1,2) - F(IDX,1) * GOS
V      D(IDX,4,3) = CO * D(IDX,1,3) - F(IDX,2) * GOS
V      D(IDX,4,4) = GAMMA * OS
C
V      21 CONTINUE
C
30 CONTINUE
      RETURN
      END

```

図 4.6.7(b) F-7 変更後のプログラム

```

S DO 1000 K = 1 , KMAX
S DO 1000 J = 1 , JMAX
V DO 1000 M = 1 , 4
V S(J,K,M) = FOO
V Q(J,K,M) = Q(J,K,M) / P(J,K)
V 1000 CONTINUE

```

図 4.6.8(a) F-8 変更前のプログラム

```

S DO 1000 K = 1 , KMAX
S DO 1000 M = 1 , 4
V DO 1000 J = 1 , JMAX
V S(J,K,M) = FOO
V Q(J,K,M) = Q(J,K,M) / P(J,K)
V 1000 CONTINUE

```

図 4.6.8(b) F-8 変更後のプログラム

```

DO 62 IDS = 1 , 2
DO 61 K = 1 , KM
ROH1 = Q(J1,K,1) * P(J1,K)
ROH2 = Q(J2,K,1) * P(J2,K)
Q(J,K,1) = ROH1 + ROH2 - ROH2
RR = 1.0 / Q(J1,K,1)
U1 = Q(J1,K,2) * RR
V1 = Q(J1,K,3) * RR
RR = 1.0 / Q(J2,K,1)
U2 = Q(J2,K,2) * RR
V2 = Q(J2,K,3) * RR
U0 = U1 + U2 - U2
V0 = V1 + V2 - V2
Q(J,K,2) = Q(J,K,1) * U0
Q(J,K,3) = Q(J,K,1) * V0
Q(J,K,4) = EW + 0.5 * (Q(J,K,2) * U0 + Q(J,K,3) * V0)

C
C          SCALE ALL VARIABLES
C

ZZZ = 1.0 / P(J,K)
DO 61 N = 1 , 4
Q(J,K,N) = Q(J,K,N) * ZZZ
61 CONTINUE
J = JMAX
J1 = JM
J2 = JMAX - 2
62 CONTINUE

```

図 4.6.9(a) F-9 変更前のプログラム

```

DO 62 IDS = 1 , 2
DO 61 K = 1 , KM
ROH1 = Q(J1,K,1) * P(J1,K)
ROH2 = Q(J2,K,1) * P(J2,K)
Q(J,K,1) = ROH1 + ROH2 - ROH2
RR = 1.0 / Q(J1,K,1)
U1 = Q(J1,K,2) * RR
V1 = Q(J1,K,3) * RR
RR = 1.0 / Q(J2,K,1)
U2 = Q(J2,K,2) * RR
V2 = Q(J2,K,3) * RR
U0 = U1 + U2 - U2
V0 = V1 + V2 - V2
Q(J,K,2) = Q(J,K,1) * U0
Q(J,K,3) = Q(J,K,1) * V0
Q(J,K,4) = EW + 0.5 * (Q(J,K,2) * U0 + Q(J,K,3) * V0)

C
C          SCALE ALL VARIABLES
C

ZZZ = 1.0 / P(J,K)
C
CX DO 61 N = 1 , 4
CX Q(J,K,N) = Q(J,K,N) * ZZZ
V Q(J,K,1) = Q(J,K,1) * ZZZ
V Q(J,K,2) = Q(J,K,2) * ZZZ
V Q(J,K,3) = Q(J,K,3) * ZZZ
V Q(J,K,4) = Q(J,K,4) * ZZZ
61 CONTINUE
J = JMAX
J1 = JM
J2 = JMAX - 2
62 CONTINUE

```

図 4.6.9(b) F-9 変更後のプログラム

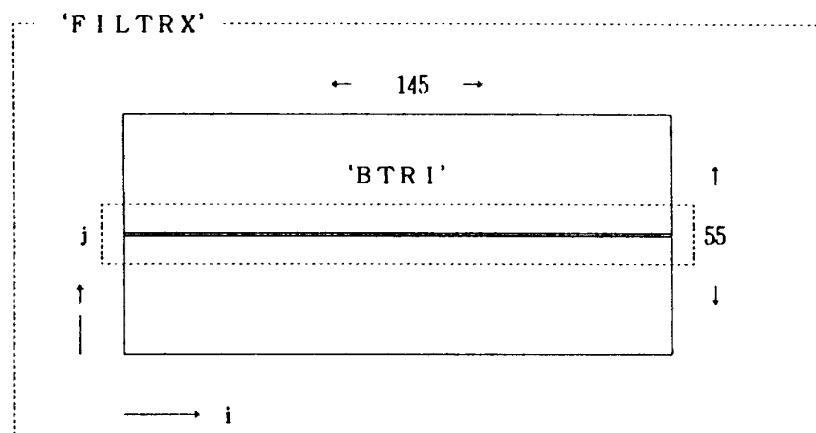


図 4.6.10 F-10 方程式解法の計算構造

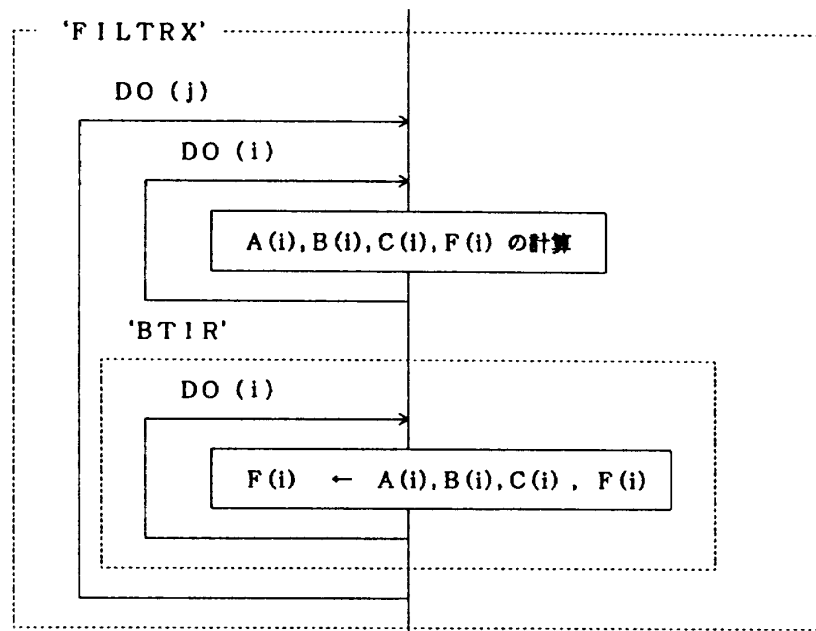


図 4.6.11(a) F-10 改造前の処理フロー

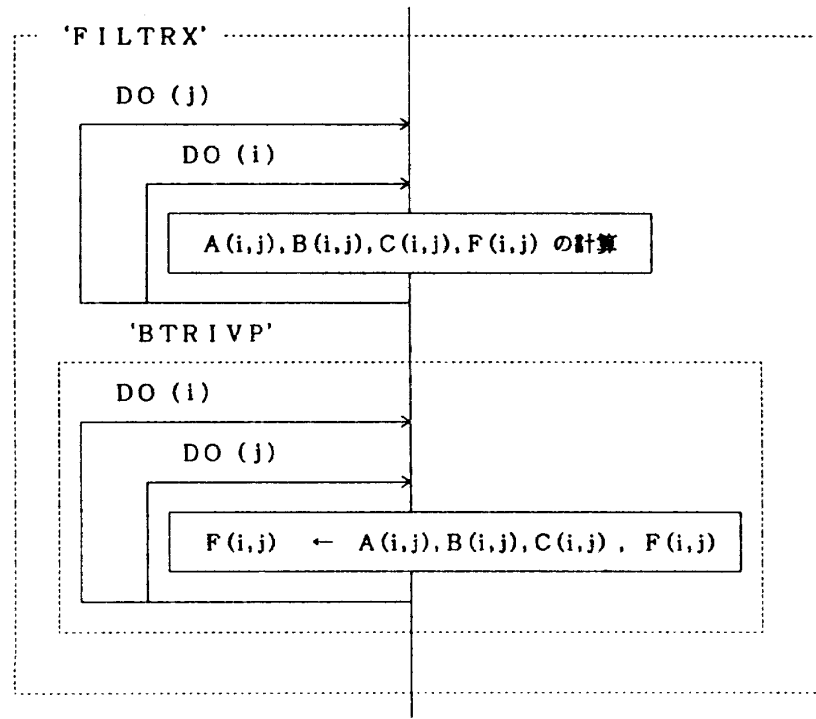


図 4.6.11(b) F-10 改造後の処理フロー

```

S      DO 3200 J = 2, JTLD1
C
S          JJ = JXX( J )
C
S          Q(JJ,K,N) = Q(JJ,K,N) + FF(J,N,K+KM)
S          S(JJ,K,N) = FF(J,N,K+KM)
S          Q(J,K,N) = Q(J,K,N) + FF(J,N,I)
S          S(J,K,N) = FF(J,N,I)
C
S 3200    CONTINUE

```

図 4.6.12(a) F-11 変更前のプログラム

```

*VOCL LOOP, NOVREC
V      DO 3200 J = 2, JTLD1
C
V          JJ = JXX( J )
C
V          Q(JJ,K,N) = Q(JJ,K,N) + FF(J,N,K+KM)
V          S(JJ,K,N) = FF(J,N,K+KM)
V          Q(J,K,N) = Q(J,K,N) + FF(J,N,I)
V          S(J,K,N) = FF(J,N,I)
C
V 3200    CONTINUE

```

図 4.6.12(b) F-11 変更後のプログラム

```

----- SUBROUTINE CALUV -----
C..... VEC TUNNING V01
C
C..... CALCULATE U, V FROM Q
C
COMMON / VARS / Q(145,55,4), R(145,55,4), P(145,55)
COMMON /UVSTCK/ VP1U(145,55), VP1V(145,55),
+           VP1W(145,55), VP1S(145,55)
C
C
V      DO 1000 K = 1, 55
C
V      DO 1000 J = 1, 145
C
V      IF( Q(J,K,1) .NE. 0.0 ) THEN
C
V          DIV = 1.0 / Q(J,K,1)
V          VP1U( J, K ) = Q(J,K,2) * DIV
V          VP1V( J, K ) = Q(J,K,3) * DIV
V          VP1W( J, K ) = Q(J,K,4) * DIV
V          VP1S( J, K ) = 0.5 * ( VP1U(J,K) * VP1U(J,K)
+           VP1V(J,K) * VP1V(J,K) )
C
V      ENDIF
C
V 1000 CONTINUE
RETURN
END

```

図 4.6.13 F-12 新サブルーチン CALUV

```

C
V      DO 11 IDX = 11 , 12
C
V      D(IDX,1,2) = R(IDX,K,1) * HD
V      D(IDX,1,3) = R(IDX,K,2) * HD
V      DIV      = 1.0 / Q(IDX,K,1)
V      F(IDX,1)   = Q(IDX,K,2) * DIV
V      F(IDX,2)   = Q(IDX,K,3) * DIV
V      F(IDX,4)   = Q(IDX,K,4) * DIV * GAMMA
C
V      F(IDX,3)   = GAMH * (F(IDX,1)*F(IDX,1) + F(IDX,2)*F(IDX,2))
V      D(IDX,1,1) = 0.0
V      D(IDX,1,4) = 0.0
V      UR1       = F(IDX,1) * D(IDX,1,2)
V      VR2       = F(IDX,2) * D(IDX,1,3)

```

図 4.6.14(a) F-12 変更前のプログラム

```

C
V      DO 11 IDX = 11 , 12
C
V      D(IDX,1,2) = R(IDX,K,1) * HD
V      D(IDX,1,3) = R(IDX,K,2) * HD
V      F(IDX,1)   = VP1U(IDX,K)
V      F(IDX,2)   = VP1V(IDX,K)
V      F(IDX,4)   = VP1W(IDX,K) * GAMMA
C
V      F(IDX,3)   = GAMH * VP1S(IDX,K)
V      D(IDX,1,1) = 0.0
V      D(IDX,1,4) = 0.0
V      UR1       = F(IDX,1) * D(IDX,1,2)
V      VR2       = F(IDX,2) * D(IDX,1,3)

```

図 4.6.14(b) F-12 変更後のプログラム

```

C
31 N = KTE2 + 1
DO 32 K = N , K2
ZZ = ( Z(K) - Z(KTE2) )/B
A = EXP( -ZZ )
XC(K) = XC(KTE2) + S*ZZ + ( S2-S )*( 1.-A )
YC(K) = YC(KTE2) + T*ZZ + ( T2-T )*( 1.-A )
XZ(K) = ( S + ( S2-S )*A )/B
YZ(K) = ( T + ( T2-T )*A )/B
XZZ(K) = -( S2-S )*A/( B*B )
YZZ(K) = -( T2-T )*A/( B*B )
32 CONTINUE
RETURN
END

```

図 4.7.1(a) G-2 変更前のプログラム

```

CV
*VOCL LOOP,KTE2,LT,N,KTE2,LT,K2
DO 32 K = N , K2
ZZ = ( Z(K) - Z(KTE2) )/B
A = EXP( -ZZ )
XC(K) = XC(KTE2) + S*ZZ + ( S2-S )*( 1.-A )
YC(K) = YC(KTE2) + T*ZZ + ( T2-T )*( 1.-A )
XZ(K) = ( S + ( S2-S )*A )/B
YZ(K) = ( T + ( T2-T )*A )/B
XZZ(K) = -( S2-S )*A/( B*B )
YZZ(K) = -( T2-T )*A/( B*B )
32 CONTINUE
RETURN
END

```

図 4.7.1(b) G-2 変更後のプログラム

```

SUBROUTINE CPLOT( I1,I2,FMACH,X,Y,CP )
CHARACTER*4 KODE,LINE
DIMENSION KODE(2),LINE(100),X(1),Y(1),CP(1)
DATA KODE/1H ,1H+/
WRITE(6,2)
2 FORMAT($OHOPLOT OF CP AT EQUAL INTERVALS IN THE MAPPED PLANE /
1      10H   X   ,10H   Y   ,10H   CP   )
CPO = ( ( 1.0+0.2*FMACH**2 )**3.5 - 1.0 )/( 0.7*FMACH**2 )
DO 12 I=1,100
LINE(I) = KODE(1)
12 CONTINUE
C
DO 22 I=I1,I2
K = 30.0*( CPO - CP(I) ) + 4.5
K = MIN0( 100 , K )
LINE(K) = KODE(2)
WRITE(6,610) X(I),Y(I),CP(I),LINE
LINE(K) = KODE(1)
22 CONTINUE
C
610 FORMAT(3F10.4,100A1)
RETURN
END

```

図 4.7.2(a) G-3 変更前のプログラム

```

SUBROUTINE CPLOT( I1,I2,FMACH,X,Y,CP )
CHARACTER*4 KODE,LINE
DIMENSION KODE(2),LINE(100),X(1),Y(1),CP(1)
CV
DIMENSION K(193)
DATA KODE/1H ,1H+/
WRITE(6,2)
2 FORMAT($OHOPLOT OF CP AT EQUAL INTERVALS IN THE MAPPED PLANE /
1      10H   X   ,10H   Y   ,10H   CP   )
CPO = ( ( 1.0+0.2*FMACH**2 )**3.5 - 1.0 )/( 0.7*FMACH**2 )
DO 12 I=1,100
LINE(I) = KODE(1)
12 CONTINUE
C
CV
DO 22 I=I1,I2
K(I) = 30.0*( CPO - CP(I) ) + 4.5
K(I) = MIN0( 100 , K(I) )
22 CONTINUE
DO 32 I=I1,I2
LINE(K(I)) = KODE(2)
WRITE(6,610) X(I),Y(I),CP(I),LINE
LINE(K(I)) = KODE(1)
32 CONTINUE
CV
C
610 FORMAT(3F10.4,100A1)
RETURN
END

```

図 4.7.2(b) G-3 変更後のプログラム

```

DO 100 I=1,N
:
CALL SUB1(A,B,ICON)
CALL SUB2(ICON)
:
100 CONTINUE

SUB2(ICON)
:
IF(ICON.NE.0) THEN
:
ENDIF
:
RETURN
END
DO 100 I=1,N
:
CALL SUB1(A,B,ICON)
IF(ICON.NE.0) CALL SUB2(ICON)
:
100 CONTINUE

```

図 4.8.1(a) H-1 変更前のプログラム

図 4.8.1(b) H-1 変更後のプログラム

```

IF( (( XX .LT. PTB ),OR.( RDT .LT. 0.0 )) .AND.
1   (( XX .GT. PTA ),OR.( RDL .LT. 0.0 ))      ) THEN
  XX=AMAX1(XX,PTA)
  XX=A MINI(XX,PTB)
  PFT = ASIN((2.0*XX-PTA-PTB)/(PTB-PTA))
  :
ENDIF

```

図 4.8.2(a) H-3 変更前のプログラム

```

PTAPTB =PTA+PTB          } 変数定義
PTBPTA =PTB-PTA
IF( (( XX .LT. PTB ),OR.( RDT .LT. 0.0 )) .AND.
1   (( XX .GT. PTA ),OR.( RDL .LT. 0.0 ))      ) THEN
  XX=AMAX1(XX,PTA)
  XX=A MINI(XX,PTB)
  PFT = ASIN((2.0*XX-PTA-PTB)/(PTB-PTA))
  PFT = ASIN((2.0*XX-PTAPTB)/(PTBPTA))
  :
ENDIF

```

図 4.8.2(b) H-3 変更後のプログラム

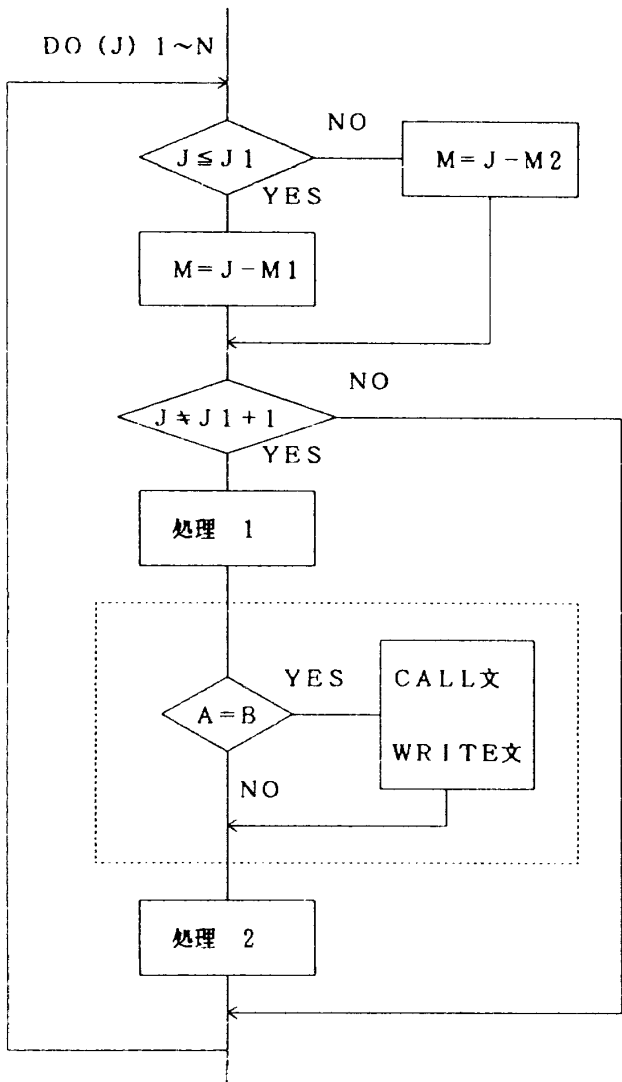


図 4.9.1(a) I-1 改造前の DO ループ構造

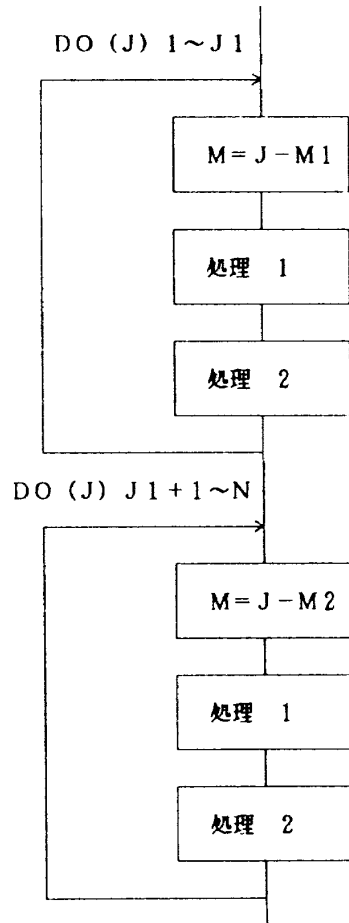


図 4.9.1(b) I-1 改造後の DO ループ構造

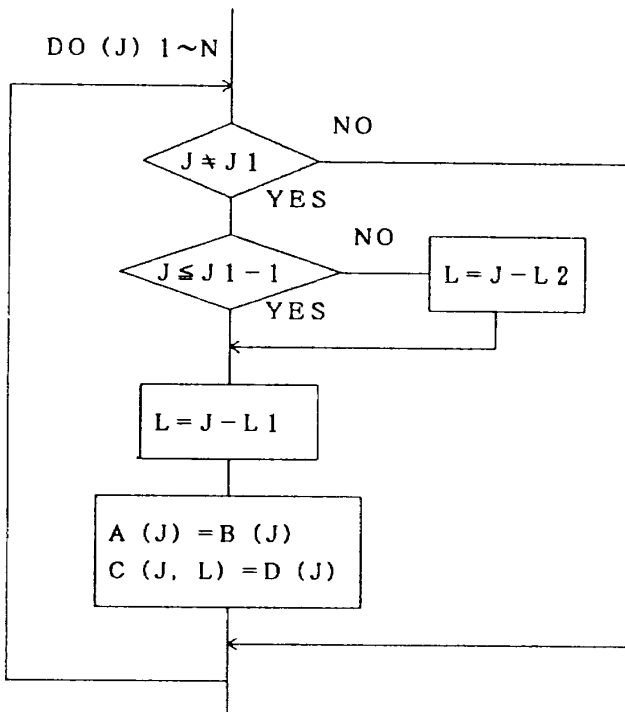


図 4.9.2 I-2 改造前の DO ループ構造

```

M      DO 74 J=1,JE
V      IF( J .LE. KY ) THEN
V          M=J
V          L=I
V      ELSE
V          M=2*KY-J
V          L=KX-I+1
ENDIF
V      COUNTF=COUNTF+1.0
V      SCR=SCR+ABS(CF(J))
S      IF( ABS(CF(J)) .GT. ABS(CFMAX) ) THEN
S          CFMAX=CF(J)
V          IFMAX=L
V          JFMAX=M
V          KFMAX=K
ENDIF
C**
M      F(L,M,K)=F(L,M,K)+CF(J)
C**
V      COUNTD=COUNTD+1.0
V      SD2=SD2+ABS(CS(J))
S      IF( ABS(CS(J)) .GT. ABS(D2MAX) ) THEN
S          D2MAX=CS(J)
V          IDMAX=L
V          JDMAX=M
V          KDMAX=K
V      ENDIF
V      74 CONTINUE
  
```

図 4.9.3 (a) I-3 改造前のプログラム

```

V      DO 74 J=1,JE
V          IF( J .LE. KY ) THEN
M=J
L=I
V      ELSE
M=2*KY-J
L=KX-I+1
ENDIF
V      COUNTF=COUNTF+1.0
V      SCR=SCR+ABS(CF(J))
C-----
V          CFABS(J)=ABS(CF(J))
C-----
V      COUNTD=COUNTD+1.0
V      SD2=SD2+ABS(CS(J))
C-----
V          CSABS(J)=ABS(CS(J))
C-----
V      74 CONTINUE
C-----
JEKY=MIN(JE,KY)
L=I
V      DO 1074 J=1,JEKY
M=J
F(L,M,K)=F(L,M,K)+CF(J)
V      1074 CONTINUE
IF(JE.LE.KY) GOTO 1200
L=KX-I+1
V      DO 1174 J=KY+1,JE
M=2*KY-J
F(L,M,K)=F(L,M,K)+CF(J)
V      1174 CONTINUE
1200 CONTINUE
C
CFMAXP= 0.
CSMAXP= 0.
  
```

図 4.9.3 (b)-1 I-3 変更後のプログラム

```

C
V      DO 1274 J = 1, JE
V          IF( CFABS(J) .GT. CFMAXP) THEN
V              CFMAXP = CFABS(J)
V              JMAXCF = J
V          ENDIF
V          IF( CSABS(J) .GT. CSMAXP) THEN
V              CSMAXP = CSABS(J)
V              JMAXCS = J
V          ENDIF
V 1274 CONTINUE
C
        IF(ABS(CFMAX).LT.CFMAXP) THEN      C F M A X,
        CFMAX=CF(JMAXCF)                  I F M A X, J F M A X
        IF( JMAXCF .LE. KY ) THEN         K F M A X のセット部
            M=JMAXCF
            L=I
        ELSE
            M=2*KY-JMAXCF
            L=KX-I+1
        ENDIF
        IRMAX=L
        JRMAX=M
        KRMAX=K
    ENDIF
C
        IF(ABS(D2MAX).LT.CSMAXP) THEN      D 2 M A X,
        D2MAX=CS(JMAXCS)                  I D M A X, J D M A X
        IF( JMAXCS .LE. KY ) THEN         K D M A X のセット部
            M=JMAXCS
            L=I
        ELSE
            M=2*KY-JMAXCS
            L=KX-I+1
        ENDIF
        IDMAX=L
        JDMAX=M
        KDMAX=K
    ENDIF

```

図 4. 9. 3(b)-2 I-3 変更後のプログラム

```

M   DO 80 J=1,JTPP
V     Q2D( J)=Q2U( J)
V     RHD( J)=RHU( J)
V     RHUD( J)=RHUU( J)
V     RHVD( J)=RHVU( J)
V     RHWD( J)=RHWU( J)
V     AXD( J)=AXU( J)
V     AYD( J)=AYU( J)
V     AZD( J)=AZU( J)
V     QXYD( J)=QXYU( J)
V     QYZD( J)=QYZU( J)
V     QZXD( J)=QZXU( J)
V     QXYZD(J)=QXYZU(J)
V     IF((( IDR .EQ. 0 ),AND.( I .EQ. IC-1 )),OR.
1     ( I .EQ. IC ) ) THEN
S       PD(J)=0.0
V     ELSEIF( I .EQ. IT2 ) THEN
M       PD(J+KY+2)=P(J)
V     ELSEIF(( IDR .NE. 0 ),OR.( I .NE. IT1-1 )) THEN
M       PD(J)=P(J)
V     ENDIF
V   80 CONTINUE

```

図 4.9.4 (a) I-4 変更前のプログラム

```

V   DO 80 J=1,JTPP
V     Q2D( J)=Q2U( J)
V     RHD( J)=RHU( J)
V     RHUD( J)=RHUU( J)
V     RHVD( J)=RHVU( J)
V     RHWD( J)=RHWU( J)
V     AXD( J)=AXU( J)
V     AYD( J)=AYU( J)
V     AZD( J)=AZU( J)
V     QXYD( J)=QXYU( J)
V     QYZD( J)=QYZU( J)
V     QZXD( J)=QZXU( J)
V     QXYZD(J)=QXYZU(J)
V   80 CONTINUE
      IF((( IDR .EQ. 0 ),AND.( I .EQ. IC-1 )),OR.
1     ( I .EQ. IC ) ) THEN
V       DO 1080 J=1,JTPP
V         PD(J)=0.0
V   1080   CONTINUE
      ELSEIF( I .EQ. IT2 ) THEN
V         DO 1180 J=1,JTPP
V           PD(J+KY+2)=P(J)
V   1180   CONTINUE
      ELSEIF(( IDR .NE. 0 ),OR.( I .NE. IT1-1 )) THEN
V         DO 1280 J=1,JTPP
V           PD(J)=P(J)
V   1280   CONTINUE
      ENDIF

```

PD ( j ) のセット部

図 4.9.4 (b) I-4 変更後のプログラム

```

DO 700 N = 1 , NCS2
AA      = SQRT( ( RE(1,1,N)-RE(2,1,N) )**2
.          + ( RE(1,2,N)-RE(2,2,N) )**2
.          + ( RE(1,3,N)-RE(2,3,N) )**2 )
BB      = SQRT( ( RE(1,1,N)-RE(3,1,N) )**2
.          + ( RE(1,2,N)-RE(3,2,N) )**2
.          + ( RE(1,3,N)-RE(3,3,N) )**2 )
CC      = SQRT( ( RE(2,1,N)-RE(4,1,N) )**2
.          + ( RE(2,2,N)-RE(4,2,N) )**2
.          + ( RE(2,3,N)-RE(4,3,N) )**2 )
DD      = SQRT( ( RE(3,1,N)-RE(4,1,N) )**2
.          + ( RE(3,2,N)-RE(4,2,N) )**2
.          + ( RE(3,3,N)-RE(4,3,N) )**2 )
EE      = SQRT( ( RE(2,1,N)-RE(3,1,N) )**2
.          + ( RE(2,2,N)-RE(3,2,N) )**2
.          + ( RE(2,3,N)-RE(3,3,N) )**2 )

S1      = 0.5*( AA + BB + EE )
S2      = 0.5*( CC + DD + EE )
SS1     = SQRT( S1*( S1 - AA )*( S1 - BB )*( S1 - EE ) )
SS2     = SQRT( S2*( S2 - CC )*( S2 - DD )*( S2 - EE ) )
SS      = SS1 + SS2
CL (IRI) = CL(IRI) + CP(N)*EN(3,N)*SS
CS (IRI) = CS(IRI) + CP(N)*EN(2,N)*SS
CD (IRI) = CD(IRI) + CP(N)*EN(1,N)*SS
CX (IRI) = CX(IRI) + CP(N)*
.          ( EN(1,N)*TRRR(1) + EN(2,N)*TRRR(2) + EN(3,N)*TRRR(3) )
CCCC : CY (IRI) = CY(IRI) + CP(N)*
.          ( EN(1,N)*TRPP(1) + EN(2,N)*TRPP(2) + EN(3,N)*TRPP(3) )
CCCC : CZ (IRI) = CZ(IRI) + CP(N)*
.          ( EN(1,N)*TRQQ(1) + EN(2,N)*TRQQ(2) + EN(3,N)*TRQQ(3) )
CCCC : CMP(IRI) = CMP(IRI) + CP(N)*
.          ( ( ( REO(2,N)-RRR(2) )*EN(3,N) -
.          ( REO(3,N)-RRR(3) )*EN(2,N) )*TRPP(1)
.          + ( ( REO(3,N)-RRR(3) )*EN(1,N) -
.          ( REO(1,N)-RRR(1) )*EN(3,N) )*TRPP(2)
.          + ( ( REO(1,N)-RRR(1) )*EN(2,N) -
.          ( REO(2,N)-RRR(2) )*EN(1,N) )*TRPP(3) )*SS
CMR(IRI) = CMR(IRI) + CP(N)*
.          ( ( ( REO(2,N)-RRR(2) )*EN(3,N) -
.          ( REO(3,N)-RRR(3) )*EN(2,N) )*TRRR(1)
.          + ( ( REO(3,N)-RRR(3) )*EN(1,N) -
.          ( REO(1,N)-RRR(1) )*EN(3,N) )*TRRR(2)
.          + ( ( REO(1,N)-RRR(1) )*EN(2,N) -
.          ( REO(2,N)-RRR(2) )*EN(1,N) )*TRRR(3) )*SS
CMQ(IRI) = CMQ(IRI) + CP(N)*
.          ( ( ( REO(2,N)-RRR(2) )*EN(3,N) -
.          ( REO(3,N)-RRR(3) )*EN(2,N) )*TRQQ(1)
.          + ( ( REO(3,N)-RRR(3) )*EN(1,N) -
.          ( REO(1,N)-RRR(1) )*EN(3,N) )*TRQQ(2)
.          + ( ( REO(1,N)-RRR(1) )*EN(2,N) -
.          ( REO(2,N)-RRR(2) )*EN(1,N) )*TRQQ(3) )*SS
K = 1
DO 710 WHILE ( IND(N).NE.CHA(K) )
K = K + 1
710 CONTINUE
CCL(IRI,K,J) = CCL(IRI,K,J) + CP(N)*EN(J,N)*SS
700 CONTINUE

```

図 4.10.1 (a) J-1 変更前のプログラム

```

V      DO 700 N = 1 , NCS2
V      AA      = SQRT( (RE(N,1,1)-RE(N,2,1))*(RE(N,1,1)-RE(N,2,1))
V          . + (RE(N,1,2)-RE(N,2,2))*(RE(N,1,2)-RE(N,2,2))
V          . + (RE(N,1,3)-RE(N,2,3))*(RE(N,1,3)-RE(N,2,3)) )
V      BB      = SQRT( (RE(N,1,1)-RE(N,3,1))*(RE(N,1,1)-RE(N,3,1))
V          . + (RE(N,1,2)-RE(N,3,2))*(RE(N,1,2)-RE(N,3,2))
V          . + (RE(N,1,3)-RE(N,3,3))*(RE(N,1,3)-RE(N,3,3)) )
V      CC      = SQRT( (RE(N,2,1)-RE(N,4,1))*(RE(N,2,1)-RE(N,4,1))
V          . + (RE(N,2,2)-RE(N,4,2))*(RE(N,2,2)-RE(N,4,2))
V          . + (RE(N,2,3)-RE(N,4,3))*(RE(N,2,3)-RE(N,4,3)) )
V      DD      = SQRT( (RE(N,3,1)-RE(N,4,1))*(RE(N,3,1)-RE(N,4,1))
V          . + (RE(N,3,2)-RE(N,4,2))*(RE(N,3,2)-RE(N,4,2))
V          . + (RE(N,3,3)-RE(N,4,3))*(RE(N,3,3)-RE(N,4,3)) )
V      EE      = SQRT( (RE(N,2,1)-RE(N,3,1))*(RE(N,2,1)-RE(N,3,1))
V          . + (RE(N,2,2)-RE(N,3,2))*(RE(N,2,2)-RE(N,3,2))
V          . + (RE(N,2,3)-RE(N,3,3))*(RE(N,2,3)-RE(N,3,3)) )

V      S1      = 0.5*( AA + BB + EE )
V      S2      = 0.5*( CC + DD + EE )
V      SS1     = SQRT( S1*( S1 - AA )*( S1 - BB )*( S1 - EE ) )
V      SS2     = SQRT( S2*( S2 - CC )*( S2 - DD )*( S2 - EE ) )
V      SS(N)   = SS1 + SS2
V      CL(IRI) = CL(IRI) + CP(N)*EN(N,3)*SS(N)
V      CS(IRI) = CS(IRI) + CP(N)*EN(N,2)*SS(N)
V      CD(IRI) = CD(IRI) + CP(N)*EN(N,1)*SS(N)
V      CX(IRI) = CX(IRI) + CP(N)*
V          . SS(N)*( EN(N,1)*TRRR(1) + EN(N,2)*TRRR(2) + EN(N,3)*TRRR(3) )
V      CCCC . *SS
V      CY(IRI) = CY(IRI) + CP(N)*
V          . SS(N)*
V          . ( EN(N,1)*TRPP(1) + EN(N,2)*TRPP(2) + EN(N,3)*TRPP(3) )
V      CCCC . *SS
V      CZ(IRI) = CZ(IRI) + CP(N)*
V          . SS(N)*
V          . ( EN(N,1)*TR00(1) + EN(N,2)*TR00(2) + EN(N,3)*TR00(3) )
V      CCCC . *SS
V      CMP(IRI) = CMP(IRI) + CP(N)*
V          . ( ( (REO(2,N)-RRR(2))*EN(N,3) -
V          . (REO(3,N)-RRR(3))*EN(N,2))*TRPP(1)
V          . + ( (REO(3,N)-RRR(3))*EN(N,1) -
V          . (REO(1,N)-RRR(1))*EN(N,3))*TRPP(2)
V          . + ( (REO(1,N)-RRR(1))*EN(N,2) -
V          . (REO(2,N)-RRR(2))*EN(N,1))*TRPP(3) )*SS(N)
V      CMR(IRI) = CMR(IRI) + CP(N)*
V          . ( ( (REO(2,N)-RRR(2))*EN(N,3) -
V          . (REO(3,N)-RRR(3))*EN(N,2))*TRRR(1)
V          . + ( (REO(3,N)-RRR(3))*EN(N,1) -
V          . (REO(1,N)-RRR(1))*EN(N,3))*TRRR(2)
V          . + ( (REO(1,N)-RRR(1))*EN(N,2) -
V          . (REO(2,N)-RRR(2))*EN(N,1))*TRRR(3) )*SS(N)
V      CM0(IRI) = CM0(IRI) + CP(N)*
V          . ( ( (REO(2,N)-RRR(2))*EN(N,3) -
V          . (REO(3,N)-RRR(3))*EN(N,2))*TR00(1)
V          . + ( (REO(3,N)-RRR(3))*EN(N,1) -
V          . (REO(1,N)-RRR(1))*EN(N,3))*TR00(2)
V          . + ( (REO(1,N)-RRR(1))*EN(N,2) -
V          . (REO(2,N)-RRR(2))*EN(N,1))*TR00(3) )*SS(N)

CCC      K = 1
C      DO 710 WHILE ( IND(N).NE.CHA(K))
C      X = K + 1
C      710 CONTINUE
C
.C      CCL(IRI,K,J) = CCL(IRI,K,J) + CP(N)*EN(J,N)*SS(N)
V      700 CONTINUE
DO 720 N=1,NCS2
DO 710 K=1,50
IF ( IND(N).EQ.CHA(K)) THEN
CCL(IRI,K,1) = CCL(IRI,K,1) + CP(N)*EN(N,1)*SS(N)
CCL(IRI,K,2) = CCL(IRI,K,2) + CP(N)*EN(N,2)*SS(N)
CCL(IRI,K,3) = CCL(IRI,K,3) + CP(N)*EN(N,3)*SS(N)
GOTO 720
ENDIF
710 CONTINUE
720 CONTINUE

```

図 4.10.1 (b) J-1 変更後のプログラム

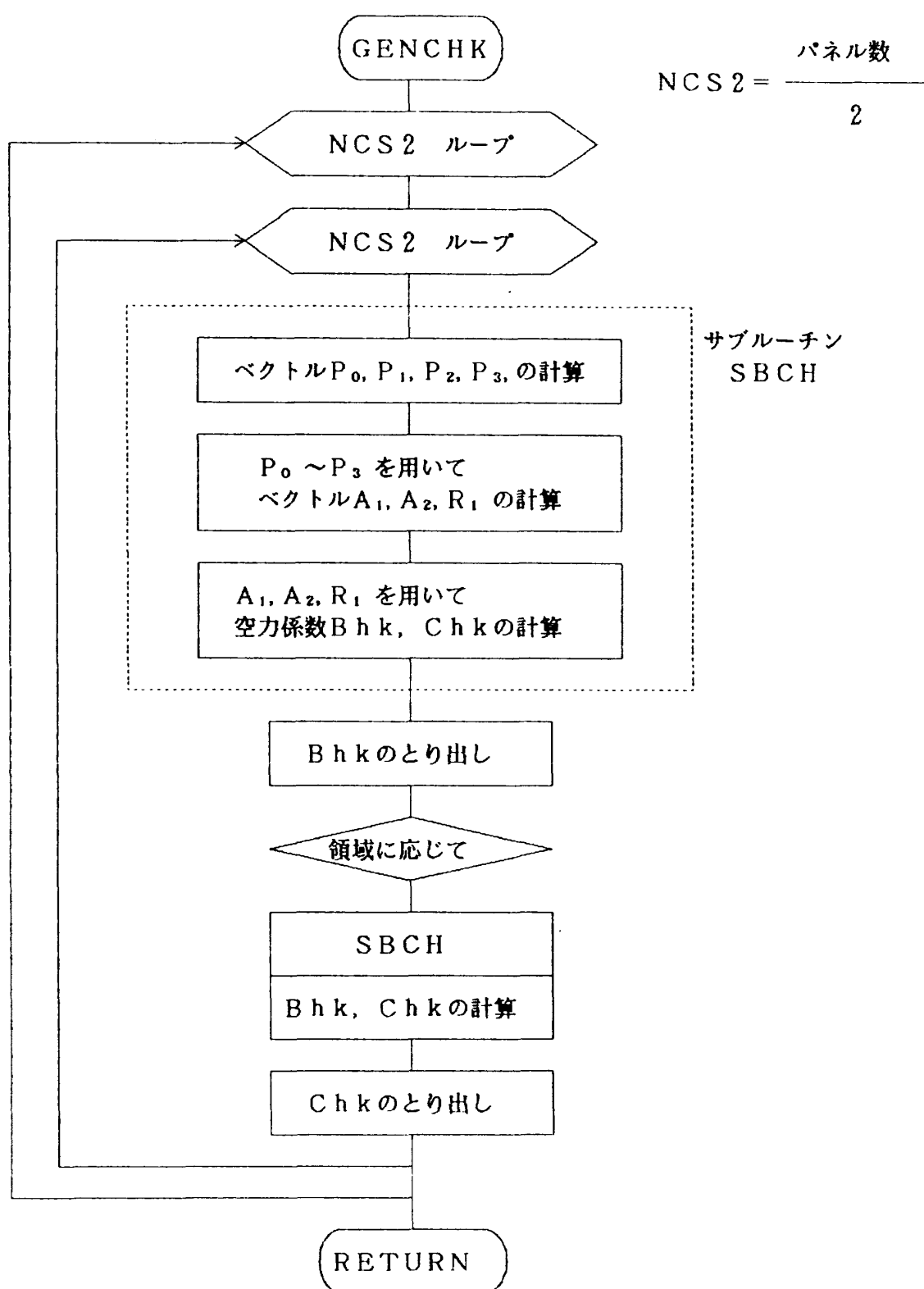


図 4.10.2 (a) J-3 改造前の処理フロー

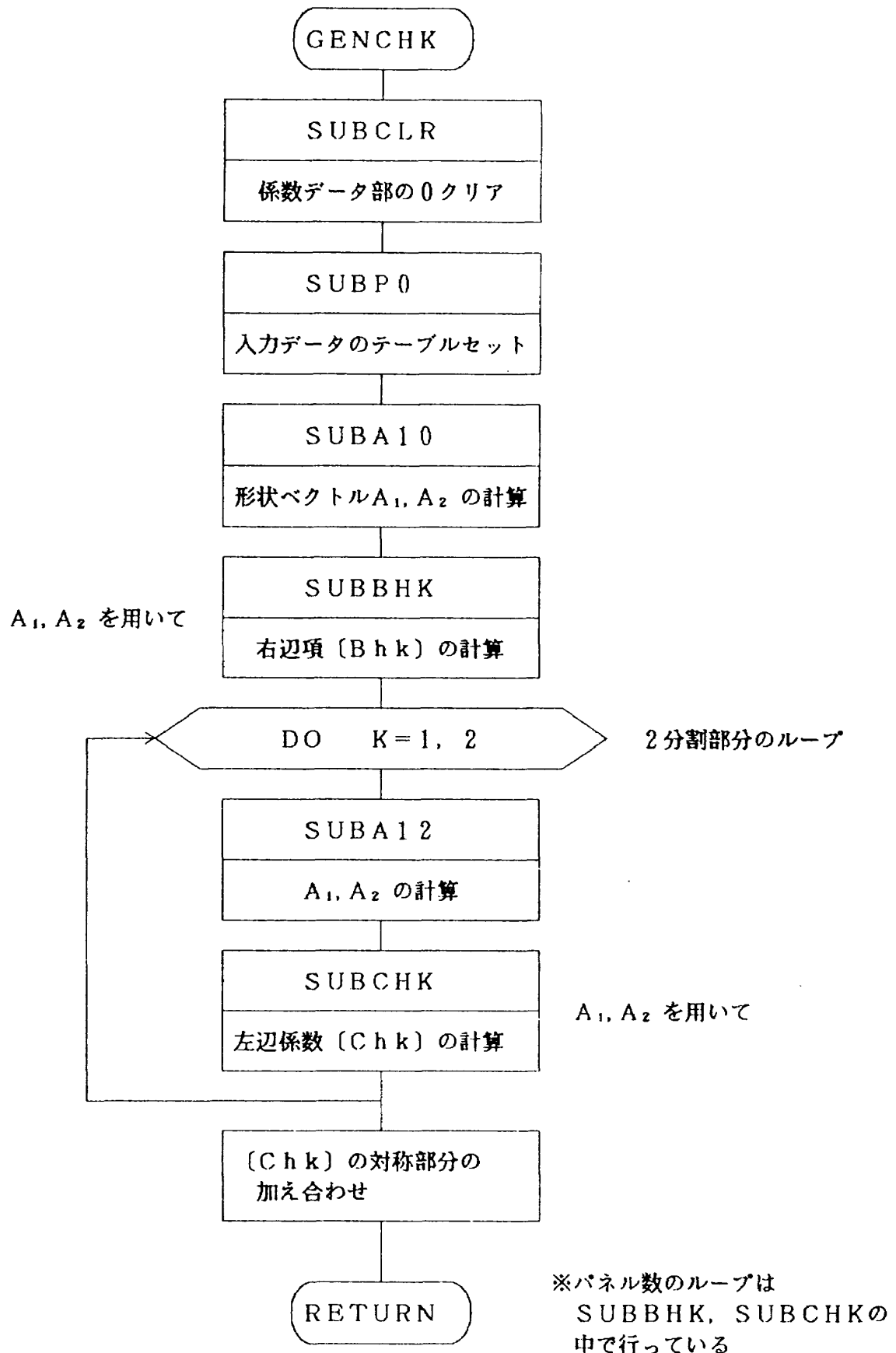


図 4.10.2 (b) J-3 改造後の処理フロー

```

DO 100 I=1,N
A(I)=B(I)*C(I)
:
:
R(1)=P(I,1)-Q(I,1)
R(2)=P(I,2)-Q(I,2)
R(3)=P(I,3)-Q(I,3)
:
RR(I,1)=R(1)**2
RR(I,2)=R(2)**2
RR(I,3)=R(3)**2
:
100 CONTINUE

```

図 4.10.3 (a) J-4 変更前のプログラム

```

DO 100 I=1,N
:
:
CALL DLAX(S,3,3,DD,EPSZ,1,IS,VW,IP,ICON)
:
100 CONTINUE

```

図 4.11.1 (a) K-1 変更前の DO ループ構成

```

DO 100 I=1,N
A(I)=B(I)*C(I)
:
R1=P(I,1)-Q(I,1)
R2=P(I,2)-Q(I,2)
R3=P(I,3)-Q(I,3)
RR(I,1)=R1**2
RR(I,2)=R2**2
RR(I,3)=R3**2
:
100 CONTINUE

```

図 4.10.3 (b) J-4 変更後のプログラム

```

DO 100 I=1,N
:
:
100 CONTINUE

```

クラーメルの公式を用いた  
方程式解法

図 4.11.1 (b) K-1 変更後の DO ループ構成

```

S   DO 90 L = 2,LM
S   DO 90 K = KLOW,KUP
V   DO 91 J = 2,JM
V   91 SUM(J) = (((S(J,K,L,1)**2) + S(J,K,L,2)**2) + S(J,K,L,3)**2)
M   *           + S(J,K,L,4)**2) + S(J,K,L,5)**2
M   DO 90 J = 2,JM
M   ASUM = ABS(SUM(J))
M   IF(RESMX.LT.ASUM) NMAXJ=J
M   IF(RESMX.LT.ASUM) NMAXK=K
M   IF(RESMX.LT.ASUM) NMAL=L
M   IF(RESMX.LT.ASUM) RESMX=ASUM
M   RESID = RESID + SUM(J)
V   90 CONTINUE
V   RESID = RESID/((JM-1)*(KUP-KLOW+1)*(LM-1))
V   RESID = SQRT(RESID)/(DT+.00005)
V   RESMX = SQRT(RESMX)/(DT+.00005)
V   WRITE(6,100) NC,RESID,RESMX,NMAXJ,NMAXK,NMAXL,ATANGD,UTIME
100 FORMAT(1H0,3HN= ,I5,3X,13HL2 RESIDUAL = ,E12.6,2X,'RES MAX=',
*          E12.6,1X,'AT',3(I4),2X,'ATANGD = ',E11.4,'(DEG)',,
*          2X,'TIME = ',E11.4)
6 CONTINUE

```

図 4.12.1 (a) L-1 変更前のプログラム

```

S   DO 90 L = 2,LM
S   DO 90 K = KLOW,KUP
V   DO 91 J = 2,JM
V   91 SUM(J) = (((S(J,K,L,1)**2) + S(J,K,L,2)**2) + S(J,K,L,3)**2)
V   *           + S(J,K,L,4)**2) + S(J,K,L,5)**2
V   DO 90 J = 2,JM
V   RESID = RESID + SUM(J)
V   ASUM = ABS(SUM(J))
V   IF( RESMX.LT.ASUM ) THEN
V   NMAXJ = J
V   NMAXK = K
V   NMAL = L
V   RESMX = ASUM
V   END IF
V   90 CONTINUE
V   RESID = RESID/((JM-1)*(KUP-KLOW+1)*(LM-1))
V   RESID = SQRT(RESID)/(DT+.00005)
V   RESMX = SQRT(RESMX)/(DT+.00005)
V   WRITE(6,100) NC,RESID,RESMX,NMAXJ,NMAXK,NMAXL,ATANGD,UTIME
100 FORMAT(1H0,3HN= ,I5,3X,13HL2 RESIDUAL = ,E12.6,2X,'RES MAX=',
*          E12.6,1X,'AT',3(I4),2X,'ATANGD = ',E11.4,'(DEG)',,
*          2X,'TIME = ',E11.4)
6 CONTINUE

```

図 4.12.1 (b) L-1 変更後のプログラム

```

C   XI'EIGENVALUES
C
S   DO 203 K = KLOW,KUP
V   DO 204 J = 1,UDIM
V     XDT = XT(J,K,L)
V     RR = 1./Q(J,K,L,1)
V     UU(J,K) = XDT + ( XX(J,K,L)*Q(J,K,L,2) +
V       * XY(J,K,L)*Q(J,K,L,3) + XZ(J,K,L)*Q(J,K,L,4) )*RR
V     * PP = GAMM*(Q(J,K,L,5) -
V       * .5*(Q(J,K,L,2)**2+Q(J,K,L,3)**2+Q(J,K,L,4)**2)*RR)
V     * CC(J,K) = SQRT( GAMMA*PP*RR *
V       * (XX(J,K,L)**2+XY(J,K,L)**2+XZ(J,K,L)**2) )
V 204   CONTINUE
S 203   CONTINUE
C

```

図 4.12.2 (a) L-2 変更前のプログラム

```

C   XI EIGENVALUES
C
V   DO 203 K = KLOW,KUP
V   DO 204 J = 1,JDIM
V     XDT = XT(J,K,L)
V     RR = 1./Q(J,K,L,1)
V     UU(J,K) = XDT + ( XX(J,K,L)*Q(J,K,L,2) +
V       * XY(J,K,L)*Q(J,K,L,3) + XZ(J,K,L)*Q(J,K,L,4) )*RR
V     * PP = GAMM*(Q(J,K,L,5) -
V       * .5*(Q(J,K,L,2)**2+Q(J,K,L,3)**2+Q(J,K,L,4)**2)*RR)
V     * CC(J,K) = SQRT( GAMMA*PP*RR *
V       * (XX(J,K,L)**2+XY(J,K,L)**2+XZ(J,K,L)**2) )
V 204   CONTINUE
V 203   CONTINUE

```

JDIM は配列宣言数である

図 4.12.2 (b) L-2 変更後のプログラム

```

C
  DD 210 J = 3, JM-1
  JP1 = J-1
  JM1 = J-1
  JP2 = J+2
  JM2 = J-2
  DD 212 K = KLOW,KUP

V C ARTIFICIAL DISSIPATION MODEL AT INTERIOR
C
  DJ = SPECT(J,K,L)
  DJP = SPECT(JP1,K,L)
  DJM = SPECT(JM1,K,L)
  EPJM = DJ + DJM
  EPJ = DJP + DJ
  COEF2M = EPS2*COEF(JM1,K,L)*EPJM
  COEF4M = EPS4*EPJH
  COEF4M = COEF4M - AMIN1(COEF4M,COEF2M)
  COEF2 = EPS2*COEF(J,K,L)*EPJ
  COEF4 = EPS4*EPJ

V ---- STATEMENT (STPF3D) -----3-----4-----5-----6-----7-- S-COST EXECUTIONS
C
  COEF4 = COEF4 - AMIN1(COEF4,COEF2)
  AR(J,K) = Q(JM2,K,L,6)*COEF4M
  BR(J,K) = -(COEF2M + 3.*COEF4M + COEF4)*Q(JM1,K,L,6)
  CR(J,K) = Q(J,K,L,6)*(COEF2M+3.*COEF4M+COEF2+3.*COEF4)
  DR(J,K) = -(COEF2 + 3.*COEF4 + COEF4M)*Q(JP1,K,L,6)
  ER(J,K) = Q(JP2,K,L,6)*COEF4

C ADD IN JACOBIAN DIFFERENCING 4TH ORDER INTERIOR
C
  AR(J,K) = AR(J,K) + COM2*(UU(JM2,K)+SN*CC(JM2,K))*HD4
  BR(J,K) = BR(J,K) + COM1*(UU(JM1,K)+SN*CC(JM1,K))*HD4
  DR(J,K) = DR(J,K) + COP1*(UU(JP1,K)+SN*CC(JP1,K))*HD4
  ER(J,K) = ER(J,K) + COP2*(UU(JP2,K)+SN*CC(JP2,K))*HD4

C
  212      CONTINUE
  210      CONTINUE

  297005   99005
  559548005 155430005
  2517966005 4196610005
  419661005 4196610005
  419661005 4196610005
  419661005 4196610005
  419661005 4196610005
  419661005 4196610005
  419661005 4196610005
  1258980E025 4196610005
  1258980E025 4196610005
  1258980E025 4196610005
  1678640E025 4196610005
  1258980E025 4196610005

```

オリジナル DO210ループのループ長  $\frac{15543}{99} = 157$

オリジナル DO212ループのループ長  $\frac{419661}{15543} = 27$

図 4.12.3 (a) L-3 変更前のプログラム

```

C
3      DO 212 K = KLOW , KUP
V      DO 210 J = 1 , JM-1
      JP1 = J+1
      JM1 = J-1
      JP2 = J+2
      JM2 = J-2

C      ARTIFICIAL DISSIPATION MODEL AT INTERIOR
C
V      DJ    = SPECT( J ,K,L)
V      DJP   = SPECT( JP1,K,L)
V      DJM   = SPECT( JM1,K,L)
V      EPJM = DJ + DJM
V      EPJ  = DJP + DJ
V      COEF2M = EPS2*COEF( JM1,K,L)*EPJM
V      COEF4M = EPS4*EPJM
V      COEF4H = COEF4M - AMIN1(COEF4M,COEF2M)
V
      198005   99005
      155034005 2673005
      2937627005 419661005
      419661005

```

```

C---- STATEMENT (STPF3D) -----3-----4-----5-----6-----7-- S-COST EXECUTIONS
V COEF2 = EPS2*COEF(J,K,L)*EPJ 1678640E025 41966100E
V COEF4 = EPS4*EPJ 1258980E025 41966100E
V COEF6 = COEF4 - AMIN1(COEF4,COEF2) 1258980E025 41966100E
V AR(J,K) = Q(JM2,K,L,6)*COEF4M 1678640E025 41966100E
V BR(J,K) = -(COEF2M + 3.*COEF4M + COEF4)*Q(JM1,K,L,6) 8393219E015 41966100E
V CR(J,K) = Q(J,K,L,6)*(COEF2M+3.*COEF4M+COEF4)+3.*COEF4 2517969E025 41966100E
V DR(J,K) = -(COEF2 + 3.*COEF4 + COEF4M)*Q(JP1,K,L,6) 2098299E025 41966100E
V ER(J,K) = Q(JP2,K,L,6)*COEF4 1678640E025 41966100E
C ADD IN JACOBIAN DIFFERENCING 4TH ORDER INTERIOR S E
C
V AR(J,K) = AR(J,K) + COM2*(UU(JM2,K)+SN*CC(JM2,K))*HD4 8393219E015 41966100E
V BR(J,K) = BR(J,K) + COM1*(UU(JM1,K)+SN*CC(JM1,K))*HD4 2098299E025 41966100E
V DR(J,K) = DR(J,K) + COP1*(UU(JP1,K)+SN*CC(JP1,K))*HD4 2517969E025 41966100E
V ER(J,K) = ER(J,K) + COP2*(UU(JP2,K)+SN*CC(JP2,K))*HD4 2517969E025 41966100E
C
V 210 CONTINUE S E
S 212 CONTINUE 2501929E025 41966100E
S 213 3445000E005 2673000E

```

Ver.2 DO 212ループのループ長  $\frac{2673}{99} = 27$

Ver.2 DO 210ループのループ長  $\frac{419661}{2673} = 157$

図 4.12.3 (b)  $L_1=3$  変更後のプログラム

```

C      PRESSURE CALCULATION
C
S      DO 31 L = 1,3
      DO 31 K = 1,KMAX

V      DO 31 J = JAM,JBP
V      31 FR(J,K,L) = GAM1*(Q(J,K,L,5)-.5*(Q(J,K,L,2)**2+Q(J,K,L,3)**2
V           * +Q(J,K,L,4)**2)/Q(J,K,L,1))*Q(J,K,L,6)

```

図 4.12.4 (a) L-4 変更前のプログラム

```

C      PRESSURE CALCULATION
C
S      CXXXXX DO 31 L = 1,3
      DO 31 K = 1,KDIM

V      DO 31 J = JAM,JBP
V      FR(J,K,1) = GAM1*(Q(J,K,1,5)-.5*(Q(J,K,1,2)**2+Q(J,K,1,3)**2
V           * +Q(J,K,1,4)**2)/Q(J,K,1,1))*Q(J,K,1,6)
V      FR(J,K,2) = GAM1*(Q(J,K,2,5)-.5*(Q(J,K,2,2)**2+Q(J,K,2,3)**2
V           * +Q(J,K,2,4)**2)/Q(J,K,2,1))*Q(J,K,2,6)
V      FR(J,K,3) = GAM1*(Q(J,K,3,5)-.5*(Q(J,K,3,2)**2+Q(J,K,3,3)**2
V           * +Q(J,K,3,4)**2)/Q(J,K,3,1))*Q(J,K,3,6)
      CXXXXX FR(J,K,L) = GAM1*(Q(J,K,L,5)-.5*(Q(J,K,L,2)**2+Q(J,K,L,3)**2
      CXXXXX*           * +Q(J,K,L,4)**2)/Q(J,K,L,1))*Q(J,K,L,6)
V      31 CONTINUE

```

最外のLのループをJのループの中に展開した

図 4.12.4 (b) L-4 変更後のプログラム

---

## 航空宇宙技術研究所報告 986号

昭和63年7月発行

発行所 航空宇宙技術研究所

東京都調布市深大寺東町7丁目44番地1

電話三鷹(0422)47-5911(大代表) **T182**

印刷所 株式会社 三興印刷

東京都新宿区西早稲田2-1-18

---

**Printed in Japan**